



ใบรับรองวิทยานิพนธ์

บัณฑิตวิทยาลัย สถาบันเทคโนโลยีพระจอมเกล้าฯ พระนครเหนือ

เรื่อง การลดitonสัญญาณรบกวนในคลื่นสัญญาณไฟฟ้าหัวใจที่เกิดจากการเคลื่อนไหวของร่างกาย

โดย นายไพรожน์ ถอยจิราภุล

ได้รับอนุมัติให้นับเป็นส่วนหนึ่งของการศึกษาตามหลักสูตร
วิทยาศาสตรมหาบัณฑิต สาขาวิชาอุปกรณ์การแพทย์

คณบดีบัณฑิตวิทยาลัย

(อาจารย์ ดร.มงคล วงศิริพัฒน์วงศ์)

21 พฤษภาคม 2550

คณะกรรมการสอบวิทยานิพนธ์

ประธานกรรมการ

(รองศาสตราจารย์สุรพันธ์ อิ้มมั่น)

กรรมการ

(รองศาสตราจารย์วิรัชัย ชาญวุฒิธรรม)

กรรมการ

(ผู้ช่วยศาสตราจารย์ นายแพทย์พีระพงษ์ กิตติภารวงศ์)

การลดTHONสัญญาณรบกวนในคลื่นสัญญาณไฟฟ้าหัวใจที่เกิดจากเครื่องล่อไฟฟ้าของร่างกาย

นายไฟโจรน์ คอบจิราภูด

วิทยานิพนธ์นี้เป็นส่วนหนึ่งของการศึกษาตามหลักสูตร

วิทยาศาสตรมหาบัณฑิต

สาขาวิชาอุปกรณ์การแพทย์ ภาควิชาพิสิกส์อุตสาหกรรมและอุปกรณ์การแพทย์

ชั้นติวิทยาลัย สถาบันเทคโนโลยีพระจอมเกล้าพระนครเหนือ

ปีการศึกษา 2549

ลิขสิทธิ์ของ สถาบันเทคโนโลยีพระจอมเกล้าพระนครเหนือ

ชื่อ : นายไพรองน์ ลอบจิราภูด
 ชื่อวิทยานิพนธ์ : การลดทอนสัญญาณรบกวนในคลื่นสัญญาณไฟฟ้าหัวใจที่เกิดจากการเคลื่อนไหวของร่างกาย
 สาขาวิชา : อุปกรณ์การแพทย์
 สถาบันเทคโนโลยีพระจอมเกล้าพระนครเหนือ
 ที่ปรึกษาวิทยานิพนธ์ : รองศาสตราจารย์สุรพันธ์ อัมมั่น
 ปีการศึกษา : 2549

บทคัดย่อ

วิทยานิพนธ์ฉบับนี้นำเสนอการลดทอนสัญญาณรบกวนที่เกิดจากการเคลื่อนไหวในสัญญาณคลื่นไฟฟ้าหัวใจ Lead I II และ III โดยใช้ตัวกรองเชิงเลข ในการออกแบบจะทำการกำหนดค่าเมทริกซ์ ให้มีคุณสมบัติที่เหมาะสมต่อการลดทอนสัญญาณรบกวนที่เกิดจากการเคลื่อนไหว การออกแบบ และจำลองการทำงานใช้โปรแกรม MATLAB ส่วนการสร้างจริงกระทำบนตัวประมวลผลสัญญาณเชิงเลข TMS320C31 ผลการทดลองพบว่าตัวกรองเชิงเลขที่ออกแบบและสร้างขึ้นสามารถลดทอนสัญญาณรบกวนที่เกิดจากการเคลื่อนไหวที่ปะปนมากับสัญญาณคลื่นไฟฟ้าหัวใจได้อย่างมีประสิทธิภาพ

(วิทยานิพนธ์นี้มีจำนวนทั้งสิ้น 109 หน้า)

คำสำคัญ : การลดทอนสัญญาณรบกวน , คลื่นสัญญาณไฟฟ้าหัวใจ

อาจารย์ที่ปรึกษาวิทยานิพนธ์

Name : Mr. Pairoj Loyjirakul
Thesis Title : Reduction of Artifact in the Electrocardiogram
Recording from Body Motion
Major Field : Medical Instrumentation
King Mongkut's Institute of Technology North Bangkok
Thesis Advisor : Associate Professor Surapan Yimman
Academic : 2006

Abstract

This thesis presents the design and construction of the reduction of artifact in the electrocardiogram recording from body motion on lead I II and III by using the digital filter methodology. The design of digital filter has determine pole-zero on the unit circle in z plane. The digital filter can determine the appropriate method to reduce artifact from body motion in electrocardiogram recording by simulate on MATLAB , and can constructed any type of digital filter on TMS320C31 Digital Signal Processing board . Results of this research the error signal from body motion were efficiently attenuated

(Total 109 pages)

Keywords : Reduction of Artifact , Electrocardiogram

S. Yimman

Advisor

กิตติกรรมประกาศ

วิทยานิพนธ์นี้สามารถ สันเรื่จลุล่วงไปได้ ด้วยการแนะนำ และความช่วยเหลืออย่างดีเยี่ยม จาก รองศาสตราจารย์สุรพันธ์ อิ่มมั่น อาจารย์ประจำภาควิชาฟิสิกส์อุตสาหกรรมและอุปกรณ์การแพทย์ สถาบันเทคโนโลยีพระจอมเกล้าพระนครเหนือ และ ผู้ช่วยศาสตราจารย์ นายเพทาย พิรพงษ์ กิตติ ภารวงศ์ อาจารย์ประจำคณะแพทยศาสตร์ มหาวิทยาลัยธรรมศาสตร์ ที่ได้กรุณามาให้แนวความคิด และให้การปรึกษา เพื่อแก้ไขปัญหาของการวิจัยและการจัดทำวิทยานิพนธ์นี้

ขอขอบคุณเจ้าหน้าที่ในศูนย์หัวใจธรรมศาสตร์ โรงพยาบาลชรรธรรมศาสตร์เฉลิมพระเกียรติทุกท่านที่ช่วยเหลือด้านข้อมูลที่เกี่ยวกับโรคหัวใจ

คุณประโภชน์ไดๆ ของวิทยานิพนธ์นี้ ขอขอบคุณแด่ครูอาจารย์ ทุกท่านที่ได้ประสิทธิภาพ ความรู้ให้กับข้าพเจ้า และขอขอบคุณให้กับมหาวิทยาลัยธรรมศาสตร์ ที่ได้ให้โอกาสทางการศึกษาทั้ง

ไฟโรมน์ ถอยจิราภูด

สารบัญ

	หน้า
บทคัดย่อ	๙
บทคัดย่อภาษาอังกฤษ	๑
กิตติกรรมประกาศ	๑
สารบัญตาราง	๗
สารบัญภาพ	๘
บทที่ ๑ บทนำ	๑
1.1 ความเป็นมาและความสำคัญของปัจจุบัน	๑
1.2 วัตถุประสงค์ของการวิจัย	๑
1.3 ขอบเขตของการวิจัย	๒
1.4 วิธีการวิจัย	๒
1.5 ประโยชน์ของการวิจัย	๒
บทที่ ๒ ทฤษฎีของคลื่นสัญญาณไฟฟ้าหัวใจ	๓
2.1 การเกิดคลื่นสัญญาณไฟฟ้าหัวใจ	๓
2.2 การวัดคลื่นสัญญาณไฟฟ้าหัวใจ	๑๑
2.3 สาขาวิชาระเกิดความผิดปกติของหัวใจ	๑๔
2.4 P Wave ที่ผิดปกติ	๑๔
2.5 ช่วงคลื่น P – R ที่ผิดปกติ	๑๖
2.6 ช่วงคลื่น P – R ที่สั้นกว่าปกติ	๑๖
2.7 Q Wave ที่ผิดปกติ	๑๗
2.8 ช่วงคลื่น QRS ที่ผิดปกติ	๑๘
2.๙ ช่วงคลื่น QRS ที่มียอดคลื่นสูงผิดปกติ	๑๘
2.๑๐ ช่วงคลื่น QRS ที่มียอดคลื่นต่ำผิดปกติ	๑๘
2.๑๑ ช่วงกว้างของคลื่น QRS ผิดปกติ	๑๘
2.๑๒ ช่วงคลื่น S-T ที่ผิดปกติ	๑๘
2.๑๓ ช่วงคลื่น S-T ที่ต่ำ	๑๙
2.๑๔ U Wave ที่ผิดปกติ	๑๙

สารบัญ (ต่อ)

	หน้า
2.15 สัญญาณรบกวนที่ปนมา กับคลื่นไฟฟ้าหัวใจ	19
2.16 ลักษณะการเกิดของ Motion Artifact	23
2.17 วงจรขยายสัญญาณ	23
2.18 ผลของการวัด	24
2.19 สัญญาณรบกวนจากอุปกรณ์ไฟฟ้า	24
2.20 การรบกวนจากแหล่งจ่ายไฟฟ้าอื่น ๆ	26
2.21 Common-Mode และ วงจรลดสัญญาณรบกวน	27
บทที่ 3 ส่วนประกอบของวงจรตรวจวัดคลื่นสัญญาณไฟฟ้าหัวใจ	29
3.1 ภาควงจรขยายแบบ Instrumentation Amplifier	29
3.2 ภาคการประมวลผลสัญญาณดิจิตอล	32
3.3 ทฤษฎีตัวกรองคิจิตอล	66
3.3.1 ตัวกรองคิจิตอลแบบไอ-ไออาร์	67
3.3.2 การกรองความถี่แบบ Butterworth	78
3.3.3 การกรองความถี่แบบ Eliiptic	81
3.3.4 การกรองความถี่ Band Pass Filter	82
บทที่ 4 ขั้นตอนดำเนินการ	83
4.1 ขั้นตอนการออกแบบวงจรขยายสัญญาณ	83
4.2 วงจรขยายสัญญาณคลื่นไฟฟ้าหัวใจ	87
4.3 ผังวงจรการวัดและลดTHONสัญญาณรบกวนในคลื่นไฟฟ้าหัวใจ	89
4.4 การออกแบบวงจรกรองความถี่ด้วยโปรแกรม MATLAB	90
บทที่ 5 การทดสอบและผลการทดสอบ	95
5.1 การกรองสัญญาณรบกวนในสัญญาณคลื่นไฟฟ้าหัวใจ	95
5.2 ผลการทดสอบการลดTHONสัญญาณรบกวนในสัญญาณคลื่นไฟฟ้าหัวใจ	96
5.2.1 การทดสอบสัญญาณมาตรฐานจากเครื่องเลือบแบบสัญญาณ	96
5.2.2 การทดสอบลักษณะการเกิดสัญญาณรบกวนในคลื่นไฟฟ้าหัวใจ	97
5.2.3 การทดสอบการลดTHONสัญญาณรบกวนแบบ Butterworth ที่ความถี่ Cut Off ที่ 0.35 Hz	98

สารบัญ (ต่อ)

หน้า

5.2.4 การทดสอบการลดทอนสัญญาณรูปแบบ Butterworth ที่ความถี่ Cut Off ที่ 0.4 Hz	99
5.2.5 การทดสอบการลดทอนสัญญาณรูปแบบ Elliptic ที่ความถี่ Cut Off ที่ 0.4 Hz	100
5.2.6 การทดสอบการลดทอนสัญญาณรูปแบบ Elliptic ที่ความถี่ Cut Off ที่ 0.6 Hz	101
5.2.7 การทดสอบการลดทอนสัญญาณรูปแบบ Elliptic ที่ความถี่ Cut Off ที่ 0.8 Hz	102
5.2.8 การทดสอบการลดทอนสัญญาณรูปแบบ Elliptic ที่ความถี่ Cut Off ที่ 1 Hz	103
บทที่ 6 บทสรุปและข้อเสนอแนะ	105
เอกสารอ้างอิง	107
ประวัติผู้เขียน	109

สารบัญตาราง

ตารางที่	หน้า
3-1 ตาราง Z-Transform ของสัญญาณแบบไม่ต่อเนื่อง	56

สารบัญภาพ

ภาพที่		หน้า
2-1	แสดงโครงสร้างของหัวใจ	3
2-2	แสดงวงจรการไฟฟ้าของเลือด	4
2-3	แสดงสภาวะการเกิดสัญญาณกระแสในกล้ามเนื้อหัวใจ	6
2-4	แสดงภาวะโพลาร์ไซซ์ชั่นของเซลล์	7
2-5	แสดงการต่อไฟฟ้าในบางส่วนของเซลล์	7
2-6	แสดงการรีไฟฟ้าในบางส่วนของเซลล์	7
2-7	แสดงรูปคลื่นไฟฟ้าหัวใจที่ปกติ	9
2-8	แสดงคำแนะนำการติดอีเลคโทรดบนร่างกายสำหรับการวัดแบบ Bipolar lead	12
2-9	แสดงคำแนะนำการติดอีเลคโทรดแบบ Unipolar Limb Lead	13
2-10	แสดงคำแนะนำการติดอีเลคโทรดแบบ Chest Lead	14
2-11	แสดงวงจรสม็อโนนของจุดต่อระหว่างผิวนังและอีเลคโทรด	20
2-12	แสดงวงจรสม็อโนนของอีเลคโทรดพิจารณากลุ่มจุดฐาน RC	20
2-13	แสดงภาพอินพิดคนขึ้นอีเลคโทรดก้ามกรามการเคลือบด้วย AgCl	21
2-14	แสดงถักยันะของผิวนังแต่ละชั้น	22
2-15	แสดงรายละเอียดของวงจรสม็อโนนไฟฟ้าระหว่างอีเลคโทรดกับสัญญาณ ECG	22
2-16	แสดงผลของสนามไฟฟ้าจากสายไฟที่ทำให้เกิดสัญญาณร่องกวน	25
2-17	แสดงผลการรับทราบจากสนามแม่เหล็กและการป้องกัน	27
2-18	แสดงลักษณะการต่อวงจรขั้นขาขวา	28
3-1	การวัดแรงดันทาง output ในขณะต่อ input ร่วมกัน	30
3-2	แสดงการทำงานของวงจร Differential	31
3-3	แสดงวงจร Instrumentation Amplifier	31
3-4	ໂຄອະແກຣມของระบบประมวลสัญญาณแบบอนาลอก	33
3-5	ความสัมพันธ์ระหว่าง Input และ Output ของระบบอนาลอก	33
3-6	ໂຄອະແກຣມของระบบประมวลผลสัญญาณแบบดิจิตอล	34
3-7	ໂຄອະແກຣມของระบบประมวลผลดิจิตอล	35
3-8	ໂຄອະແກຣມของระบบประมวลผลสัญญาณดิจิตอลที่สมบูรณ์	35
3-9	สัญญาณต่อเนื่องและสัญญาณไม่ต่อเนื่อง	36

สารบัญภาพ (ต่อ)

ภาพที่		หน้า
3-10	Unit Sample Sequence	37
3-11	Unit Step Sequence	37
3-12	Exponential Sequence	38
3-13	Sinusoidal Sequence	39
3-14	Periodic Signal Sequence	41
3-15	Symmetric (even) Sequence	41
3-16	Antisymmetric (odd) Sequence	42
3-17	ไดอะแกร์มของระบบแบบไม่ต่อเนื่อง	43
3-18	ไดอะแกร์มของระบบแบบไม่ต่อเนื่อง	44
3-19	ไดอะแกร์มตัวคูณคงที่ในระบบแบบไม่ต่อเนื่อง	44
3-20	ไดอะแกร์มตัวคูณสัญญาณในระบบแบบไม่ต่อเนื่อง	44
3-21	ไดอะแกร์มตัวหน่วยในระบบไม่ต่อเนื่อง	44
3-22	ไดอะแกร์มตัวค่าน้ำในระบบไม่ต่อเนื่อง	45
3-23	ตัวอย่างระบบไม่ต่อเนื่องที่เปลี่ยนเวลาและไม่เปรียบเท่ากัน	46
3-24	แสดงระบบ T เป็นแบบระบบเชิงเส้น	47
3-25	การเชื่อมต่อระบบไม่ต่อเนื่องแบบอนุกรม	47
3-26	การเชื่อมต่อระบบไม่ต่อเนื่องแบบขนาน	48
3-27	การแทนสัญญาณแบบไม่ต่อเนื่องในรูป Impulse	50
3-28	คุณสมบัติการลับที่	51
3-29	คุณสมบัติการลับที่	51
3-30	คุณสมบัติการกระจาย	52
3-31	โครงสร้างของระบบเชิงเส้นเปรียบเท่า	53
3-32	โครงสร้างแบบตรัง I ของระบบไม่ต่อเนื่องแบบ Recursive	54
3-33	โครงสร้างแบบตรัง II ของระบบไม่ต่อเนื่องแบบ Recursive	55
3-34 (a)	ความสัมพันธ์ระหว่างตัวแทนของโพลิกับลำดับสัญญาณ	59
3-34 (b)	ความสัมพันธ์ระหว่างตัวแทนของโพลิกับลำดับสัญญาณ	60
3-34 (c)	ความสัมพันธ์ระหว่างตัวแทนของโพลิกับลำดับสัญญาณ	60

สารบัญภาพ (ต่อ)

ภาคที่		หน้า
3-35	ไคลอเรนการทำงานของตัวกรองดิจิตอลแบบพื้นฐาน	66
3-36	องค์ประกอบพื้นฐานทั้ง 3 ตัวที่เป็นส่วนประกอบของตัวกรองดิจิตอล	67
3-37	โครงสร้างของตัวกรองไอ-ไออาร์แบบตรง I	68
3-38	โครงสร้างของตัวกรองไอ-ไออาร์แบบตรง II	69
3-39	โครงสร้างของตัวกรองไอ-ไออาร์ที่มีโครงสร้างแบบขนาน	69
3-38	องค์ประกอบพื้นฐานทั้ง 3 ตัวที่เป็นส่วนประกอบของตัวกรอง	68
3-39	โครงสร้างของตัวกรองไอ-ไออาร์แบบตรง I	69
3-40	โครงสร้างย่อของตัวกรองดิจิตอลแบบขนาน	70
3-41	ความสัมพันธ์ระหว่างสัญญาณที่เป็นช่วงกับสัญญาณต่อเนื่อง	71
3-42	ระบบอนalogที่มี Function ถ่ายโอนเป็น $H(s)$	72
3-43	ระบบไม่ต่อเนื่องที่มี Function ถ่ายโอนเป็น $H(z)$	72
3-44	วงจรกรองความถี่ต่ำผ่าน (RC Low Pass Filter)	73
3-45	โครงสร้างตัวกรองดิจิตอลแบบความถี่ต่ำผ่านล้ำด้าน I	74
3-46	ความสัมพันธ์ระหว่างค่าที่อยู่บนระบบเสถียรค่าที่อยู่บนระบบแซด	76
4-1	แสดงลักษณะของวงจร Instrumentation Amplifier	84
4-2	แสดงการจัดวงจร IC เบอร์ AD 620	85
4-3	แสดงการต่อใช้งาน IC เบอร์ AD 620	85
4-4	แสดงลักษณะการจัดขาของ IC เบอร์ OP-07	86
4-5	แสดงผังการต่อใช้งาน IC เบอร์ OP-07	87
4-6	แสดงส่วนประกอบของวงจรตรวจวัดค่าสัญญาณไฟฟ้าหัวใจ	88
4-7	แสดง Block Diagram ของวงจรตรวจวัดสัญญาณค่าสูบไฟฟ้าหัวใจ	89
4-8	แสดงผลการทดสอบการกรองความถี่ต่ำผ่านจากโปรแกรม MATLAB	91
4-9	แสดงผลการทดสอบการกรองความถี่สูงผ่านจากโปรแกรม MATLAB	92
4-10	แสดงผลการทดสอบการกรองความถี่แบบ Notch จากโปรแกรม MATLAB	93

สารบัญภาพ (ต่อ)

ภาคที่		หน้า
5-1	แสดงลักษณะคลื่นสัญญาณไฟฟ้าหัวใจที่วัดจาก E.C.G Simulator	96
5-2	แสดงลักษณะสัญญาณรบกวนในขณะตรวจวัดสัญญาณไฟฟ้าหัวใจ	97
5-3	แสดงลักษณะการใช้วงจรกรองความถี่แบบ Butterworth , fc = 0.35 Hz	98
5-4	แสดงลักษณะการใช้วงจรกรองความถี่แบบ Butterworth , fc = 0.4 Hz	99
5-5	แสดงลักษณะการใช้วงจรกรองความถี่แบบ Elliptic , fc = 0.4 Hz	100
5-6	แสดงลักษณะการใช้วงจรกรองความถี่แบบ Elliptic , fc = 0.6 Hz	101
5-7	แสดงลักษณะการใช้วงจรกรองความถี่แบบ Elliptic , fc = 0.8 Hz	102
5-8	แสดงลักษณะการใช้วงจรกรองความถี่แบบ Elliptic , fc = 1.0 Hz	103

บทที่ 1

บทนำ

1.1 ความเป็นมาและความสำคัญของปัญหา

วัตถุประสงค์ของการตรวจสัญญาณคลื่นไฟฟ้าหัวใจคือ การตรวจวัดสภาพและการทำงานของหัวใจ โดยใช้เครื่องมือที่เรียกว่า เครื่อง ECG (Electrocardiograph) โดยการตรวจวัดสัญญาณไฟฟ้าตามตำแหน่งมาตรฐานต่าง ๆ บนร่างกายมนุษย์ ซึ่งในการตรวจวัดสัญญาณคลื่นไฟฟ้าหัวใจ มักประสบปัญหาเกิดการรบกวนจากสัญญาณภายนอก ที่ประปานماกับคลื่นไฟฟ้าหัวใจ เนื่องจากสัญญาณไฟฟ้าหัวใจมีขนาดเล็กประมาณ 1 mV จึงมีโอกาสถูกสัญญาณต่าง ๆ จากภายนอกรบกวนได้ง่าย เช่น สัญญาณรบกวนที่เกิดจากกล้ามเนื้อและการเคลื่อนไหวของร่างกายขณะตรวจวัด โดยผลของสัญญาณรบกวนเหล่านี้ จะทำให้ได้รูปคลื่นสัญญาณไฟฟ้าหัวใจที่ได้จากการตรวจวัดไม่ถูกต้องและอาจทำให้ผลการตรวจวินิจฉัยสภากเพชรหัวใจ ขาดแพทย์ผู้ดูแล เกิดความผิดพลาดขึ้น ทั้งอเจาะส่งผลให้เกิดอันตรายหรือเกิดการสูญเสียค่าใช้จ่ายโดยเปล่าประโยชน์ของผู้รับการตรวจสภากเพชรหัวใจได้ วิทยานิพนธ์นี้จึงเป็นการวิจัยเพื่อแก้ไขปัญหาลดความผิดพลาดในการตรวจวินิจฉัยสัญญาณไฟฟ้าหัวใจ ที่มีสาเหตุมาจากการเคลื่อนไหวของผู้รับการตรวจ

1.2 วัตถุประสงค์ของการวิจัย

- 1.2.1 เพื่อศึกษาการเกิดสัญญาณคลื่นไฟฟ้าหัวใจ
- 1.2.2 เพื่อศึกษาสภาวะการเกิดความผิดปกติของหัวใจ
- 1.2.3 เพื่อศึกษาการเกิดสัญญาณรบกวนที่ประปานมากับสัญญาณคลื่นไฟฟ้าหัวใจ
- 1.2.4 เพื่อศึกษาสัญญาณที่เกิดจากการเคลื่อนไหวของกล้ามเนื้อ
- 1.2.5 เพื่อสร้างวงจรกรองสัญญาณรบกวนที่เกิดจากการเคลื่อนไหวของกล้ามเนื้อที่ประปานมากับสัญญาณคลื่นไฟฟ้าหัวใจ

1.3 ขอบเขตของการวิจัย

- 1.3.1 ออกแบบและสร้างวงจรตรวจวัดคลื่นสัญญาณไฟฟ้าหัวใจจาก Standard Limb Lead
- 1.3.2 ออกแบบและสร้างวงจรกรองสัญญาณรบกวนที่เกิดจากการเคลื่อนไหว ของกล้ามเนื้อที่ปะปันมากับ สัญญาณคลื่นไฟฟ้าหัวใจ โดยใช้ตัวประมวลผลสัญญาณเชิงเลข
- 1.3.3 หาความผิดพลาดของสัญญาณหลังจากการลดตอนสัญญาณรบกวน เปรียบเทียบผลการลดตอนสัญญาณรบกวนกับวิธีอื่นๆ

1.4 วิธีการวิจัย

- 1.4.1 ศึกษาการตรวจวัดสัญญาณคลื่นไฟฟ้าหัวใจแบบ Standard Limb Lead
- 1.4.2 ศึกษาสภาวะและรูปแบบการเกิดความผิดปกติของหัวใจ
- 1.4.3 ศึกษาวงจรกรองสัญญาณรบกวนที่เกิดจากการเคลื่อนไหวของกล้ามเนื้อ
- 1.4.4 ศึกษารูปแบบของจังจรประมวลผลสัญญาณเชิงเลข
- 1.4.5 สร้างวงจรลดตอนสัญญาณรบกวนด้วยตัวประมวลผลสัญญาณเชิงเลข
- 1.4.6 หาค่าความผิดพลาดของการวิเคราะห์สัญญาณไฟฟ้าหัวใจ

1.5 ประโยชน์ของการวิจัย

- 1.5.1 สามารถลดสัญญาณรบกวนจากการเคลื่อนไหว ในการตรวจวัดคลื่นสัญญาณไฟฟ้าหัวใจ
- 1.5.2 สามารถใช้ตรวจวัดคลื่นสัญญาณไฟฟ้าหัวใจใน Lead 1,2,3
- 1.5.3 ช่วยให้แพทย์สามารถวิเคราะห์สภาพหรือความผิดปกติของหัวใจ ได้ถูกต้องแม่นยำขึ้น
- 1.5.4 เป็นต้นแบบสำหรับการพัฒนา วิเคราะห์ความผิดปกติของสัญญาณไฟฟ้าหัวใจใน Lead อื่นๆ

บทที่ 2

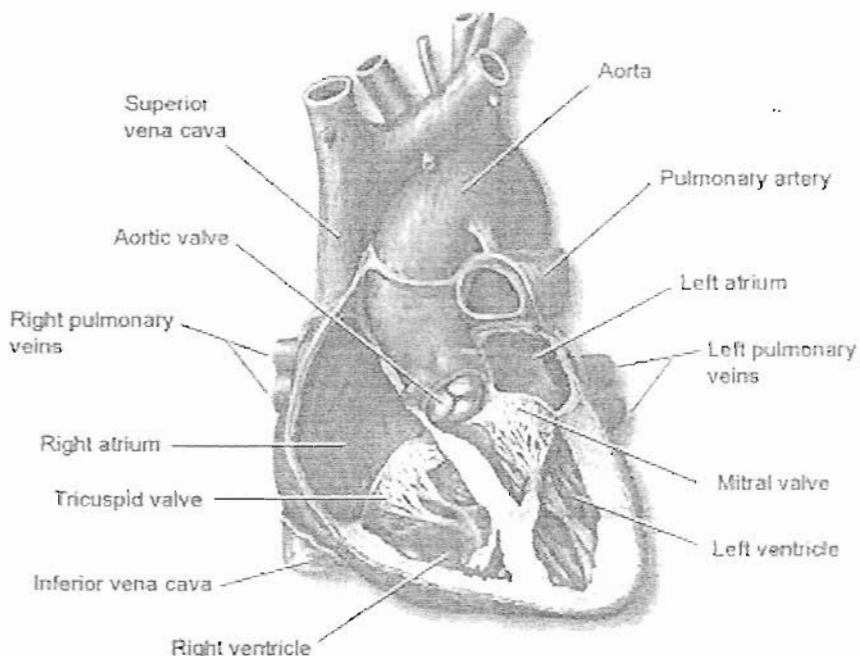
ทฤษฎีของคลื่นสัญญาณไฟฟ้าหัวใจ

2.1 การเกิดคลื่นสัญญาณไฟฟ้าหัวใจ

2.1.1 หน้าที่และส่วนประกอบของหัวใจ

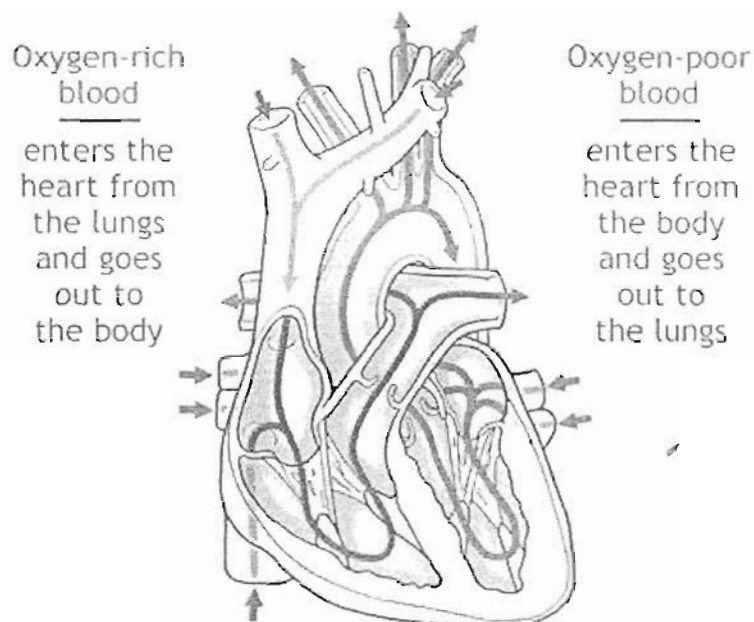
หัวใจเป็นอวัยวะที่ทำหน้าที่สูบฉีดเลือดเพื่อไปเลี้ยงเซลล์ต่างๆ ของร่างกายมนุษย์ โดยอาศัยการบีบตัวที่อัดดันเลือดออกจากหัวใจและคลายตัวเพื่อให้นำส่วนของเลือดในร่างกาย ไหลกลับเข้าสู่หัวใจ ซึ่งหัวใจของมนุษย์จะทำงานบีบและคลายตัวสลับกันเช่นนี้ไปเรื่อยๆ ทราบเท่าที่มนุษย์นั้นยังมีชีวิตอยู่

หัวใจประกอบด้วยเซลล์ลักษณะเดียวกันที่มีความสามารถในการห้องตัว 4 ห้อง โดยห้องด้านบน 2 ห้องเรียกว่า Auricles หรือ Atria แต่ละห้องมีเรียกว่า Atrium ส่วนหัวใจห้องล่างเรียกว่า Ventricles จะห่วง Atria และ Ventricles นั้นมีเนื้อเยื่ออ่อน Fibrous ซึ่งเป็นที่ตั้งของคลื่นหัวใจทั้ง 4 ลิ้น โดยมี Bundle of His ซึ่งเป็นเนื้อเยื่อน้ำไฟฟ้าในหัวใจวิ่งผ่าน



ภาพที่ 2-1 แสดงโครงสร้างของหัวใจ

วงจรการไหลเวียนของเลือดจะเริ่มจากหัวใจห้องขวาบนรับเลือดคำจากส่วนต่างๆ ของร่างกาย เช่น แขน ขา เลือดส่วนนี้จะไหลผ่านลิ้นหัวใจไปยังห้องใจห้องขวาล่าง โดยผ่านลิ้นหัวใจที่ชื่อว่า Tricuspid Valve จากนั้นหัวใจห้องล่างจะบีบตัวดันเลือดคำออกไปฟอกเลือดที่ปอดโดยผ่านหลอดเลือดที่เรียกว่า Pulmonary Artery จากนั้นเลือดจะถูกฟอกที่ปอด โดยอาศัยการแลกเปลี่ยนแก๊ส ผ่านทางหลอดเลือดเล็กที่ผนังถุงลมของปอด เลือดที่ผ่านการฟอกจากปอดแล้ว (เลือดแดง) จะไหลมาร่วมกันที่หลอดเดียวที่เรียกว่า Pulmonary Vein เพื่อไหลกลับเข้าสู่หัวใจอีกครั้งที่หัวใจห้องบนซ้าย จากนั้นเลือดจะไหลจากหัวใจห้องบนซ้ายลงมาห้องล่างซ้าย โดยผ่านลิ้นหัวใจที่เรียกว่า Mitral Valve เมื่อเลือดอยู่ในหัวใจห้องล่างซ้ายแล้ว ก็พร้อมจะที่จะถูกส่งเพื่้ออกไปเลี้ยงเซลล์ ต่างๆ ของร่างกาย ทางหลอดเลือดแดงใหญ่ที่เรียกว่า Aortic Valve เมื่อผ่านอวัยวะส่วนต่างๆ ของร่างกายแล้วก็จะไหลกลับมาสู่หัวใจห้องบนขวาอีกครั้ง ครบ 1 รอบการทำงานของหัวใจ



ภาพที่ 2-2 แสดงวงจรการไหลของเลือด

2.1.2 การบีบและคลายตัวของหัวใจ

การที่หัวใจเกิดการบีบและคลายตัวได้นั้นเกิดจากกลไกการทำงานของหัวใจที่ประกอบด้วย ส่วนต่าง ๆ ดังนี้

2.1.2.1 Sino Atrial Node (SA Node) เป็นจุดเริ่มต้นของการเกิดคลื่นไฟฟ้าหัวใจ และเป็นตัวกำหนดจังหวะการเต้นของหัวใจ ซึ่งเนื้อเยื่ออื่น ๆ ของหัวใจจะเป็นตัวรับหรือถูกกระตุ้นโดยคลื่นไฟฟ้าที่เริ่มจาก SA Node นี้

2.1.2.2 Internodal Atrial Pathway ช่องสันทางนี้นักกายวิภาคศาสตร์หลายท่าน เชื่อว่ามีการเหนี่ยวแน่นไฟฟ้าจาก SA Node มาถึง A-V Node ทางสันทรมนี้

2.1.2.3 Artio Ventricular Node (A-V Node) อยู่ที่ผนังกั้นระหว่างหัวใจห้องบนทั้ง 2 ข้าง บริเวณเหนือ Tricuspid Valve และต่ำกว่ารูปปีกของ Coronary Sinus

2.1.2.4 Bundle of His เป็นส่วนที่ต่อมาจาก A-V Node โดยตรงมีความยาวประมาณ 2 cm. อยู่ทางด้านขวาของผนังกั้นระหว่างหัวใจห้องบนทั้ง 2 ข้าง และอยู่บนผนังระหว่างหัวใจห้องล่างทั้ง 2 ข้างซึ่งเดียวกัน

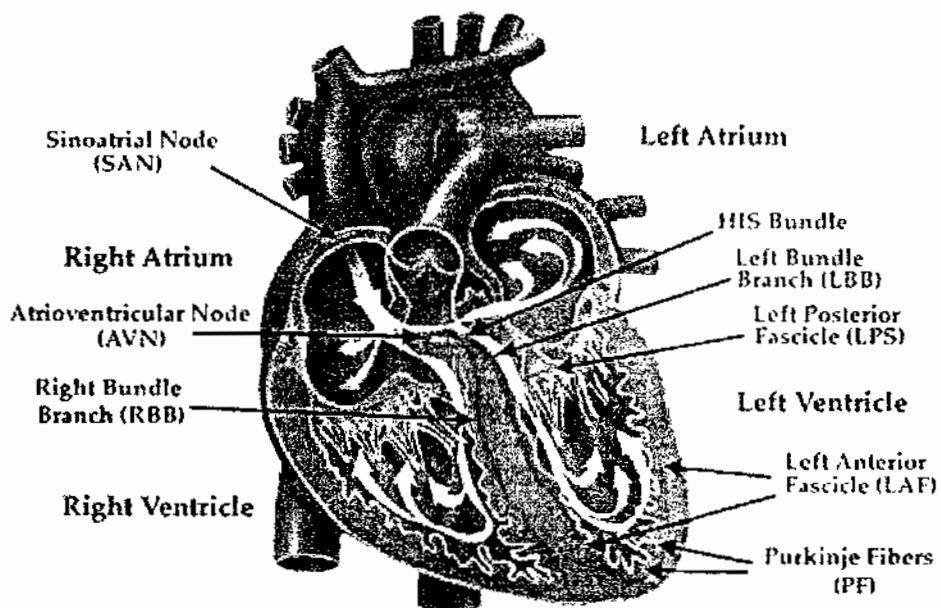
2.1.2.5 Bundle Branch เป็นส่วนต่อจาก Bundle of His แล้วแยกออกไปทางขวาและซ้าย โดย Bundle Branch ทางขวาจะลงมาทางด้านขวาของผนังกั้นหัวใจห้องล่าง และ Bundle Branch ด้านซ้ายจะอยู่ทางด้านซ้ายของผนังกั้นนี้ แล้วชั้งแยกแตกออกเป็น 2 แขนงคือแขนงทางด้านหน้าและแขนงทางด้านหลัง กระจายไปตามส่วนหน้าและหลัง ของหัวใจห้องล่างซ้าย

2.1.2.6 Purkije System เป็นส่วนปลายสุดของระบบการนำสัญญาณไฟฟ้าซึ่งอยู่บริเวณได้เยื่อบุหัวใจลงไป และแผ่กระจายไปทั่วหัวใจห้องล่างทั้งขวาและซ้าย

2.1.3 กลไกการเริ่มต้นและการแพร่กระจายของคลื่นไฟฟ้าหัวใจ

โดยทั่วไปจะเริ่มต้นจาก Sino Atrial Node ที่อยู่บริเวณกล้ามเนื้อหัวใจห้องบนขวา กระตุ้นเซลล์กล้ามเนื้อหัวใจบริเวณนั้น ทำให้เกิดสัญญาณไฟฟ้าแผ่กระจายไปตามกล้ามเนื้อหัวใจห้องบนทั้งขวาและซ้าย ในรอบพิเศษ โดยมีพิเศษทางรวมของแม่กระจาดสัญญาณไฟฟ้าไปในพิเศษทางเฉียงลงล่างทางด้านซ้ายของหัวใจ การแผ่กระจายของสัญญาณไฟฟ้านี้จะทำให้เกิดสัญญาณไฟฟ้าหัวใจในช่วง P Wave จากนั้นสัญญาณไฟฟ้าจะผ่านบริเวณ Atrio Venticle Node (A-V Node) ซึ่งบริเวณนี้ การแผ่กระจายสัญญาณไฟฟ้าจะช้าลง เนื่องจากการชะลอเวลาให้หัวใจห้องล่างรับเลือดเข้ามาก่อนหัวใจห้องบน จากนั้นจะผ่านเข้าไปในช่วงส่วนของ Bundle of His และจะแยกไปตามแขนงด้านขวาและซ้ายของ Bundle of His สัญญาณไฟฟ้าที่ผ่านไปตาม

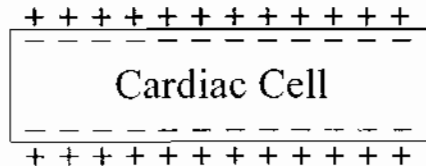
Bundle Branch จะกระกระจายออกໄไปตามหัวใจห้องล่างทั้งด้านขวาและด้านซ้าย ผ่านทาง Purkinje Fibre ซึ่งมีลักษณะคล้ายใบร่างແแทกระยะໄไปทั่วเซลล์ของกล้ามเนื้อหัวใจห้องล่าง โดยส่วนแรกสุดของหัวใจห้องล่างที่ได้รับการกระตุ้นจากสัญญาณไฟฟ้าก็อ ส่วนบนทางด้านซ้าย ของผนังกั้นระหว่างหัวใจห้องล่างด้านขวาและซ้าย ซึ่งทิศทางรวมของสัญญาณไฟฟ้านี้จะมีทิศทางเดียงลงทางด้านล่างซ้าย ในตำแหน่งของหัวใจห้องล่างซ้าย คล้ายกับที่เกิดขึ้นในหัวใจห้องบน เนื่องจากหัวใจห้องล่างซ้าย มีมวลมากกว่าหัวใจห้องล่างขวา จึงทำให้การกระตุ้นให้เกิดการนำสัญญาณไฟฟ้า ได้ดีกว่าหัวใจห้องล่างขวา ผลการกระตุ้นให้เกิดการนำสัญญาณไฟฟ้านี้ จึงทำให้เกิดสัญญาณไฟฟ้าหัวใจในช่วงของ QRS Complex



ภาพที่ 2-3 แสดงสภาวะการเกิดสัญญาณกระตุ้นในกล้ามเนื้อหัวใจ

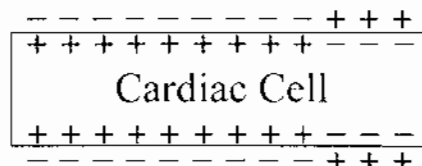
2.1.4 การเกิด Depolarization และ Repolarization

ในเซลล์กล้ามเนื้อหัวใจของมนุษย์จะมีลักษณะคล้ายกันแท่แต่แม่เหล็ก ที่ปลายแต่ละข้างจะมีข้อ หรือประจุอยู่ ในสภาวะปกติของเซลล์ กล้ามเนื้อหัวใจนี้ ภายนอกเซลล์จะมีประจุบวก ส่วนภายในของเซลล์จะมีประจุลบ สภาวะของเซลล์ในขณะนี้คือสภาวะที่เรียกว่า Polarization โดยมี Resting Membrane Potential ประมาณ -80 mV ถึง -100 mV



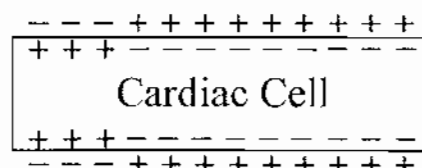
ภาพที่ 2-4 แสดงภาวะไฟฟ้าในชั้นของเซลล์

เมื่อเซลล์กล้ามเนื้อหัวใจถูกกระตุ้นจาก Sino Atrial Node แล้วเซลล์ของกล้ามเนื้อหัวใจจะเกิดการเปลี่ยนแปลงสักปั๊วไฟฟ้าภายในเซลล์อย่างรวดเร็วและกระจายไปทั่วทั้งผนังเซลล์และแผ่กระจายไปยังเซลล์อื่น ๆ ในขณะนี้จะทำให้สักปั๊วไฟฟ้าของภายในเซลล์เปลี่ยนขึ้นเป็นตรงกันข้ามคือภายนอกเซลล์จะมีประจุลบ ส่วนภายในเซลล์จะมีประจุบวก โดยอาจมีสักปั๊วไฟฟ้าได้ตั้งแต่ + 20 mV ถึง + 40 mV กระบวนการเหล่านี้คือช่วงที่เกิด Depolarization ซึ่งอาจใช้เวลาประมาณ 2 วินาที เมื่อประจุไฟฟ้าว่างผ่านไปทั่วเซลล์แล้ว ภายในเซลล์จะปรับตัวเพื่อกลับมาสู่ภาวะสมดุล อีกครั้ง คือช่วงที่เกิด Repolarization ซึ่งเป็นระยะที่นิ่นตัวของเซลล์โดยจะใช้เวลาประมาณ 200 วินาทีหรือมากกว่านี้



ภาพที่ 2-5 แสดงภาวะดีไฟฟ้าในชั้นในบางส่วนของเซลล์

เมื่อประจุไฟฟ้าว่างผ่านไปทั่วเซลล์แล้ว ภายในเซลล์จะปรับตัวเพื่อกลับมาสู่ภาวะสมดุลอีกครั้ง คือช่วงที่เกิด Repolarization ซึ่งเป็นระยะที่นิ่นตัวของเซลล์โดยจะใช้เวลาประมาณ 200 วินาที หรือมากกว่านี้



ภาพที่ 2-6 แสดงภาวะรีไฟฟ้าในชั้นในบางส่วนของเซลล์

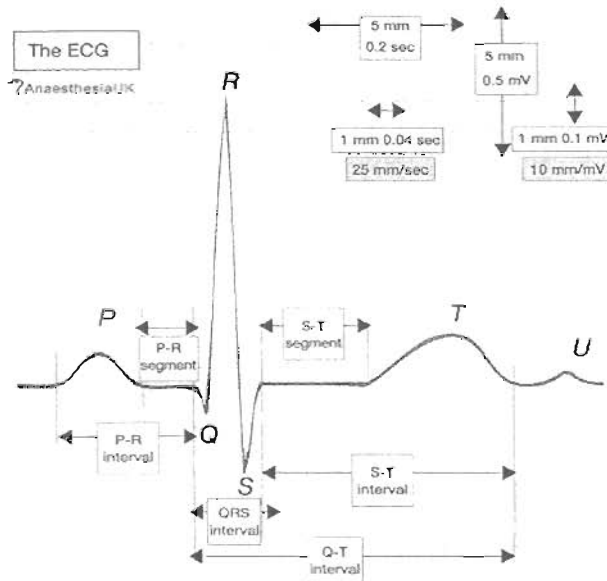
ศักย์ไฟฟ้าที่เกิดขึ้นในภายในเซลล์ ในช่วงที่เซลล์เปลี่ยนสถานะจาก Polarization เป็น Depolarization นั้นจะมีผลจากความเข้มข้นของ Electrolyte ที่อยู่ภายในและภายนอกของเซลล์ด้วย

ในสภาวะพักของเซลล์ มี Cation ที่สำคัญในส่วนของภายนอกเซลล์ที่อิโอดียม ส่วนภายในเซลล์จะมีโพแทสเซียมสูงและโซเดียมต่ำ (เมื่อเทียบกับปริมาณที่อยู่ภายนอกเซลล์) หลังจากนั้นเมื่อเซลล์ถูกเร้าให้หัวใจถูกกระตุ้นทางไฟฟ้าแล้ว ผนังเซลล์จะหยุดทำงานที่กันโซเดียมไม่ให้ผ่านเข้าไปในเซลล์ ผลที่เกิดขึ้นจากการกระตุ้นเซลล์ถูกเร้าเนื้อหัวใจทำให้อิโอดียมไอออนที่อยู่ภายนอกเซลล์ไหลเข้าไปในเซลล์อย่างรวดเร็ว จากศักย์ไฟฟ้าเป็นลบจนเป็นศูนย์แล้วกลับไปเป็นบวกในสภาวะนี้จึงเป็นผลให้กล้ามเนื้อหัวใจเกิดการหดตัว เมื่อสิ้นสุดช่วงการเกิด Depolarization ในเซลล์ของกล้ามเนื้อหัวใจแล้ว ผนังเซลล์จะเริ่มกลับเข้าสู่สภาวะปกติ โดยยอมให้อิโอดียมผ่านเข้าเซลล์น้อยลง และขณะเดียวกันนั้น โพแทสเซียมภายในเซลล์ ก็จะเริ่มสูงขึ้น การเปลี่ยนแปลงนี้มีผลทำให้ศักย์ไฟฟ้าที่ผนังเซลล์จะเริ่มกลับเข้าสู่สภาวะปกติ (Repolarization)

การที่ Sino Atrial Node ทำการกระตุ้นเซลล์ถูกเร้าให้หัวใจในเซลล์หนึ่งและต่อไปยังเซลล์อื่น ๆ ทั่วร่างกายนั้น จะสามารถตรวจวัดการเกิดสัญญาณไฟฟ้าได้จากการติดแผ่น Electrode บนผิวนังของร่างกายและต่อเข้าวงจรขยายสัญญาณ ก็จะได้สัญญาณไฟฟ้าหัวใจ หรือที่เรียกว่า ECG (Electrocardiogram)

2.1.5 ลักษณะของสัญญาณไฟฟ้าหัวใจ

สัญญาณไฟฟ้าหัวใจประกอบด้วยคลื่นสัญญาณจำนวน 5 คลื่นใน 1 รอบ คือช่วงคลื่น P Q R S T โดยฐานของสัญญาณไฟฟ้าจะเกิดเป็นช่วง ๆ หมุนเวียนซ้ำกันไปในทุก ๆ รอบ ขนาดและรูปร่างของคลื่นสัญญาณไฟฟ้าย่อยแต่ละคลื่นของ ECG จะเปลี่ยนแปลงได้ขึ้นกับการวางแผนผังของ Electrode ของเครื่องวัด บนร่างกายผู้รับการตรวจ ซึ่งขนาดของคลื่นต่างๆ นี้ มีขนาดเล็กเมื่อเทียบกับขนาดความต่างศักย์ที่ผนังของเซลล์ถูกเร้าให้หัวใจ



ภาพที่ 2-7 แสดงรูปคลื่นไฟฟ้าหัวใจที่ปกติ

2.1.4.1 คลื่น P wave

คลื่น P Wave เกิดจาก การ Depolarization ของหัวใจห้องบนทั้ง 2 ห้อง ซึ่งมีขั้นตอนการเริ่มต้นของการกระตุ้นจาก Sino Atrial Node และแผ่กระจายไปทุกทิศทาง ทั่วริเวณกล้ามเนื้อหัวใจห้องบน โดยมีทิศทางรวมของสัญญาณไฟฟ้าเดียงไปทางด้านล่างซ้าย รูปร่างปกติของคลื่น P Wave จะมีลักษณะกลมและเรียบ โดยมีความกว้างของรูปคลื่นไม่เกิน 0.12 วินาที และมีความสูงของรูปคลื่นไม่เกิน 2.5 ม.m. ลักษณะของคลื่น P Wave ก็จะมีลักษณะเป็นคลื่นหัวดัง เสมอสำหรับการวัดในทุกๆ Lead เมื่อเทียบกับเส้นฐาน โดยยกเว้นเฉพาะใน Lead aVR ซึ่งรูปคลื่น P Wave จะมีลักษณะกลับหัวเสมอ ส่วนใน Lead V1 และ V2 บางครั้งรูปคลื่นจะเป็นลักษณะ Biphasic คือเป็นรูปคลื่นที่มีทั้งช่วงบวกและลบ โดยต้องให้มีส่วนแรกของ P Wave ที่เป็นบวก มีขนาดใหญ่กว่าช่วง P Wave ที่เป็นช่วงลบเสมอ หรืออย่างมากที่สุดคือขนาดที่เท่ากัน ซึ่งหากขนาดของ P Wave ช่วง Biphasic ที่ไม่ได้ตามขนาดนั้นแล้ว แสดงว่ามีความผิดปกติของหัวใจห้องบนเกิดขึ้น

2.1.4.2 ช่วงคลื่น P – R

ก่อระยะจากจุดเริ่มต้นของ ช่วงคลื่น P Wave ไปจนถึงจุดเริ่มต้นของ QRS Complex คือรูปคลื่นสัญญาณไฟฟ้าหัวใจช่วง QRS Complex มีช่วงคลื่น Q Wave ด้วย ช่วงคลื่น P – R จะเริ่มวัดจากจุดเริ่มต้นของคลื่น P Wave ไปจนถึงจุดเริ่มต้นของ Q Wave และถ้าไม่มี Q Wave ให้วัดจากจุดเริ่มต้นของ P Wave ไปจนถึงจุดเริ่มต้นของ R Wave

ระยะเวลาของ ช่วงคลื่น P – R เป็นระยะเวลาที่ประจุไฟฟ้าออกจาก Sino – Atrial Node ไปจนถึงจุดเริ่มต้นของ Ventricular Activation ซึ่งเป็นระยะเวลาตั้งแต่ประจุไฟฟ้าออกจาก Sino Atrial Node ผ่านไปในหัวใจห้องบน แล้วผ่าน Atrio Ventricular Node และรออยู่ระหว่างหัวใจห้องบนและห้องล่าง ไปตาม Bundle of His ไปสู่กล้ามเนื้อหัวใจห้องล่าง ระยะเวลาของคลื่นช่วง P – R ในคนธรรมชาติอยู่ในช่วง 0.12 ถึง 0.20 วินาที

2.1.4.3 คลื่น Q Wave

รูปคลื่นสัญญาณในช่วง Q Wave จะไม่ปรากฏอยู่ในทุก Lead ของคลื่นสัญญาณไฟฟ้าหัวใจ และการสังเกตคลื่นช่วง Q Wave จะพบว่าเป็นคลื่นลบคลื่นแรกของรูปคลื่นสัญญาณไฟฟ้าหัวใจ และเป็นส่วนด้านของ QRS Complex ดังนั้นถ้าใน Lead ได้ปรากฏมีช่วง

Q Wave แล้ว จะสามารถหาจุดของ Q Wave ได้ในช่วงระหว่างคลื่น P Wave และช่วงคลื่น R Wave โดยลักษณะปกติของรูปคลื่น Q Wave ที่ว่าไปต้องมีลักษณะดังนี้คือ

2.1.4.3.1 ความกว้างของรูปคลื่นต้องน้อยกว่า 0.04 วินาที

2.1.4.3.2 ความลึกของรูปคลื่นต้องน้อยกว่า $\frac{1}{4}$ ของขนาดคลื่น R Wave

2.1.4.4 ช่วง QRS Complex

รูปคลื่นสัญญาณในช่วง QRS Complex เกิดจาก Depolarization ของหัวใจห้องล่าง โดยประกอบด้วยช่วงคลื่น Q , R และ S ส่วนแรกสุดของ QRS Complex ก็คือช่วงคลื่น Q Wave เกิดจากการกระตุนทางไฟฟ้าของผนังกั้นระหว่างหัวใจห้องล่างด้านขวาและซ้าย โดยผนังหัวใจด้านซ้ายจะถูกกระตุนก่อนแล้วไฟฟ้าจึงผ่านไปขึ้นผนังหัวใจห้องขวาตามทิศทาง เมื่อผนังกั้นหัวใจห้องล่างทั้ง 2 ห้อง ได้รับการกระตุนจนทั่วแล้ว จานนี้ประจุไฟฟ้าก็จะผ่านหัวใจห้องล่างไปในทิศทางและเนื่องจากผนังของหัวใจห้องล่างซ้ายมีขนาดหนากว่าหัวใจห้องล่างขวา ทำให้เกิดคลื่นสัญญาณไฟฟ้าหัวใจช่วง R Wave ที่มีความสูงและชัดเจนมาก การพิจารณารูปคลื่นช่วง QRS Complex ควรพิจารณาลักษณะดังนี้

2.1.4.4.1 ความสูงและความลึกของคลื่น R และ S โดยในสภาวะปกติความสูงของ R ใน Lead 1 บวกกับความสูงของ S ใน Lead 2 ต้องไม่เกิน 25 ม.m. ส่วนใน Chest Lead นั้นความลึกของ S ใน V1 บวกความสูงของ R ใน V5 หรือ V6 ต้องมากกว่า 35 ม.m.

2.1.4.4.2 ความกว้างของช่วง QRS โดยปกติทั่วไปจะอยู่ในช่วง 0.06 ถึง 0.1 วินาที และจะใช้วัดจากรูปคลื่นสัญญาณไฟฟ้าหัวใจใน Lead 2 หรือถ้ารูปคลื่นไม่ชัดเจนก็จะใช้วัดจาก Limb Lead แทน

2.1.4.5 ช่วงคลื่น ST

รูปคลื่นของ ST จะเป็นช่วงที่เกิดการ Ventricular Depolarization เสร็จสิ้นแล้ว จนถึงช่วงที่จะเริ่มเกิดคลื่น T Wave คือเริ่มเกิด Centricular Repolarization โดยทั่วไปรูปคลื่นช่วง ST จะอยู่บริเวณเส้นฐาน ซึ่งรูปคลื่นที่ปกติจะต้องไม่เบี่ยงเบนออกจากเส้นฐานเกิน 1 ม.m.

2.1.4.6 คลื่น T Wave

รูปคลื่นสัญญาณช่วง T Wave เกิดหลังจากการ Repolarization ของหัวใจห้องล่างและเป็นช่วงที่เกิดความหลัง ช่วงคลื่น ST การพิจารณาฐานร่องของคลื่น T Wave ให้พิจารณาดังนี้

2.1.4.6.1 ความสูงและความกว้างของคลื่น T Wave ไม่มีมาตรฐานที่แน่นอนแต่โดยทั่วไปแล้วถือหลักว่า T Wave จะมีขนาดสูงมากที่สุดใน Chest Lead V3 และ V4 และเล็กที่สุดใน V1 และ V2

2.1.4.6.2 รูปคลื่น T Wave จะมีลักษณะหัวตั้งใน Lead I , Lead 2 และจะมีลักษณะหัวกลับใน aVR เช่นเดียวกัน

2.1.4.7 คลื่น U Wave

รูปคลื่นสัญญาณช่วง U Wave จะไม่ปรากฏในทุก Lead ของการตรวจวัดคลื่นสัญญาณไฟฟ้าหัวใจ แต่จะสามารถมองเห็นได้ในบาง Lead เท่านั้น โดยที่ม่องเห็นชัดที่สุดจะอยู่ใน Chest Lead V4 และ V5 โดยจะมีลักษณะเป็นรูปคลื่นเสี้ยง ๆ ตามหลัง T Wave และอยู่ก่อนการเกิด P Wave ในรอบอัตรา

2.2 การวัดคลื่นสัญญาณไฟฟ้าหัวใจ

การที่จะวัดรูปคลื่นสัญญาณไฟฟ้าหัวใจ ที่กระจายออกตามผิวนานของร่างกาย ให้ได้รูปคลื่นที่ถูกต้อง เพื่อนำไปวิเคราะห์ตรวจสอบและหาความผิดปกติของหัวใจ โดยปราศจากสัญญาณรบกวนที่ไม่เพียง公然นาได้นั้น ประกอบด้วยปัจจัยที่สำคัญดังนี้

2.2.1 ชนิดของ Electrode

2.2.2 ตำแหน่งการวาง Electrode

การตรวจวัดคลื่นสัญญาณไฟฟ้าหัวใจจากร่างกาย สามารถตรวจวัดได้โดยการวาง Electrode ในตำแหน่งมาตรฐานดังนี้

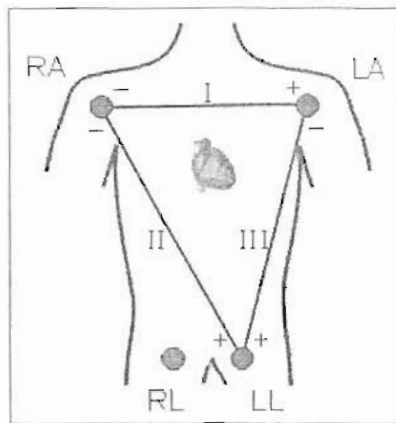
2.2.2.1 Standard Lead หรือ Bipolar Lead หรือ Limb Lead

โดยการวาง Eelectrode บนบริเวณแขนขวา, ซ้าย และขาซ้ายของผู้รับการตรวจ คลื่นสัญญาณไฟฟ้าที่ได้นี้เป็นการวัดความต่างสักย์ระหว่างข้อ Eelectrode ที่วางบนแขนหรือขาที่ลักษณะสามารถวัดคลื่นสัญญาณไฟฟ้าหัวใจตามมาตรฐานได้ 3 Lead คือ

Lead 1 วัดความต่างศักย์ระหว่างแขนขวาและแขนซ้าย , แขนขวา (-) แขนซ้าย (+)

Lead 2 วัดความต่างศักย์ระหว่างแขนขวาและขาซ้าย , แขนขวา (-) ขาซ้าย (+)

Lead 3 วัดความต่างศักย์ระหว่างแขนซ้ายและขาซ้าย , แขนซ้าย (-) ขาซ้าย (+)



ภาพที่ 2-8 แสดงตำแหน่งการติดอิเล็กโทรคันร่างกาย สำหรับการวัดแบบ Bipolar lead

การที่วัดสัญญาณไฟฟ้าเพียง 2 จุดในแต่ละ Lead นั้น โดยที่จะต้องกำหนดให้ Electrode มีข้อ + และ - จึงเป็นที่มาของชื่อ Bipolar Lead โดยทั้งนี้มีผลรวมของความต่างศักย์ไฟฟ้าจากการวัดด้วย Lead 1 และ Lead 3 จะมีค่าเท่ากับความต่างศักย์ที่วัดได้จาก Lead 2 หรือจะได้ว่าผลรวมทางพีซคันติของ Lead 1 , Lead 2 และ Lead 3 เท่ากับศูนย์

2.2.2.2 Unipolar Lead

เป็นการวางอิเล็กโทรคันสำหรับบันทึก (Exploring Eletrode , ขัวนาว) บนตำแหน่งแขนขวาหรือแขนซ้าย หรือขาซ้าย โดยเปรียบเทียบกับศูนย์ (Zero) ซึ่งทำได้โดยการนำเอาขัวไฟฟ้าที่เหลืออีกสองตำแหน่งมารวมกันแนวๆ ได้เป็น 3 Lead คือ

Lead aVR ใช้อิเล็กโทรคันติดกับขัวไฟฟ้าบวกความที่แขนขวา เปรียบเทียบกับค่าเฉลี่ยศักย์ไฟฟ้าของแขนซ้ายกับขาซ้าย

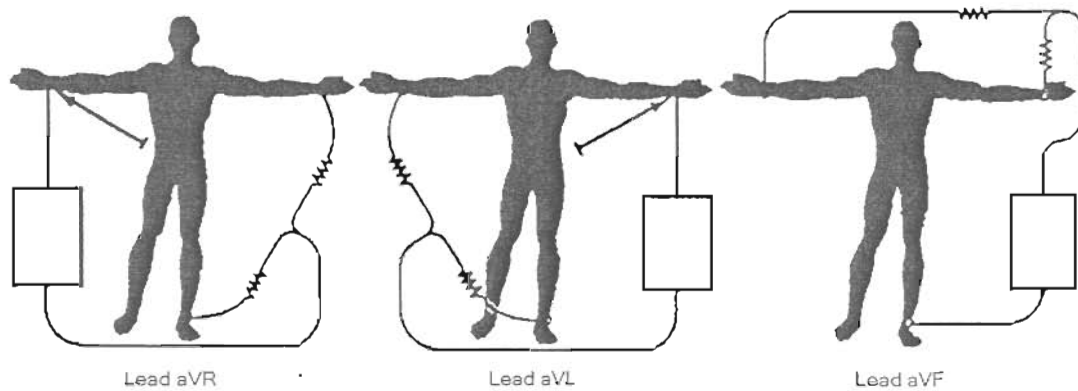
$$aVR = RA - \frac{1}{2}(LA + LL)$$

Lead aVL ใช้อิเล็กโทรคันติดกับขัวไฟฟ้าบวกความที่แขนซ้าย เปรียบเทียบกับค่าเฉลี่ยศักย์ไฟฟ้าของแขนขวากับขาซ้าย

$$aVL = LA - \frac{1}{2}(RA + LL)$$

Lead aVF ใช้อิเล็กโทรดติดกับข้อไฟฟ้าบริเวณขาซ้าย เปรียบเทียบกับค่าเฉลี่ยศักย์ไฟฟ้าของแขนขวากับแขนซ้าย

$$aVF = LL - \frac{1}{2}(LA + RA)$$



ภาพที่ 2-9 แสดงตำแหน่งการติดอิเล็กโทรดแบบ Unipolar Limb Lead

2.2.2.3 Unipolar Chest Lead

Chest lead คือการวาง Electrode ลงบนตำแหน่งต่างๆ ของหน้าอก โดยให้ Electrode วางอยู่บนและรอบหัวใจ ตามมาตรฐานสากลการวาง Electrode จะมี 6 ตำแหน่งประกอบด้วย Lead ต่างๆ ดังนี้

Lead V1 วาง Electrode ที่ช่องระหว่างกระดูกซี่โครงซองที่ 4 ทางด้านขวาติดกับขอบกระดูกหน้าอก

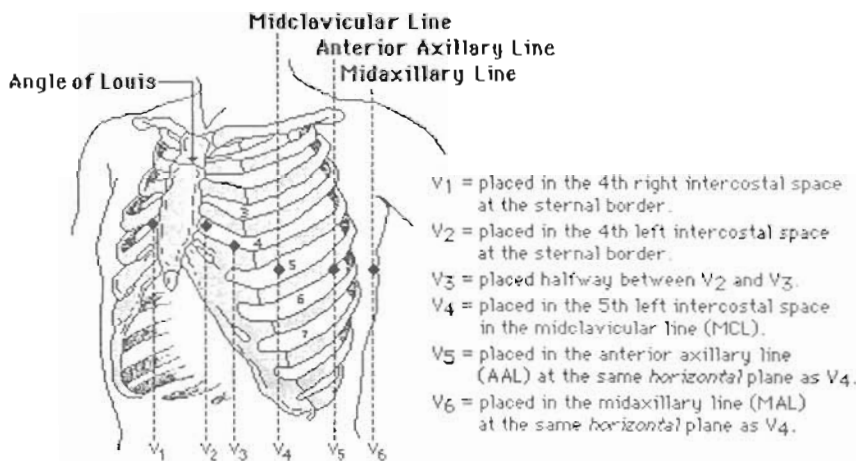
Lead V2 วาง Electrode ที่ช่องระหว่างกระดูกซี่โครงซองที่ 4 ทางซ้ายติดกับขอบกระดูกหน้าอก

Lead V3 วาง Electrode กึ่งกลางระหว่าง V2 และ V4

Lead V4 วาง Electrode บนเส้นกึ่งกลางของกระดูกไหปลอกไว้ในช่องระหว่างกระดูกซี่โครงซี่ที่ 5

Lead V5 วาง Electrode บนจุดซึ่งตัดกันระหว่างเส้น Anterior Axillary กับเส้นขานที่ลากจาก V4

Lead V6 วาง Electrode บนจุดซึ่งตัดกันระหว่างเส้น Mid-Axillary Line กับเส้นขานที่ลากไปจาก V4



ภาพที่ 2-10 แสดงตำแหน่งการคิดอีเลคโทรคันทร์แบบ Chest Lead

2.3 สาภาวะการเกิดความผิดปกติของหัวใจมีดังนี้

2.3.1 หัวใจขาดเลือด (Ischemic Heart Disease) ในระบบต่าง ๆ เช่น ก้ามเนื้อหัวใจขาดเลือด (Myocardial Ischemia) ก้ามเนื้อหัวใจได้รับอันตราย (Myocardial Injury) และ ก้ามเนื้อหัวใจตาย (Myocardial Necrosis) ซึ่งก็คือ โรคก้ามเนื้อหัวใจตาย (Myocardial Infarction) ในทางคลินิกนั่นเอง

2.3.2 การเกิดสภาวะหัวใจเดินผิดจังหวะ (Arrhythmia) บวกชนิดของการเดินผิดจังหวะ

2.3.3 โรคเยื่อหุ้มหัวใจอักเสบระเบียบพลันจนถึงระยะเรื้อรัง

2.3.4 Ventricular Hypertrophy.

2.3.5 Atrial Enlargement หรือ Hypertrophy

2.3.6 ผลของการใช้ยาโดยเฉพาะยาโรคหัวใจ

2.3.7. สาภาวะเกลือและแร่ธาตุไม่สมดุลซึ่งเช่นไฟฟ้าหัวใจจะมีความสูงและต่ำกว่าปกติ

2.4 P Wave ที่ผิดปกติ

การพิจารณา率ปั๊กลี่นสัญญาณไฟฟ้าหัวใจช่วง P Wave ที่ผิดปกติควรพิจารณาจากรูปคลื่นชาด Lead 2 ก่อนเสมอ เนื่องจากว่าจะสามารถเห็นรูปคลื่นได้ชัดกว่าสัญญาณใน Lead อื่น ๆ หรืออาจจะคุ้ງปั๊กลี่นจาก Lead 1 แทนก็ได้ และหลังจากนั้นให้ไปพิจารณา率ปั๊กลี่นจาก Lead 3 และ aVL หรือ aVF โดยรูปคลื่นช่วง P Wave ที่ผิดปกติจะมีรูปร่างที่มีความสูงและความกว้างผิดปกติ ตามลักษณะดังนี้

2.4.1 P Mitrate คือลักษณะของรูปคลื่น P Wave ที่มีความกว้างมากกว่า 0.12 วินาทีหรือ 3 ช่องเด็กบนกระดาน และอาจจะพบว่ามีลักษณะของ Notch บนรูปคลื่นด้วย ซึ่งอาจเรียกว่า Biphasic แกะอาจจะมีรูปคลื่นที่สูงกว่าปกติเล็กน้อยด้วย ซึ่งความสูงของยอดคลื่นช่วงแรกจะเกิดเพรา Depolarization Wave ของหัวใจห้องบนขวา ส่วนยอดคลื่นหลังเกิดจาก Depolarization Wave ของหัวใจห้องบนซ้าย การที่เกิด Biphasic ได้นั้นแสดงว่า Activation ของหัวใจห้องบนซ้าย ช้ากว่าปกติธรรมชาติ เพราะหัวใจห้องบนโดยหรือมีพยาธิสภาพที่ผิดปกติเกิดขึ้น และถ้าพบ Left Axis Deviation ด้วยจะเป็นสิ่งยืนยันว่าหัวใจห้องบนซ้ายโดยปกติ เมื่อพิจารณารูปคลื่นช่วง P Wave ที่ผิดปกติใน Lead 2 หรือ Lead อื่น ๆ ของ Limb Lead แล้ว จะต้องพิจารณารูปคลื่น P Wave ใน Lead V1 ด้วยเสมอ เพื่อพิจารณาว่ามีลักษณะเป็นคลื่นลบหรือไม่ และถ้าเป็นคลื่นลบ ก็จะเป็นสิ่งยืนยันว่ามีลักษณะของหัวใจห้องบนซ้ายโดยหรือมีพยาธิสภาพเกิดขึ้น ในกรณีที่รูปคลื่น P Wave ใน Lead V1 เป็น Biphasic คือ มีรูปคลื่นในช่วงบวกและลบ เมื่อพิจารณา รูปคลื่นจะพบว่า รูปคลื่นในช่วงลบจะมีขนาดใหญ่กว่ารูปคลื่นในช่วงบวก

2.4.2 P Pulmonale คือลักษณะของรูปคลื่น P Wave ที่วัดจากคลื่นไฟฟ้าหัวใจใน Lead 2 โดยมีความสูงของช่วง P Wave ตั้งแต่ 3 ม.m. ขึ้นไป แต่ความกว้างของรูปคลื่นอยู่ในช่วงปกติ และทั้งนี้จะต้องไปพิจารณารูปคลื่น P Wave ใน Lead V1 ด้วย ถ้าพบรูปคลื่นมีลักษณะเป็นลบ จะหมายถึงการเกิดสภาพหัวใจห้องบนขวาโต แต่ถ้ารูปคลื่น P Wave ใน Lead V1 ไม่เป็นคลื่นลบ จะหมายถึง ความเป็นไปได้ที่จะเกิด ภาวะหัวใจห้องบนขวาโต

2.4.3 P Wave คลั่นหัว ใน Lead 2 มีสาเหตุที่พบบ่อยที่สุด

2.4.3.1 ภาวะหัวใจพิการเด็ก先天 โดยที่หัวใจอยู่ด้านขวาของหัวใจ และเป็น Mirror Image กับคนปกติ เพราะหัวใจห้องบนและหัวใจห้องล่างเปลี่ยนข้างด้วย จะมีลักษณะเฉพาะของคลื่นสัญญาณไฟฟ้าหัวใจที่ต่างกับคนปกติตรงนี้

2.4.3.2 ใน Lead 1 จะมีลักษณะเหมือน Lead aVR ของคนปกติ

2.4.3.3 ใน Lead aVR และ aVL จะสลับกับคนปกติ

2.4.3.4 ใน Lead 2 และ Lead 3 จะสลับกับคนปกติ

2.4.3.5 ใน Chest Lead จะมี R Wave สูงใน Lead V1, V2 และมี S Wave ลึก ใน Lead V5 และ V6

2.4.3.6 เกิดจากการติด Electrode ลับกับกระดานช่วงแขนขวาและแขนซ้าย

2.4.4 P Wave หลากหลาย

2.5 ช่วงคลื่น P – R ที่ผิดปกติ

2.5.1. ช่วงคลื่น P – R ที่ยาวกว่าปกติ คือเป็นช่วง P – R ที่มีค่ามากกว่า 0.20 วินาทีภาวะนี้อาจเรียกว่าเป็น First Degree Atrio Ventricular Block พบบ่อยในสภาวะดังนี้

2.5.2 การให้ดีจิตาลิสมากเกินขนาด

2.5.3 โรคหัวใจพิการแต่กำเนิดบางชนิด เช่น Atrial Septal Defect , Ebstein's Anomaly หรือ Corrected Transposition of The Great Vessel

2.5.4 โรคกล้ามเนื้อหัวใจขาดเดือด

2.5.5 Active carditis

2.5.6 การให้ยาปิดกั้นถุงหัวใจเต้า

2.6 ช่วงคลื่น P – R ที่สั้นกว่าปกติ คือช่วง P – R ที่มีค่าน้อยกว่า 0.20 วินาที อาจพบได้ในสภาวะดังนี้

2.6.1 Wolff – Parkinson – White - Syndrome (WPW Syndrome) หรือบางครั้งเรียกว่า Pre – Excitation Syndrome หรือ Vetricular Pre –Excitation เมื่อจะจากมีสาเหตุมาจากการกล้ามเนื้อหัวใจห้องล่างบางส่วนถูกกระตุ้นก่อนเวลาอันควร ซึ่งทำให้เกิดช่วง P – R ที่สั้นกว่าปกติ โดยถูกกุมอาการนี้เกิดจากกล้ามเนื้อหัวใจบางส่วนของหัวใจห้องบน ทำหน้าที่เป็นทางเดินพิเศษ ต่อเชื่อมระหว่างหัวใจห้องบนและหัวใจห้องล่าง ซึ่งอาจจะเป็นหัวใจห้องล่างขวา หรือหัวใจห้องล่างซ้าย หรืออาจจะเกิดบริเวณผนังกั้นของหัวใจห้องล่าง เมื่อประจุไฟฟ้าผ่านมาจากหัวใจห้องบน ซึ่งทำให้บริเวณนั้นถูกกระตุ้นเร็วกว่าปกติ เพราะประจุไฟฟ้าไม่ได้ถูกทำให้ช้าลงโดย Atrio – Ventricle Node (A-V Node) และทำให้เกิดลักษณะของรูปคลื่นส่วนอื่น ๆ เปลี่ยนแปลงดังนี้

2.6.1.1 ช่วงคลื่น QRS Complex กว้างมากกว่า 0.12 วินาที

2.6.1.2 เกิดคลื่น Delta ใน Upstroke ของ QRS Complex

2.6.1.3 อาจเกิดรูปคลื่นช่วง T Wave มีพิษทางตรงข้ามกับคลื่น Delta

2.6.2 Lown – Ganong – Levine Syndrome (LGL Syndrome) ซึ่งจะมีผลกับรูปคลื่นส่วนอื่น ๆ ดังนี้

2.6.2.1 ช่วงคลื่น QRS Complex ปกติ

2.6.2.2 ไม่เกิด คลื่น Delta

2.6.3 สภาวะอื่น ๆ ที่จะทำให้เกิดช่วง P – R สั้นกว่าปกติได้คือ

2.6.3.1 A-V Junction Rhythm

2.6.3.2 โรคความดันโลหิตสูง

2.6.3.3 Glycogen Storage Disease

2.6.3.4 Normal Variation

2.6.4 สภาวะที่ช่วง P – R เกิดการเปลี่ยนแปลงตลอดเวลา โดยอาจเกิดจากสาเหตุดังนี้

2.6.4.1 Wenckebach Phenomenon

2.6.4.2 Wandering Pacemaker

2.6.4.3 Complete A-V Block

2.6.4.4 A-V Dissociation

2.7 Q Wave ที่ผิดปกติ

ถ้าจะมองกลับสัญญาณไฟฟ้าหัวใจช่วง Q Wave ที่ผิดปกติคือช่วงคลื่นที่มีความยาวตั้งแต่ 0.04 วินาทีขึ้นไป หรือเป็นช่วงคลื่นที่มีความลึกมากกว่าหนึ่งส่วนสี่ของ R Wave โดยสภาวะที่จะทำให้เกิดความผิดปกติเกิดขึ้นของช่วง Q Wave มีดังนี้

Myocardial Infarction

Right Ventricular Hypertrophy

Left Ventricular Hypertrophy

Left Bundle Branch Block

Pulmonary Embolism

Cardiomyopathy

2.7.1 ช่วงคลื่น Q-T ที่ผิดปกติ

ช่วงคลื่น Q-T ที่สั้นผิดปกติ ซึ่งเกิดจากสภาวะดังนี้

2.7.1.1 ภาวะแคลเซียมในเลือดสูง (Hypercalcemia) บีผลทำให้ช่วงคลื่น S-T สั้น จึงส่งผลทำให้ช่วงคลื่น Q-T สั้นลงด้วย

2.7.1.2 ภาวะที่ได้รับยาตัดจิตลิส

2.7.2 ช่วงคลื่น Q-T ที่ยาวผิดปกติ ซึ่งเกิดจากสภาวะดังนี้ เช่น

2.7.2.1 ภาวะแคลเซียมในเลือดต่ำ (Hypocalcemia)

2.7.2.2 โรคหัวใจขาดเดือด ทั้งจากโรคหลอดเดือดหัวใจศีบและโรคกล้ามเนื้อหัวใจตาย

2.7.2.3 ภาวะที่อุณหภูมิในร่างกายต่ำ เกินไป

2.7.2.4 Mitral Valve Prolapse

2.7.2.5 Hypothyroidism

2.7.2.6 ภาวะเลือดออกในสมอง

2.7.2.7 Acute Cor Pulmonale

2.8 ช่วงคลื่น QRS ที่ผิดปกติ

2.8.1 การพิจารณาขนาดของช่วงคลื่น QRS จะพิจารณาจากความสูงของยอด R และ S Wave จากเส้นฐาน เนื่องจากขนาดของยอด R และ S Wave เป็นสิ่งที่แสดงให้เห็นเกี่ยวกับประจุไฟฟ้าที่ผ่านในหัวใจห้องล่าง ดังนั้นในการพิจารณาความผิดปกติ จะพิจารณาจากความสูงของยอดคลื่นว่าสูงหรือต่ำกว่าสภาวะปกติ

2.8.2 พิจารณาหากความกว้างของช่วงคลื่น QRS โดยวัดจากจุดเริ่มต้นของ QRS Complex จนถึงจุดเริ่มต้นของ T Wave และควรจะวัดใน Limb Lead ซึ่งจะมีความถูกต้องแม่นยำมากกว่า Lead อื่น ๆ เมื่อจากมีระยะห่างกว้างของคลื่นมากที่สุด

2.9 ช่วงคลื่น QRS ที่มียอดคลื่นสูงผิดปกติ

มักเกิดจากผนังหัวใจห้องล่างซ้ายหนากว่าปกติ หรือความสูงของ R Wave ใน Lead 1 มาก กับความสูงของ S Wave ใน Lead 2 มากกว่า 25 ม.m. ใน Chest Lead ความสูงของ S Wave ใน Lead V1 มากกับความสูงของ R Wave ใน Lead V5 หรือ V6 มากกว่า 35 ม.m.

2.10 ช่วงคลื่น QRS ที่มียอดคลื่นต่ำผิดปกติ

2.10.1 พิจารณาจาก Limb Lead โดยความสูง R Wave มากกับ S Wave ไม่เกิน 5 ม.m.

2.10.2 พิจารณาจาก Chest Lead ความสูงของคลื่น QRS ไม่เกิน 5 ม.m.

2.11 ช่วงกว้างของคลื่น QRS ผิดปกติ

สภาวะปกติของช่วงกว้างของคลื่น QRS จะอยู่ระหว่าง 0.06 วินาที ถึง 0.10 วินาที โดยทั่วไปจะพิจารณาช่วงกว้างของรูปคลื่น จาก Lead 2 ซึ่งช่วงกว้างของรูปคลื่นที่มากกว่าปกตินัก เกิดจากประจุไฟฟ้าที่ไปกระตุ้นหัวใจห้องล่าง ไปถึงไม่พร้อมกัน เช่นการเกิดความผิดปกติใน Bundle Branch ซึ่งได้ข้างหนึ่ง ทำให้ประจุไฟฟ้าที่จะผ่านไปยังหัวใจห้องล่างช้าลง จึงทำให้เกิดผลให้ระยะความกว้างของคลื่น QRS มากขึ้น

2.12 ช่วงคลื่น S-T ที่ผิดปกติ

2.12.1 ช่วงคลื่น S-T ที่สูงผิดปกติ คือการมีช่วงคลื่นที่สูงกว่าเส้นฐานตั้งแต่ 1 ม.m. ขึ้นไป อาจเกิดจากสภาวะดังนี้

2.12.1.1 เกิดคาดແພლูนเนื้องหูมหัวใจ ซึ่งเป็นผลให้กล้ามเนื้อหัวใจบริเวณนั้นไม่นำประจุไฟฟ้า จึงทำให้ไม่เกิดการสัญญาณของรูปคลื่นในช่วง S-T ได้

2.12.1.2 Acute Pericarditis

2.12.1.3 Normal Variant อาจพบคลื่น S-T ที่สูงผิดปกติได้ในคนปกติ เช่น คนเอเชียและนิโกร โดยกลไกที่เกิดขึ้นเชื่อว่ามาจากการสภาวะ Early Repolarization ซึ่งเป็นสภาวะของกล้ามเนื้อหัวใจส่วนใหญ่เกิดการ Repolarization เร็วกว่าปกติ และบางส่วนก็เกิดแบบปกติ

2.13 ช่วงคลื่น S-T ที่ผิดปกติ พนได้บ่อยในสภาวะดังนี้

2.13.1 Myocardial Ischemia

2.13.2 Digitalis Effect

2.13.3 Left Ventricular Hypertrophy หรือ Strain

2.14 U wave ที่ผิดปกติ

คลื่น U ที่สัญญาณช่วง U Wave ที่มีลักษณะผิดปกติ 2 แบบคือ

2.14.1. คลื่น U Wave ที่มีความสูงเกินกว่า 1 ม.m. ขึ้นไป

2.14.2. คลื่น U Wave ที่มีลักษณะหัวกลับ

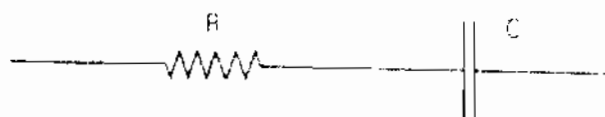
2.15 สัญญาณรุนแรงที่ปั่นมากับคลื่นไฟฟ้าหัวใจ

2.15.1 ลักษณะและพฤติกรรมของ Electrode

ในการวัดสัญญาณคลื่นไฟฟ้าหัวใจซึ่งเป็นสัญญาณไฟฟ้าจากหัวใจที่เผยแพร่กระจายออกมายตามผิวนังของร่างกายนั้น ในการตรวจวัดจะต้องมีอุปกรณ์สำหรับต่อนำเอาสัญญาณนี้ไปเข้าสู่วงจรขยายสัญญาณ เนื่องจากสัญญาณคลื่นไฟฟ้าหัวใจที่ปรากฏออกมานั้นเป็นสัญญาณที่มีขนาดเล็กมาก และอุปกรณ์ที่ทำหน้าที่ในการเชื่อมต่อระหว่างผิวนังของร่างกายกับวงจรขยายสัญญาณของเครื่องมือวัดคือ Electrode โดยทำหน้าที่ในการแปลงสัญญาณในรูปชีวเคมี ให้เป็นสัญญาณในรูปของกระแสไฟฟ้า เพื่อให้วงจรขยายสัญญาณอีเลคทรอนิกส์ สามารถทำการขยายสัญญาณได้ ซึ่งคุณลักษณะทางกระแส – ศักยไฟฟ้านองการเชื่อมต่อของ Electrode และ Electrolyte นั้นมีลักษณะที่ไม่เป็นเชิงเส้น และคุณลักษณะอีกประการของ Electrode ก็คือ มีคุณลักษณะตามความถี่ที่ใช้งาน

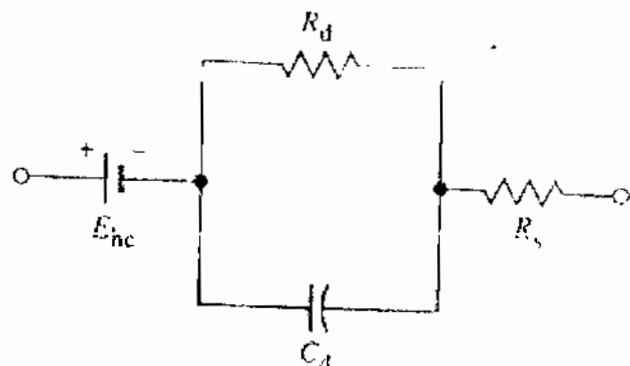
อินพีเดนซ์ที่เกิดขึ้นระหว่างจุดเชื่อมต่อของ Electrode และ Electrolyte ที่พิจารณาจากรูปคลื่นแบบ Sine Wave จะมี Model ของคุณลักษณะเฉพาะที่ประกอบอุปกรณ์ด้วยทั้งหมด คือ อุปกรณ์รีแอคติฟ แบบ คาปaciตีต์ ต่ออนุกรมกัน ซึ่งการที่ปราภูมิค่าคาปaciตีต์ ใน model นี้เนื่องจากผลของศักยไฟฟ้า Half- Cell ที่จะกระจายประจุที่บริเวณจุดเชื่อมต่อระหว่าง

Electrode และ Electrolyte ส่งผลให้เกิดเป็นชั้นของประจุขึ้น ซึ่งชั้นของประจุที่เกิดขึ้นนี้ จะแสดงพฤติกรรมเป็นตัวเก็บประจุ (Capacitor) ขึ้น



ภาพที่ 2-11 แสดงวงจรสมมิลอนของจุดเชื่อมต่อระหว่างผิวน้ำและอีเลคโทรด

วงจรสมมิลอนของ Model นี้ที่ประกอบด้วยตัวค้านทานและตัวเก็บประจุต่ออนุกรมกัน จะ break down ที่ความถี่ต่ำ ๆ คือจะมีค่ารีแอคเคนซ์สูงมาก เมื่อความถี่ต่ำ ๆ เข้าใกล้ DC และเพื่อเป็นการเลี่ยงปัญหาของการวิเคราะห์ Model แบบนี้ โดยการแบ่งวงจร RC อนุกรมให้เป็นวงจร RC แบบขนาน ซึ่งจะทำให้ในการวิเคราะห์ที่ความถี่ต่ำ ๆ นั้น เมื่อค่ารีแอคเคนซ์สูงมาก จะพิจารณาเพียงค่าของความค้านทานเพียงอย่างเดียว และเมื่อพิจารณารวมกับแหล่งกำเนิดศักย์ไฟฟ้า Half-Cell และความค้านทานที่เกิดจากจุดเชื่อมต่อและความค้านทานของ Electrolyte แล้วจะได้วงจรสมมิลอนของ Electrode ดังรูป 2-12

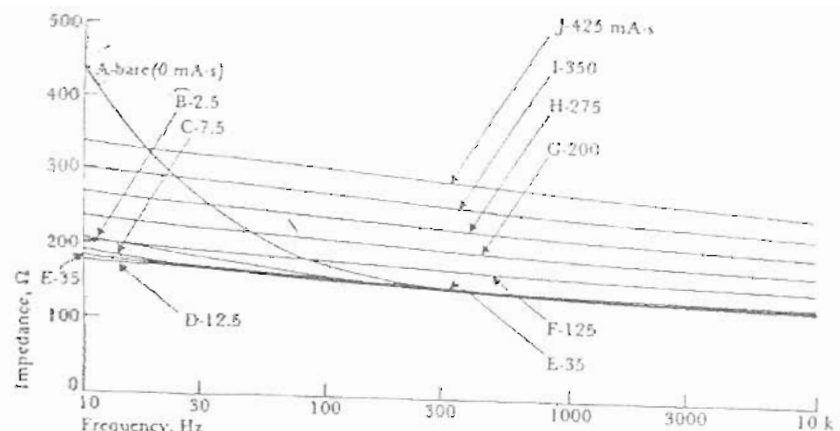


ภาพที่ 2-12 แสดงวงจรสมมิลอนของอีเลคโทรด โดยการพิจารณาเป็นวงจรขนาน RC

วงจรสมมิลอนนี้ C_d คือค่าความชีวนิค ระหว่างชั้นของประจุที่อยู่ตรงจุดเชื่อมต่อของ Electrode และ Electrolyte ส่วน R_d คือ Leakage Resistance ระหว่างชั้นของประจุ ซึ่งขนาดและค่าของ อุปกรณ์ C_d และ R_d ในวงจรสมมิลอนนี้จะขึ้นกับชนิดของวัสดุที่นำมาทำเป็น Electrode และมีผลบ้างเดือน้อยกับชนิดและความเข้มข้นของ Electrolyte

จากรูปวงจรสมมติแสดงให้เห็นว่า อิมพีเดนซ์ของ Electrode จะขึ้นกับความถี่ที่ใช้งานโดยในช่วงที่ความถี่สูงนั้น ค่ารีแอคเคนซ์จะมีค่า $1/\omega C \ll R_d$ ซึ่งค่าอิมพีเดนซ์จะคงที่ที่ค่าของ R_s ส่วนในช่วงที่ความถี่ต่ำๆ นั้น ค่ารีแอคเคนซ์จะมีค่า $1/\omega C \gg R_d$ ซึ่งค่าอิมพีเดนซ์จะคงที่ที่ค่าของ R_s รวมกับค่าของ R_d

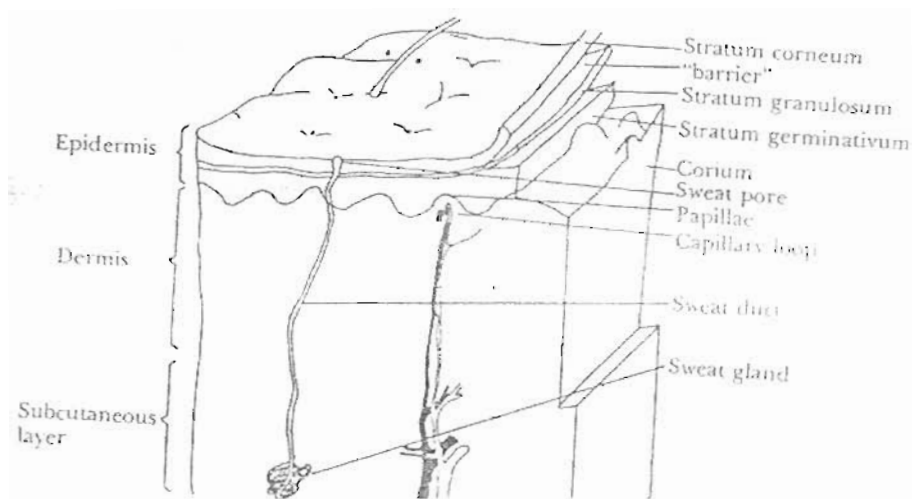
การเคลือบ Electrode ด้วย AgCl ขนาด $2.5 \text{ mA}\cdot\text{s}$ จะสามารถลดค่าของอิมพีเดนซ์ในช่วงความถี่ใช้งานช่วงต่ำๆ ได้อย่างมาก ตามกราฟในรูป B. การเคลือบ AgCl ที่หนากว่านี้จะทำให้เกิดผลน้อย จนกว่าประจุที่เคลือบจะเกินขนาด $100 \text{ mA}\cdot\text{s}$ แล้วรูปกราฟที่ปรากฏจะมีค่าอิมพีเดนซ์เพิ่มขึ้นเป็นเส้นตรงขนานกัน ตามขนาด AgCl ที่เคลือบหนาขึ้น



ภาพที่ 2-13 แสดงภาพอิมพีเดนซ์ของอิเลคโทรดกับปริมาณการเคลือบด้วย AgCl

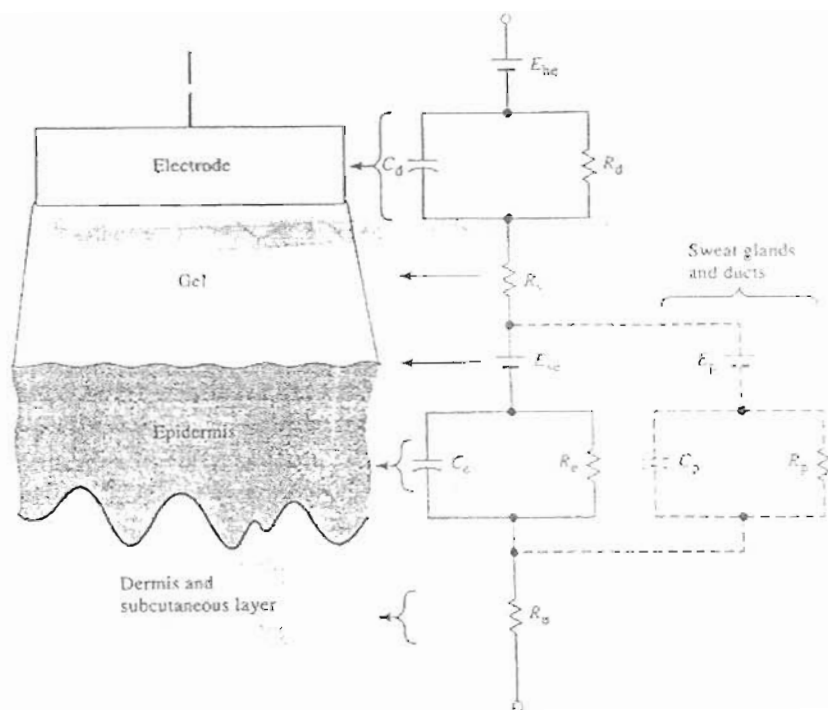
2.15.2 ผลของจุดเชื่อมต่อระหว่าง electrode กับผิวน้ำ

ในการเชื่อมต่อระหว่าง Electrode และผิวน้ำนั้น เนื่องจากชั้นผิวน้ำของมนุษย์ประกอบด้วยชั้นผิวต่างๆ จำนวน 3 ชั้นทั่วทั้งร่างกายเพื่อป้องกันอันตรายจากภายนอก ดังนี้



ภาพที่ 2-14 แสดงลักษณะของผิวนังแต่ละชั้น

1. ชั้นนอกสุดคือชั้น Epidermis ซึ่งเป็นชั้นผิวนังชั้นนอกของมนุษย์ที่ติดต่อโดยตรงกับ Electrode
2. ชั้นที่ลึกลงไปจากผิวนังคือส่วนของหลอดเลือดฝอยและส่วนของประสาทด่างๆ เช่น ต่อมเหงื่อ, รากผม ซึ่งเนื้อเยื่อในชั้นนี้จะมีความใกล้เคียงกันเนื่องจากภายในของร่างกาย



ภาพที่ 2-15 แสดงร้อยค่าของวงจรสมมติทางไฟฟ้าระหว่างอีเลคโทรดกับสัญญาณทางชีวไฟฟ้า

จากรูปแสดงวงจรสมมติการไฟฟ้าของการเชื่อมต่อระหว่าง Electrode และ ผิวหนังของร่างกายมุขย์โดยผ่านทาง Electrode Gel ตัวต้านทาน R_s ที่ต่ออยู่กับ C_s และ R_d คือผลของการความต้านทานของ Gel บริเวณรอยต่อระหว่าง Electrode กับผิวหนัง

การพิจารณาจากผลของการวัดที่จะมีผลกับการรับสัญญาณล้วนไฟฟ้าหัวใจ โดยทั่วไปจะเริ่มพิจารณาตั้งแต่ชั้นของ Epidermis หรืออย่างน้อยต้องเริ่มจากชั้น Stratum Corneum ซึ่งจะเป็นผนังของชั้นไออกอน และถ้าความเข้มข้นของไออกอนที่ผนังก้นนี้มีความแตกต่างกันแล้ว จะทำให้เกิดศักย์ไฟฟ้าของความแตกต่าง E_{se} ขึ้น โดยในชั้นของผิวหนังนี้จะมีคุณลักษณะเป็นความต้านทานไฟฟ้าด้วยซึ่งจะประกอบไปด้วยตัวต้านทานและตัวเก็บประจุ ต่อขนาดกัน ส่วนผิวหนังได้ชั้นของ Dermis และ Subcutaneous จะมีคุณลักษณะเป็นเหมือนตัวต้านทานเพียงอย่างเดียว

- การพิจารณาของรูปจะเห็นว่าถ้าสามารถลดค่าของอิมพีเดนซ์ที่เป็นผลจาก Stratum Corneum แล้วจะทำให้เพิ่มประสิทธิภาพของ Electrode ในการตรวจวัดคลื่นสัญญาณไฟฟ้าหัวใจได้ โดยการขัด อิมพีเดนซ์ในส่วนนี้ออกไประหรืออย่างน้อยแยก อิมพีเดนซ์ส่วนนี้ออกมาจาก จุดเชื่อมต่อของ Electrode ซึ่งมีวิธีในการลด อิมพีเดนซ์ในส่วนนี้ หลายวิธี ด้วยกัน เช่น การขัดดูผิวหนังด้วยกระดาษทราย หรือการเจาะทะลุผ่านผิวหนังในชั้นนี้ไป

2.16 ลักษณะการเกิดสัญญาณรบกวนขณะขยับร่างกาย (Motion Artifact)

ในขณะที่ Electrode ติดผูกกับ electrolyte จะทำให้เกิดชั้นของประจุระหว่าง Electrode และ electrolyte เกิดขึ้น และในขณะที่ Electrode ถูกขยับให้หลุดออกจากหน้าผากสัมผัสนี้ จะเกิดกลไกที่ทำให้เกิดการรบกวนก้าวประจุไฟฟ้าที่กระจายเต็มจุดเชื่อมต่อระหว่าง Electrode และ electrolyte ทำให้เกิดผลการเปลี่ยนแปลงชั่วขณะของศักย์ไฟฟ้า Half Cell ที่จุดเชื่อมต่อนั้น และจะถูกสูญเสียไปเมื่อการเปลี่ยนแปลงชั่วขณะนั้นหยุดลง ถ้าหากมีการติดตั้ง Electrode จำนวน 1 จุดบนผิวหนังของร่างกายแล้วให้ Electrode อันใดอันหนึ่งยังในขณะที่อันที่เหลืออยู่กับที่แล้ว จะทำให้เกิดความแตกต่างของศักย์ไฟฟ้าจากการขยับของร่างกายระหว่าง Electrode ทั้ง 2 นี้ ที่เรียกว่าเป็น Motion Artifact ซึ่งเป็นปัญหาของการเกิดสัญญาณรบกวนที่สำคัญในการตรวจวัดคลื่นสัญญาณไฟฟ้าหัวใจ

2.17 วิธีขยายสัญญาณ

หน้าที่สำคัญของวงจรขยายคือการขยายสัญญาณไฟฟ้าหัวใจคือการขยายสัญญาณไฟฟ้าหัวใจร่างกายที่มีขนาดเล็กให้สามารถนำมาร่วมวิเคราะห์ บันทึก และแสดงผล สภาวะและสภาพการทำงานของหัวใจได้ โดยทั่วไปจะมีคุณสมบัติพื้นฐานดังนี้

2.17.1 อินพีเดนซ์ด้าน Input สูง เพื่อไม่ให้เกิดภาระกับสัญญาณที่ต้องการตรวจวัด เมื่อจาก การเกิดภาระกับแหล่งกำเนิดสัญญาณจะทำให้สัญญาณที่ได้เกิด Distortion ดังนั้นการออกแบบ วงจรในส่วนของ อินพีเดนซ์ด้าน Input จะต้องให้มีค่าสูงที่สุดเท่าที่จะทำได้ ซึ่งโดยทั่วไปไม่ควร ต่ำกว่า $10\text{ M}\Omega$

2.17.2 วงจรทางด้าน Input ของวงจรขยายสัญญาณควรมีการป้องกันไฟฟ้าเมื่อจากที่ ข้อต่อของวงจรขยายจะต่อเข้ากับคิวหนังของร่างกาย ซึ่งมีโอกาสที่จะเกิดกระแสไฟฟ้าจากวงจรขยาย อาจไหลกลับลับเข้ามาในร่างกายได้ และอาจส่งผลให้เกิดภาวะ Microshock หรือ Macroshock กับผู้ที่รับการตรวจวัดได้ โดยทั่วไปในส่วนของวงจรด้าน Input ของวงจรขยาย คลื่นสัญญาณไฟฟ้าหัวใจ จะต้องแยกทางไฟฟ้าเก็บส่วนที่จะเชื่อมต่อกับร่างกายโดยใช้วงจร Isolate และวงจรป้องกันอื่นๆ

2.17.3 มี Gain ขยายสัญญาณสูง โดยทั่วไปวงจรขยายคลื่นสัญญาณไฟฟ้าหัวใจมี Gain ขยายไม่ต่ำกว่า 1000 เท่า

2.17.4 อินพีเดนซ์ด้าน Output ต่ำ

2.17.5 กระแส Bias ทางด้าน Input ต่ำ

2.17.6 สัญญาณรบกวนต่ำ

2.18 ผลกระทบ กราเวน์สูป

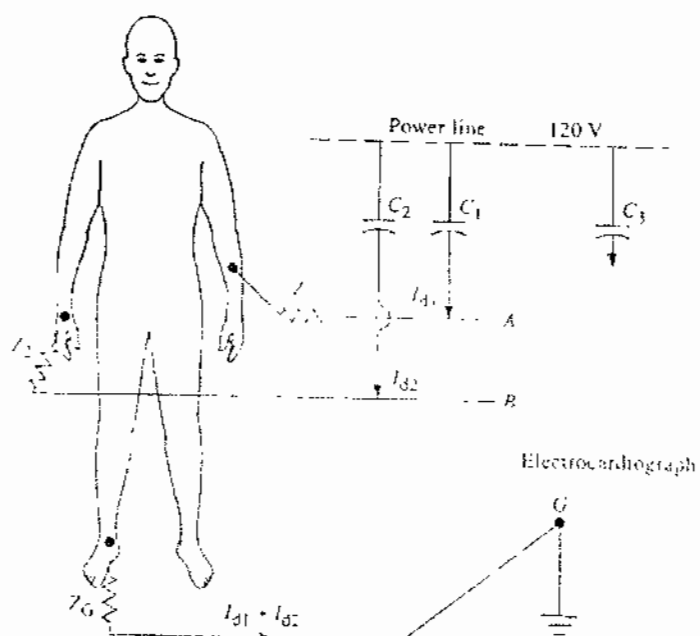
สภาวะของการเกิดกราเวน์สูป เกิดจากการมีศักย์ไฟฟ้าเกิดขึ้นในสายกราเวน์ ซึ่งอาจจะเกิดขึ้นกับ สายกราเวน์อุปกรณ์ไฟฟ้าเครื่องใดเครื่องหนึ่ง หรืออาจจะเป็นผลจากกระบวนการไฟฟ้า แล้วทำให้เกิด กระแสไฟฟ้าไหลไปยังสายกราเวน์ของอุปกรณ์ไฟฟ้าเครื่องอื่น ซึ่งเมื่อเกิดสภาวะของกราเวน์สูปกับ เครื่องมือตรวจวัดคลื่นสัญญาณไฟฟ้าหัวใจแล้ว อาจจะทำให้เกิดกระแสในสายกราเวน์ไหลผ่าน ตัวเครื่องและตัวผู้รับการตรวจวัดคลื่นสัญญาณไฟฟ้าหัวใจ และส่งผลให้คลื่นสัญญาณไฟฟ้าหัวใจ เปลี่ยนแปลงไป

2.19 สัญญาณรบกวนจากอุปกรณ์ไฟฟ้า

สัญญาณรบกวนที่สำคัญที่สุดของการตรวจวัดคลื่นสัญญาณไฟฟ้าหัวใจ คือการสัญญาณ รบกวนที่เกิดจากระบบไฟฟ้ากำลัง ซึ่งเดินสายไปทั่วทั้งอาคารและอยู่ล้อมรอบเครื่องมือตรวจวัดคลื่น สัญญาณไฟฟ้าหัวใจ โดยสัญญาณรบกวนนี้จะเกิดจากสนามไฟฟ้าและสนามแม่เหล็กจากระบบ ไฟฟ้ากำลัง

2.19.1 ผลกระทบของสนามไฟฟ้า

โดยสนามไฟฟ้าจะ Coupling ระหว่างสายไฟฟ้าและสาย Lead ต่างๆ ของเครื่องมือตรวจวัดคลื่นสัญญาณไฟฟ้าหัวใจ ผลกระทบการเกิดสนามไฟฟ้าบนสายไฟฟ้าและสาย Lead ต่างๆ จะเกิดขึ้นตลอดเวลาแม้แต่ในขณะที่ปิดเครื่อง ซึ่งสมมือนกับมีตัวค่าป่าเซนเตอร์เชื่อมต่อระหว่างสายmen ไฟฟ้ากับสายไฟต่างๆ ตามรูป



ภาพที่ 2-16 แสดงผลกระทบของสนามไฟฟ้าทางสายไฟฟ้าที่ทำให้เกิดสัญญาณรบกวน

กระแสจากไอล์ฟ่า ค่าป่าเซนเตอร์ C_g โดย Coupling ระหว่างสายเมนไฟกับตัวเครื่องจากนี้จะไหลลงกราวน์ ซึ่งจะไม่ทำให้เกิดผลสัญญาณรบกวนเกิดขึ้น ส่วน ค่าป่าเซนเตอร์ C_1 ต่อระหว่างสายmen ไฟกับสาย Lead จะทำให้เกิดกระแส i_{d1} ซึ่งจะไม่ไหลเข้าสู่เครื่องมือตรวจสอบคลื่นสัญญาณไฟฟ้าหัวใจ เนื่องจากอิมพีเดนซ์ด้าน Input ของเครื่องสูง แต่จะไหลผ่านไปยังจุดเชื่อมต่อของ Electrode และผิวหนังที่จุด Z_1 ผ่าน Z_G และไหลไปลงกราวน์ที่เครื่อง ส่วนกระแส i_{d2} ก็เช่นกันจะไหลผ่าน Z_2 ผ่าน Z_G และไหลไปลงกราวน์ที่เครื่อง เนื่องจากอิมพีเดนซ์ของร่างกายมีค่าประมาณ 500Ω ซึ่งมีค่าน้อยมากเมื่อเทียบกับอิมพีเดนซ์ในส่วนอื่นๆ ในนี้จึงไม่นำมาพิจารณา

เมื่อพิจารณาศักย์ไฟฟ้าที่ข้างของ Input A และ B จะได้ว่าศักย์ไฟฟ้าที่เกิดขึ้นบนขั้ว Input คือ v_A, v_B และ

$$v_A, v_B = i_{d1} \cdot Z_1 - i_{d2} \cdot Z_2$$

ทั้งนี้จากผลของ i_{d1} และ i_{d2} ซึ่งคำหน่วยอยู่ใกล้กันจึงประมาณให้มีค่าเท่ากัน ดังนั้นจะได้

$$v_A, v_B = i_{d1} \cdot (Z_1 - Z_2)$$

จากการวัดกระแสในสายเคเบิลที่ยาว 9 เมตร พบร่วมมีกระแสไฟหลอดในสายประมาณ 6 nA. จึงแม้ว่าค่ากระแสที่วัดได้นี้จะขึ้นกับห้องและตำแหน่งของเครื่องมืออื่นๆ รวมทั้งตำแหน่งของสายไฟเม่น ด้วย ส่วนอิมพีเดนซ์ระหว่าง Electrode และผิวนังจะอยู่ในช่วงประมาณ 20 KΩ

ดังนั้นจะได้

$$v_A, v_B = (6nA) \cdot (20 K\Omega) = 120 \mu V$$

ซึ่งศักย์ไฟฟ้าขนาดนี้จะมีผลให้เกิดสัญญาณรบกวนในเครื่องมือตรวจวัดคลื่นสัญญาณไฟฟ้า หัวใจได้ การแก้ไขป้องกันโดยการชีลด์สาย Lead และต่อลงกราวน์ที่ตัวเครื่อง ภาพที่ 2-16 จึงแสดงถึงวงจรสมมิลอนที่กระแสที่ไฟหลอดในสายไฟเม่นผ่านร่างกาย โดยกระแส i_{db} จะไฟล์ผ่านความด้านหาน Z_G ไปลงกราวน์ ผลของศักย์ไฟฟ้าที่ตอกคลื่น ทำให้เกิด Common-Mode Voltage หรือ V_{cm} ที่ปราบภัยทั่วทั้งร่างกาย

2.19.2 ผลกระทบนามเม่เหล็ก

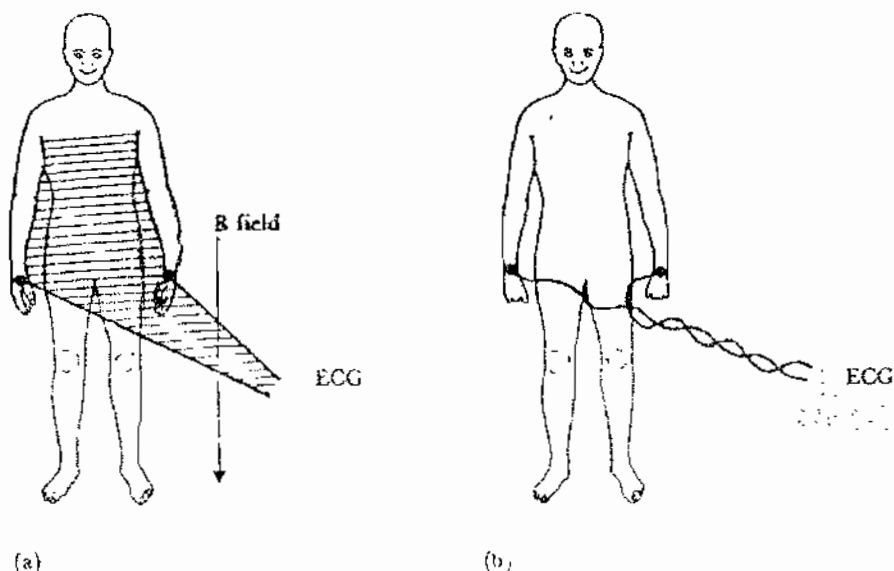
เกิดจากกระบวนการของสายไฟเม่นในรูปของการแม่เหล็กเหน็บนำ โดยกระแสที่ไฟหลอดในสายไฟเม่นจะทำให้เกิดสนามแม่เหล็ก บริเวณใกล้เคียงของสายไฟ หรือสนามแม่เหล็กอาจจะเกิดจาก อุปกรณ์ไฟฟ้าต่างๆ เช่น หม้อแปลงไฟฟ้า, บลัตเตอร์ และหลอดไฟฟ้าอุตสาหกรรม ซึ่งหาก สนามแม่เหล็กเหล่านี้ผ่านสาย Lead ต่างๆ ของเครื่องมือตรวจวัดคลื่นสัญญาณไฟฟ้าหัวใจแล้ว จะเกิดแรงดันไฟฟ้าหนึ่งที่บานขึ้นในรูปของสายไฟนั้น โดยแรงดันไฟฟ้าที่เกิดขึ้นจะเป็นสัดส่วนกับ ความเข้มของสนามแม่เหล็กและสายไฟภายในของเครื่อง การลดสัญญาณรบกวนที่เกิดจาก สนามแม่เหล็กผ่านสามารถทำได้โดยการชีลด์บริเวณที่เกิดสนามแม่เหล็กหรือโดยการลดพื้นที่ร่อง ของขาดลวด โดยการพันม้วนสายไฟหรือสาย Lead เข้าด้วยกัน

2.20 การรบกวนจากแหล่งจ่ายไฟฟ้าอื่นๆ

การรบกวนทางไฟฟ้าจากแหล่งอื่นๆ ที่จะส่งผลกระทบกับเครื่องมือตรวจวัดคลื่นสัญญาณไฟฟ้าหัวใจนอกจากสายเม่นไฟฟ้าแล้ว ยังมีสาเหตุที่เกิดสัญญาณรบกวนในรูป สนามแม่เหล็กไฟฟ้าได้อีก เช่น บริเวณสถานีเครื่องส่งสัญญาณวิทยุ, โทรศัพท์ หรือผลิตภัณฑ์

เรดอาร์ เนื่องจากสาย Lead ซึ่งเป็นสายทองแดงจะมีคุณสมบัติเป็นสายอากาศ ซึ่งจะเป็นตัวรับคลื่นความถี่เหล่านี้เข้ามาในเครื่อง และจะ Demodulate สัญญาณเหล่านี้ให้กลายเป็นสัญญาณรบกวนภายในเครื่องมือตรวจวัดคลื่นสัญญาณไฟฟ้าหัวใจ

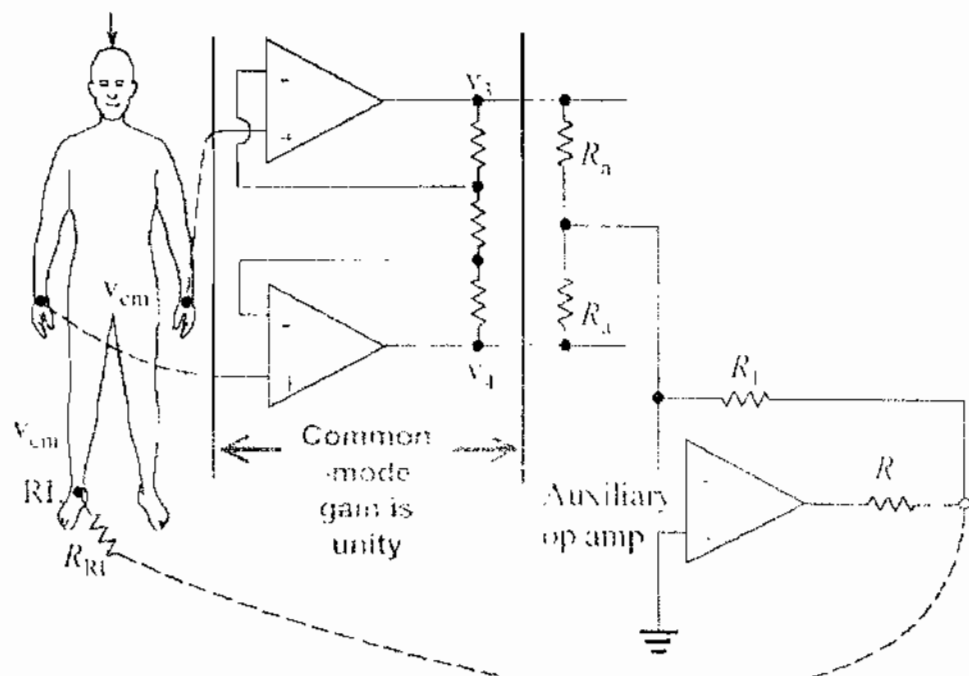
ทั้งนี้การรบกวนในรูปของสนามแม่เหล็กไฟฟ้า อาจมีแหล่งที่มาจากภายในโรงพยาบาลเอง เช่น จากเครื่องจีไฟฟ้าและเครื่อง Diathermy



ภาพที่ 2-17 แสดงผลการรบกวนจากสนามแม่เหล็กและการป้องกัน

2.21 Common-mode และ วงจรลดสัญญาณรบกวน (วงจรขับขาวขาว)

การต่อสาย Lead ต่าง ๆ ในการตรวจวัดคลื่นสัญญาณไฟฟ้าหัวใจนั้น จะไม่มีการต่อสายจาก Lead ใด ๆ จากผู้รับการตรวจไปยังจุดลงกราวน์โดยตรง ทั้งนี้จะใช้การต่อเข้ากับขาขาวของผู้รับการตรวจวัดเอง โดยใช้สายสัญญาณจาก Output ที่มาจาก Op-Amp ต่อเข้ากับตำแหน่งที่ติด Electrode บนขาขาว จากรูป ศักยไฟฟ้าแบบ Common-Mode จะถูกตรวจสอบโดยตัวต้านทาน R_a ทั้ง 2 ตัว จากนั้นจะถูกขยายแบบกลับขั้วและป้อนกลับไปยังขาขาว การป้อนกลับแบบลบนี้จะทำให้ลดค่าของศักยไฟฟ้าแบบ Common-Mode โดยกระแสที่ไหลในตัวของผู้รับการตรวจวัดจะไม่ไหลลงกราวน์แต่จะไหลไปยัง Output ของ Op-Amp แทน ซึ่งสิ่งที่เกิดขึ้นจะทำให้ลดผลที่เกี่ยวข้องกับวงจรขยายและผลกระบวนการที่เกิดจากกระบวนการนี้ ในตัวผู้รับการตรวจวัด



ภาพที่ 2-18 แสดงลักษณะการต่อวงจรข้างๆ กัน

บทที่ 3

ส่วนประกอบของวงจรตรวจวัดคลื่นสัญญาณไฟฟ้าหัวใจ

การตรวจวัดคลื่นสัญญาณไฟฟ้าหัวใจของมนุษย์ที่มีขนาด $5 - 10 \text{ mV}$ ซึ่งเป็นระดับสัญญาณที่มีขนาดเล็กมาก จำเป็นจะต้องได้รับการขยายสัญญาณให้มีขนาดที่เหมาะสม และต้องผ่านการกรองสัญญาณรบกวนที่เกิดจากสภาวะและสภาพแวดล้อมต่าง ๆ ในขณะตรวจวัด เพื่อให้ได้รูปคลื่นสัญญาณไฟฟ้าหัวใจ ที่ถูกต้อง ปราศจากสัญญาณรบกวนต่าง ๆ สำหรับให้แพทย์ทำการตรวจและวินิจฉัย โดยวงจรตรวจวัดคลื่นสัญญาณไฟฟ้าหัวใจ ของวิทยานิพนธ์นี้ จะมีส่วนประกอบดังนี้

1. ภาควงจรขยายแบบ Instrumentation Amplifier
2. ภาคการประมวลผลสัญญาณดิจิตอล

3.1 ภาควงจรขยายแบบ Instrumentation Amplifier

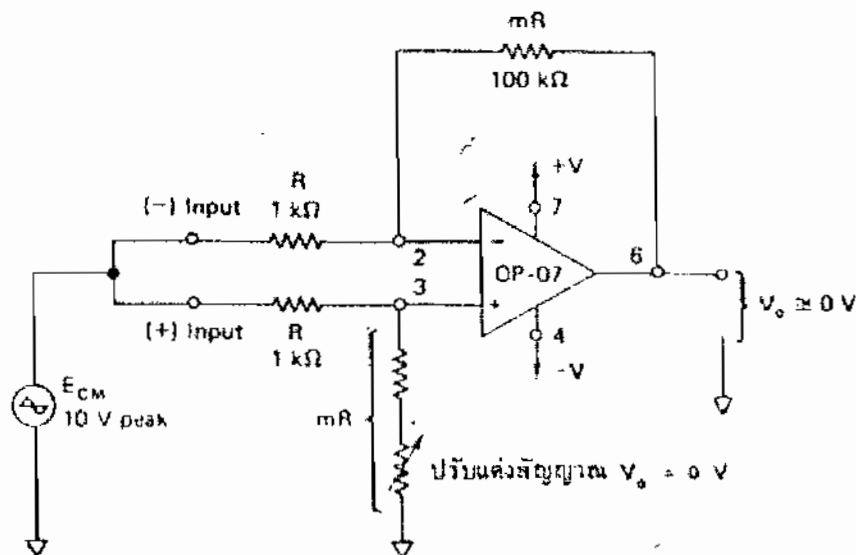
วงจร Instrumentation Amplifier เกิดจากการประกอบวงจรขยายสัญญาณ 2 ชนิดเข้าด้วยกันคือ วงจรขยายสัญญาณแบบ Differential amplifier และวงจร buffer ซึ่งในทางปฏิบัติการใช้งานวงจร Instrumentation Amplifier นั้นอาจสร้างโดยการประกอบจาก IC OP-AMP จำนวน 3 ตัว โดย 2 ตัวแรกจะประกอบเป็นวงจร Buffer เพื่อเพิ่มความต้านทานด้าน Input ให้สูงขึ้น และ IC OP-AMP ที่เหลืออีก 1 ตัว ประกอบเป็นวงจรขยายสัญญาณแบบ Differential Amplifier ซึ่งก็จะໄດ້เป็นวงจร Instrumentation Amplifier ไปใช้งานได้ หรืออาจจะสร้างจาก IC OP-AMP ที่มีโครงสร้างแบบ Monolithic ที่เป็นวงจร Instrumentation Amplifier โดยใช้ IC เพียง 1 ตัว

3.1.1 ลักษณะของวงจรขยายสัญญาณแบบ Differential

วงจรขยายสัญญาณแบบ Differential คือวงจรขยายสัญญาณความแตกต่าง ที่เกิดขึ้นบนขั้วสัญญาณ Input ทั้ง 2 ข้างของวงจรขยายสัญญาณความแตกต่าง ถ้าหากวงจรขยายสัญญาณความแตกต่างประกอบจาก IC OP-AMP แล้วสัญญาณ Input ก็คือ สัญญาณที่ปรากฏบนขั้ว Inverting และ Noninverting นั้นเอง ซึ่งในทางทฤษฎี แล้ววงจรขยายสัญญาณแบบ Differential จะขยายเฉพาะสัญญาณบนขั้ว Input ทั้ง 2 ข้างที่มีระดับแรงดันไฟฟ้าแตกต่างกันเพ่านั้น โดยอาจจะมีระดับแรงดันไฟฟ้าที่แตกต่างกันมากกว่า 10 mV ที่สามารถขยายสัญญาณที่แตกต่างกันนี้ออกมานะ

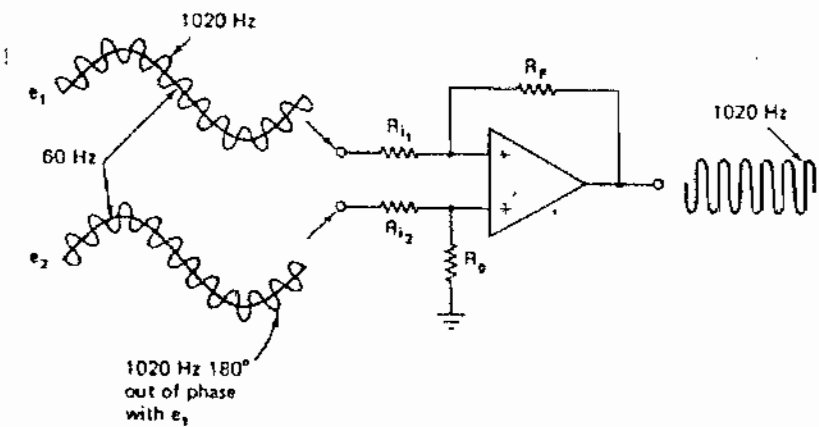
ได้ และถ้าหากแรงดันไฟฟ้าที่ขั้ว Input ทั้ง 2 ขา ไม่แตกต่างหรือเท่ากันแล้ว วงจรนี้จะไม่มีการขยายสัญญาณใด ๆ เกิดขึ้น ซึ่งก็หมายถึงสัญญาณที่ Output ในช่วงดังกล่าวจะต้องเท่ากับศูนย์

จากภาพที่ 3-1 แสดงให้เห็นถึงการวัดแรงดันทาง Output ขณะที่ทางด้าน Input มีการต่อแรงดันไฟฟ้าจากจุดเดียวกันซึ่งเป็นการทดสอบในลักษณะของแรงดัน Common Mode



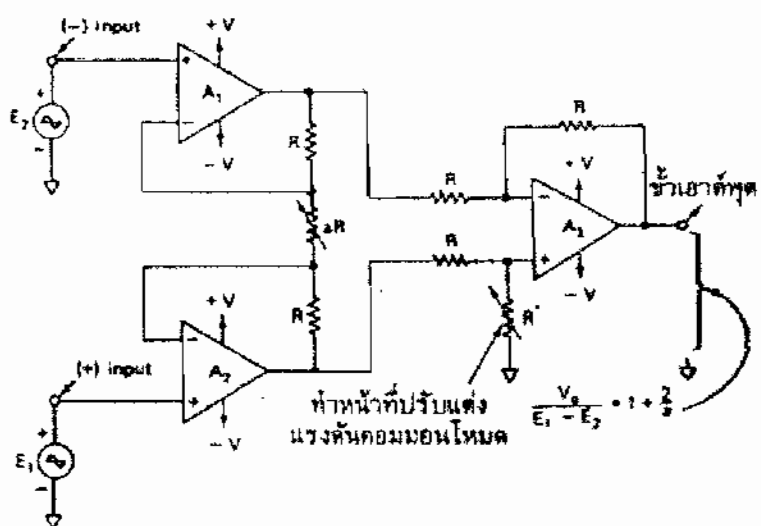
ภาพที่ 3-1 การวัดแรงดันทาง Output ในขณะที่ต่อ Input ร่วมกัน

ลักษณะของการใช้งานวงจรขยายสัญญาณแบบ Differential ในสภาวะที่มีแรงดัน Common Mode แสดงดังภาพที่ 2-20 ซึ่งแสดงให้เห็นถึงสัญญาณทางด้าน Input ที่มีแรงดันไฟฟ้าความถี่ 1020 Hz ปนมากับแรงดันไฟฟ้าความถี่ 60 Hz ที่ขา Input ขั้วลบของ IC OP-AMP ในขณะที่ขั้วบวกของ OP-AMP จะมีแรงดันไฟฟ้าความถี่ 1020 Hz เข้าเดียวกับขั้วลบแต่มีเฟสที่ตรงกันข้ามกัน ปนมากับ แรงดันไฟฟ้าความถี่ 60 Hz ซึ่งผลที่เกิดขึ้นคือ แรงดันไฟฟ้าความถี่ 60 Hz ที่ปรากฏบนขั้วบวกและลบ มีความถี่และเฟสเดียวกัน หรือไม่เกิดความแตกต่างกันบนขั้ว Input ทั้ง 2 จึงไม่เกิดการขยายสัญญาณนี้ขึ้น ส่วนสัญญาณแรงดันไฟฟ้าความถี่ 1020 Hz บนขั้ว Input ทั้ง 2 มีความถี่เดียวกันแต่มีความแตกต่างที่เฟสของคลื่น ซึ่งก็ทำให้เกิดระดับแรงดันไฟฟ้าที่ต่างกันขึ้นบนขั้ว Input สัญญาณนี้จึงถูกขยายขึ้น



ภาพที่ 3-2 แสดงการทำงานของวงจร Differential

แต่เนื่องจากลักษณะของวงจรขยายสัญญาณแบบ Differential นี้ ยังมีปัญหารื่องความต้านทานทางด้าน Input ที่ถึงค่า การเพิ่มความต้านทานทางด้าน Input ของวงจรให้สูงขึ้นโดยการต่อวงจร Buffer ที่ขั้ว Input ทั้ง 2 ข้างของ OP-AMP ซึ่งจะได้เป็นวงจร Instrumentation Amplifier ตามภาพที่ 3-3



ภาพที่ 3-3 วงจร Instrumentation Amplifier

3.1.2 คุณสมบัติที่สำคัญของ IC OP-AMP

3.1.2.1 กระแส Input Bias คือกระแสที่ไหลผ่านขั้ว Input ทั้ง 2 ของ OP-AMP โดย กระแสส่วนนี้จะก่อให้เกิดความไม่สมดุลในวงจรภายใน ซึ่งจะส่งผลกระทบต่อ Output ด้วย

3.1.2.1 กระแส Input Offset คือ จำนวนกระแสไฟฟ้าที่จำเพาะให้ทางด้านขั้ว Input ขั้วหนึ่ง เพื่อจะให้แรงดันที่ Output เป็นศูนย์

3.1.2.3 แรงดัน Offset ที่ Output คือ แรงดันทางด้าน Output ที่เป็นผลเกิดจาก กระแส Bias ทางด้าน Input ภายในตัว OP-AMP

3.1.2.4 แรงดัน Offset ที่ Input คือ ค่าแรงดันที่ต้องป้อนทางด้าน Input เพื่อให้ แรงดันทางด้าน Output เป็นศูนย์

3.1.2.5 อัตราการลดสัญญาณแบบ Common Mode คือ คุณสมบัติในการกำจัด สัญญาณรบกวน ที่เข้ามาทางด้านขั้ว Input ทั้ง 2 ที่มีขนาดและเฟสเดียวกัน

3.1.2.6 อัตราการสกู่ คือ อัตราการเปลี่ยนแปลงสูงสุดของแรงดันทางด้าน output เทียบกับเวลา

3.1.3 ลักษณะที่สำคัญของวงจร Instrumentation Amplifier

3.1.3.1 ความต้านทานทางด้าน input สูงมาก

3.1.3.2 ความต้านทานทางด้าน output ต่ำ

3.1.3.3 อัตราการลดสัญญาณแบบ common mode ต้องสูง

3.1.3.4 แรงดัน offset ทั้งทาง input และ output จะต้องน้อยมาก ๆ

3.1.3.5 ระดับแรงดันของสัญญาณรบกวนจะต้องน้อยมาก ๆ

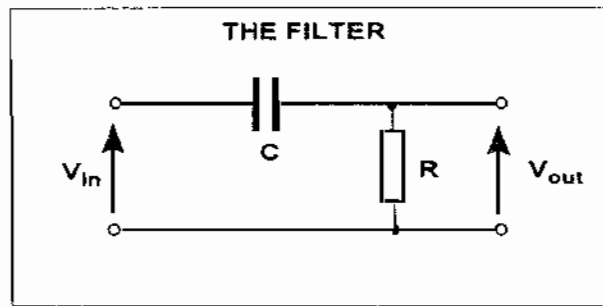
3.1.3.6 อัตราการสกู่ของ OP-AMP ต้องสูง

3.2 ภาคการประมวลผลสัญญาณดิจิตอล

ระบบประมวลผลสัญญาณดิจิตอลปัจจุบันได้ถูกนำมาประยุกต์ใช้งานกันอย่างกว้างขวางทั้งนี้ เนื่องจากการประมวลผลสัญญาณในลักษณะดิจิตอลจะให้ความเที่ยงตรงแม่นยำกว่าการประมวลผล สัญญาณในลักษณะอนาล็อก และนอกจากนี้ การประมวลผลสัญญาณในลักษณะดิจิตอลซึ่งสามารถ นำไปประยุกต์ใช้กับงานที่มีการคำนวณซ้ำๆ ขั้นตอน ได้เป็นอย่างดี ซึ่งในขณะเดียวกันการ ประมวลผลสัญญาณแบบอนาล็อกทำไม่ได้

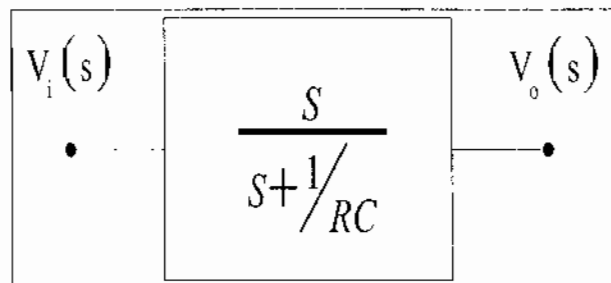
3.2.1 การประมวลผลแบบอนาลอก

ระบบประมวลผลสัญญาณแบบอนาลอกใช้อุปกรณ์ เช่น R, C, Transistor, Opamp เป็นส่วนประกอบ ซึ่งระบบประมวลผลสัญญาณแบบอนาลอกสามารถเพิ่มได้ตามที่ต้องการที่ 3-4. ตัวอย่างของระบบประมวลผลสัญญาณแบบอนาลอกได้แก่ วงจรขยายสัญญาณ (Amplifier) วงจรกรองความถี่แบบอนาลอก (Analog Filter) วงจรควบคุมแบบ P (Proportional Controller) วงจรควบคุมแบบ PI (Proportional-Integral Controller) วงจรควบคุมแบบ PID (Proportional-Integral – Derivative Controller) เป็นต้น



ภาพที่ 3-4 ไดอะแกรมของระบบประมวลผลสัญญาณแบบอนาลอก

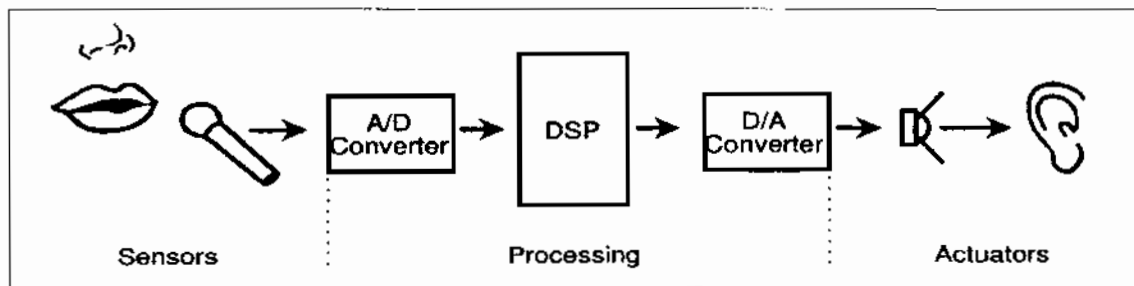
และความสัมพันธ์ระหว่างอินพุตและเอาต์พุตของระบบประมวลผลสัญญาณแบบอนาลอกสามารถเขียนเป็นฟังก์ชันถ่ายโอนในรูป s-domain ดังแสดงดังภาพที่ 3-5



ภาพที่ 3-5 ความสัมพันธ์ระหว่างอินพุตและเอาต์พุตของระบบอนาลอก

3.2.2 ระบบประมวลผลสัญญาณแบบดิจิตอล

ระบบประมวลผลสัญญาณแบบดิจิตอลประกอบด้วยตัวแปลงสัญญาณอนาลอกเป็นสัญญาณดิจิตอล (Analog To Digital Converter A/D) ตัวประมวลผล (Processor) ตัวแปลงสัญญาณดิจิตอลเป็นอนาลอก (Digital To Analog Converter D/A) ซึ่งระบบประมวลผลสัญญาณดิจิตอล มีไกด์แกรมดังภาพที่ 3-6



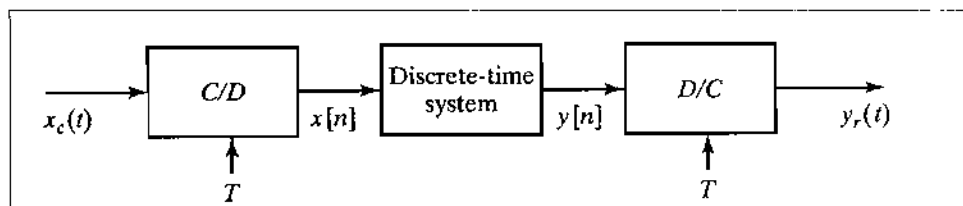
ภาพที่ 3-6 ไกด์แกรมของระบบประมวลผลสัญญาณแบบดิจิตอล

จากภาพที่ 3-6 จะเห็นได้ว่าสัญญาณอนาลอกจะถูกแปลงเป็นสัญญาณดิจิตอลด้วย A/D ซึ่งสัญญาณดิจิตอลจะถูกคำนวณโดยตัวประมวลผล และผลที่ได้จากการประมวลผลจะถูกส่งไปยัง D/A เพื่อแปลงกลับให้เป็นสัญญาณอนาลอก

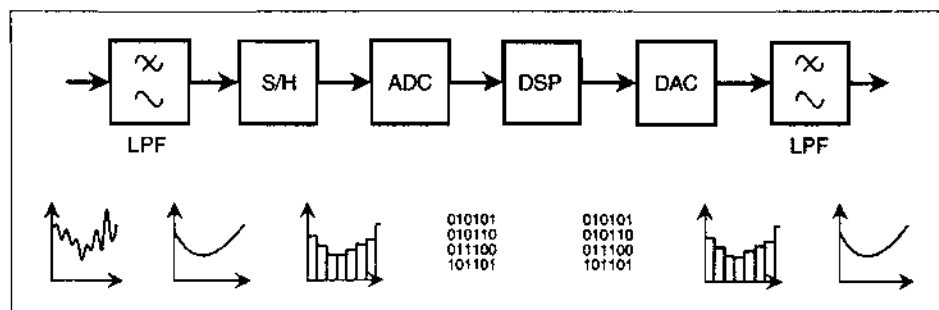
3.2.2.1 Discrete-Time Signals and Systems

โดยทั่วไปสัญญาณไฟฟ้าที่เกิดขึ้นจากตัวตรวจจับ (Sensor) ส่วนใหญ่มักจะเป็นสัญญาณอนาลอก ตัวอย่างเช่นสัญญาณเสียงที่ได้จากไมโครโฟน สัญญาณภาพที่ได้จากการถ่ายรูป แรงดันไฟฟ้าที่ได้จากตัวตรวจจับอุณหภูมิ สัญญาณทางการแพทย์ เช่นสัญญาณคลื่นไฟฟ้าหัวใจ (Electrocardiogram : ECG) สัญญาณไฟฟ้าจากกล้ามเนื้อ (Electromyography : EMG) หรือสัญญาณที่ได้จากการตรวจจับอื่นๆ ซึ่งสัญญาณที่ได้กล่าวมาแล้วนี้เป็นสัญญาโนนาลอกหรือสัญญาณที่มีความต่อเนื่องทางเวลา (Continuous Time Signal) ทั้งสิ้น ดังนั้นถ้าจะทำการวิเคราะห์สัญญาณเหล่านี้ตัวระบบประมวลผลสัญญาณดิจิตอล จำเป็นต้องแปลงสัญญาโนนาลอกหรือสัญญาณที่ต่อเนื่องทางเวลาให้เป็นสัญญาณดิจิตอลหรือสัญญาณที่ไม่ต่อเนื่องทางเวลา (Discrete Time

Signal) โดยใช้วงจรแปลงอนาลอกเป็นดิจิตอล (Analog to Digital Converter) จากนั้นข้อมูลจะถูกส่งเข้าไปยังระบบประมวลผลสัญญาณแบบไม่ต่อเนื่อง (Discrete Time System) เพื่อทำการคำนวณ ผลที่ได้จากการคำนวณก็จะถูกแปลงกลับให้เป็นสัญญาณอนalogหรือสัญญาณที่ต่อเนื่อง โดยวงจรแปลงดิจิตอลเป็นอนาลอกดังแสดงดังภาพที่ 3-7 แต่ในการใช้งานจริงการป้อนสัญญาณที่ต่อเนื่องเข้าไปยังวงจรแปลงอนาลอกเป็นดิจิตอลอาจเกิดข้อผิดพลาดเนื่องจากการสุ่มสัญญาณโดยเฉพาะสัญญาณที่มีความถี่สูงความผิดพลาดนี้เรียกว่าการเกิด Aliasing การแก้ไขสามารถทำได้โดยการต่อ Anti-Aliasing Filter (Low-Pass Filter) เข้าทางด้าน อินพุต และทางด้าน เอาต์พุต ก็ เช่นเดียวกับสัญญาณที่ได้จากการแปลงดิจิตอลเป็นอนาลอกจำเป็นต้องนำเข้าผ่าน Reconstruction Filter (Low-Pass Filter) เพื่อปรับสัญญาณให้เรียบดังแสดงในภาพที่ 3-8



ภาพที่ 3-7 โครงสร้างของระบบประมวลผลสัญญาณดิจิตอล

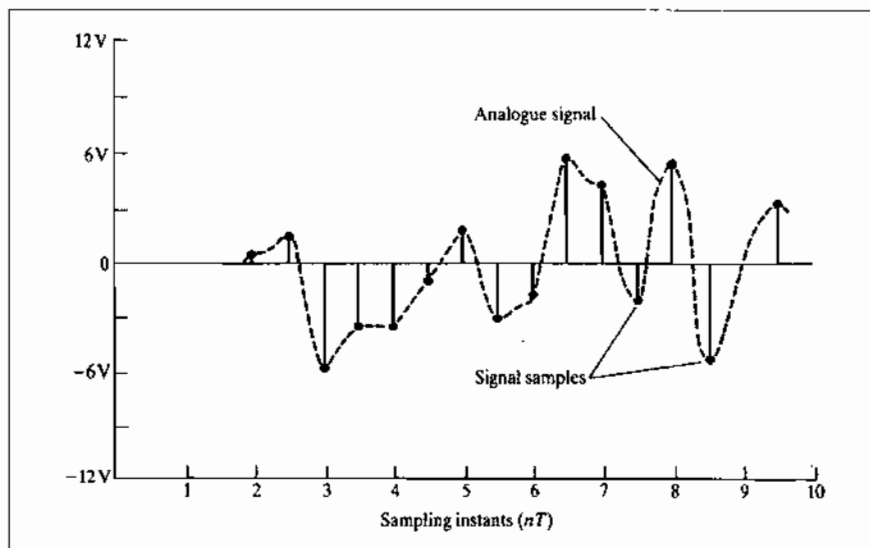


ภาพที่ 3-8 โครงสร้างของระบบประมวลผลสัญญาณดิจิตอลที่สมบูรณ์

3.2.2.2 สัญญาณแบบไม่ต่อเนื่องทางเวลา

ในระบบประมวลผลสัญญาณแบบไม่ต่อเนื่อง สัญญาณที่ใช้ในระบบก็จะเป็นสัญญาณที่ไม่ต่อเนื่องเช่นเดียวกัน ดังที่ได้กล่าวมาแล้วในหัวข้อ 3.4.3 ซึ่งสัญญาณที่ไม่ต่อเนื่องนี้จะมีลักษณะดังภาพที่ 3-9 โดยจะเห็นได้ว่าสัญญาณที่ไม่ต่อเนื่องก็คือสัญญาณค่าหนึ่ง ณ. เวลาหนึ่งบนสัญญาณที่ต่อเนื่องแต่จะมีระยะเวลาห่างที่เท่ากันในแต่ละจุด เรียกว่าระยะเวลาห่างนี้ว่า Sampling time

Sampling Rate หรือ Sampling Periods สัญญาณที่ไม่ต่อเนื่องสามารถเรียกเป็นลำดับสัญญาณ (Sequence Signal) ที่ได้รับและสามารถเขียนแทนได้ด้วยสมการคณิตศาสตร์ได้หลายแบบดังต่อไปนี้



ภาพที่ 3-9 สัญญาณต่อเนื่องและสัญญาณไม่ต่อเนื่อง

- เมื่อนำรูปของฟังก์ชัน (Functional Representation)

$$x(n) = \begin{cases} 1, & n = 1, 3 \\ 4, & n = 2, 4 \\ 0, & n > 4 \end{cases} \quad (3-1)$$

- เมื่อนำรูปการแจกแจง (Tabular Representation)

n	...	-2	-1	0	1	2	3	4	...
$x(n)$...	0	0	0	1	4	1	0	

- เมื่อนำรูปลำดับ (Sequence Representation)

$$x(n) = \{ \dots, 0, 0, 1, 4, 1, 0, 0, \dots \} \quad (3-2)$$

$$x(n) = \{ 0, 1, 4, 1, 0, 0, \dots \} \quad (3-3)$$

$$x(n) = \{ 3, -1, -2, 5, 0, 4, -1 \} \quad (3-4)$$

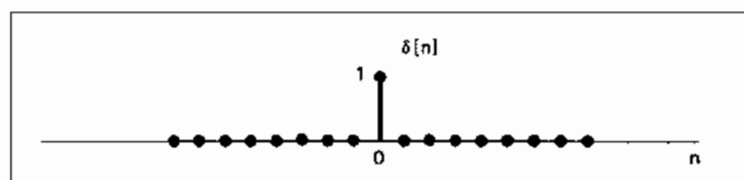
$$x(n) = \{ 0, 1, 4, 1 \} \quad (3-5)$$

สมการที่ 3-2 และ 3-3 เป็นลำดับแบบไม่มีจุดจบ (Infinite Duration Signal or Sequence) ส่วนสมการที่ 3-4 และ 3-5 เป็นลำดับแบบมีจุดจบ (Finite-Duration Signal or Sequence)

3.2.2.2.1 Unit Sample Sequence

มีนิยามดังสมการที่ 3-6 และมีรูปสัญญาณดังภาพที่ 3-10

$$\delta(n) = \begin{cases} 0, & n \neq 0 \\ 1, & n = 0 \end{cases} \quad (3-6)$$

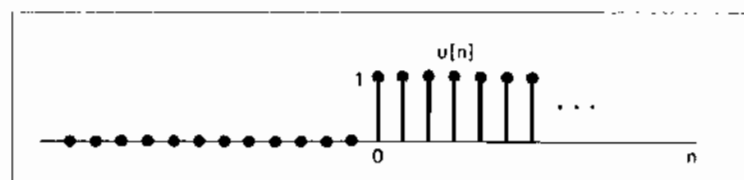


ภาพที่ 3-10 Unit Sample Sequence

3.2.2.2.2 Unit Step Sequence

มีนิยามดังสมการที่ 3-7 และมีรูปสัญญาณดังภาพที่ 3-11

$$u(n) = \begin{cases} 0, & n < 0 \\ 1, & n \geq 0 \end{cases} \quad (3-7)$$

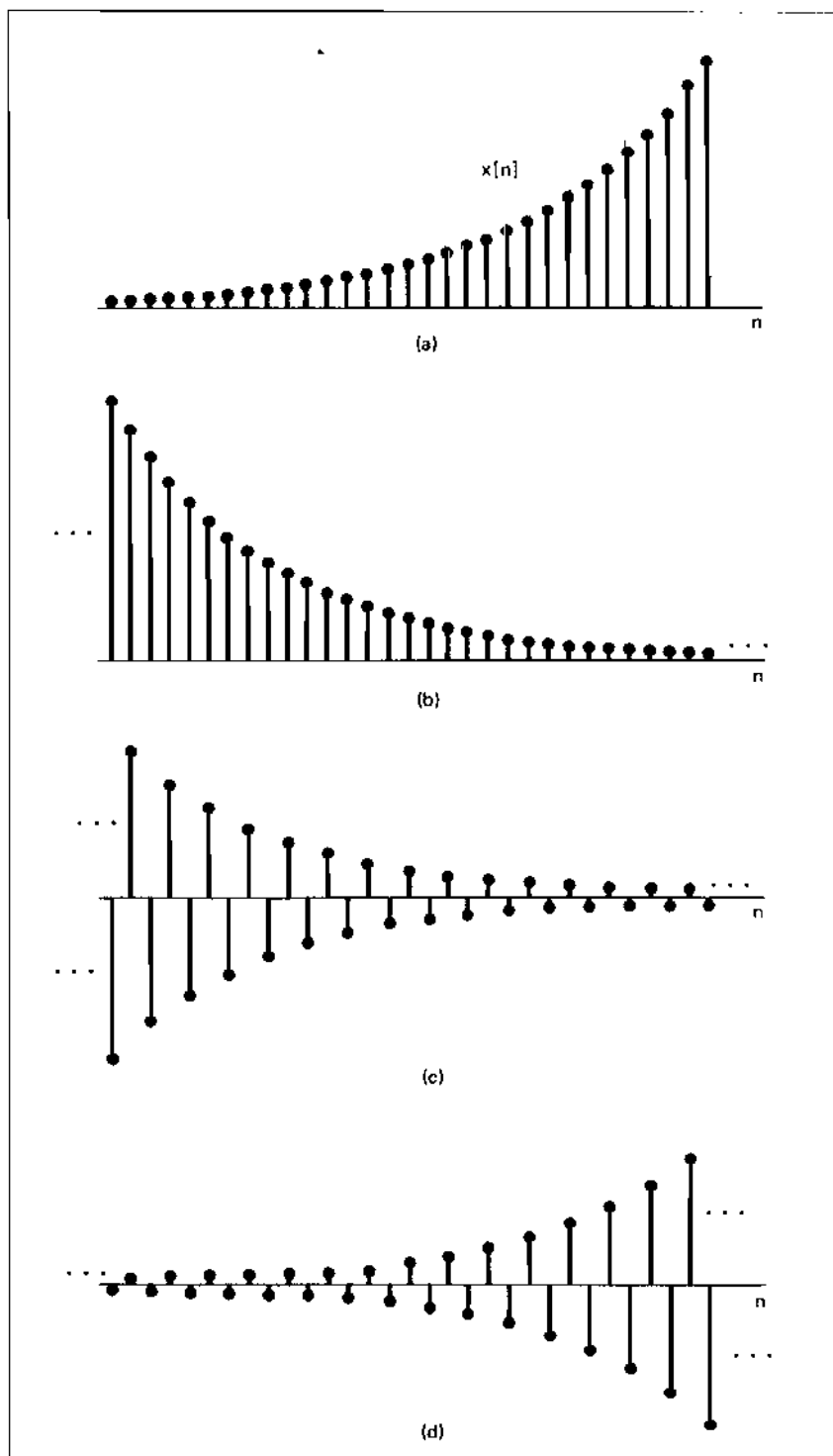


ภาพที่ 3-11 Unit Step Sequence

3.2.2.2.3 Exponential Sequences

มีนิยามดังสมการที่ 3-8 และมีรูปสัญญาณดังภาพที่ 3-12

$$x(n) = \alpha^n \quad (3-8)$$

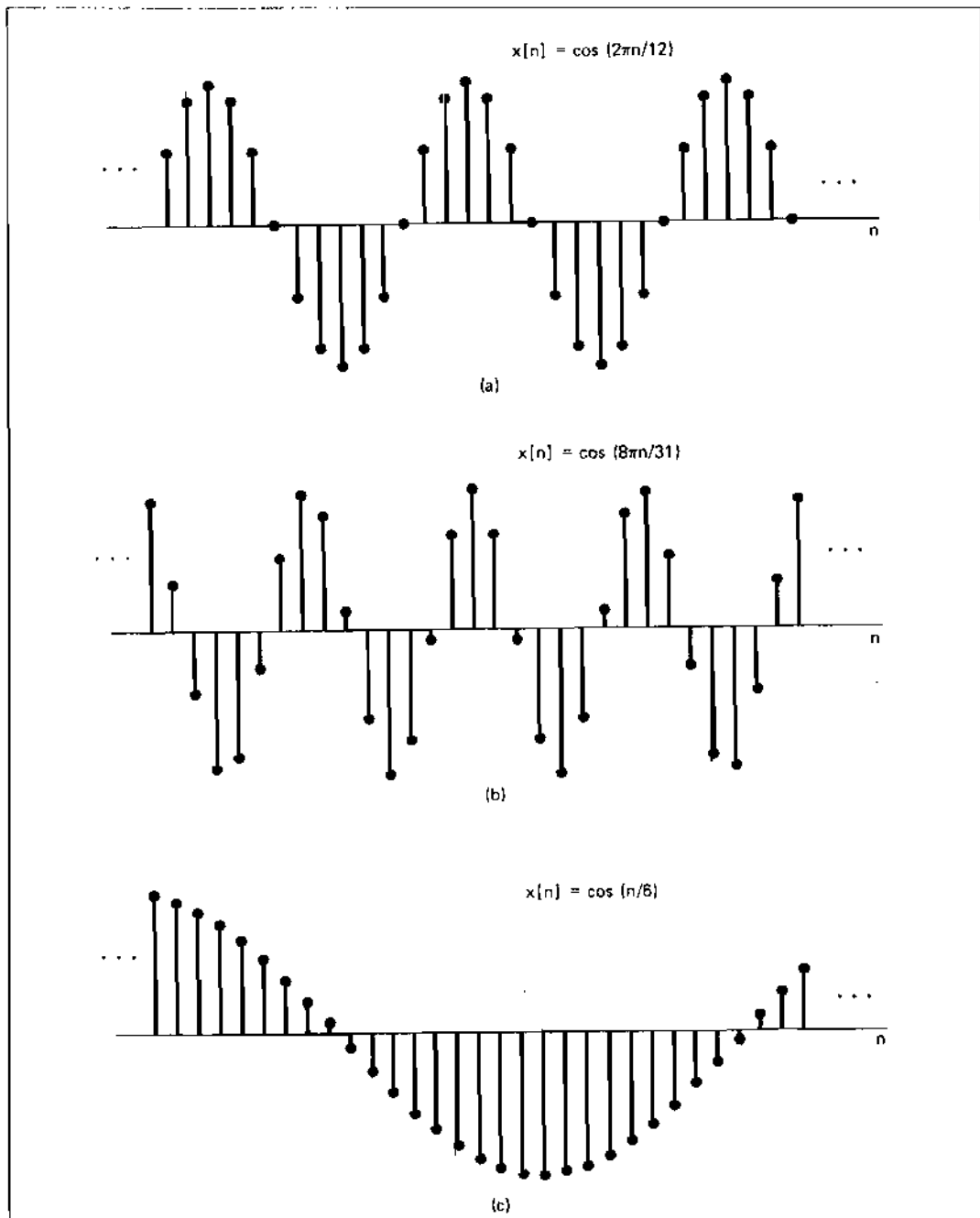


ภาพที่ 3-12 Exponential Sequences $x(n) = A\alpha^n$ (a) $\alpha > 1$; (b) $0 < \alpha < 1$;
 (c) $-1 < \alpha < 0$; (d) $\alpha < -1$

3.2.2.2.4 Sinusoidal Sequences

มีนิยามดังสมการที่ 3-9 และมีรูปสัญญาณดังภาพที่ 3-13

$$x(n) = A \cos(\omega_0 n + \phi) \quad (3.9)$$



ภาพที่ 3-13 Sinusoidal Sequences

3.2.2.2.5 ลักษณะเฉพาะของสัญญาณแบบไม่ต่อเนื่องทางเวลา

Energy Signal and Power Signals

Energy ของสัญญาณไม่ต่อเนื่อง $x(n)$ สามารถหาได้จากสมการที่ 3-10

$$E = \sum_{n=-\infty}^{\infty} |x(n)|^2 \quad (3-10)$$

และ Power ของสัญญาณไม่ต่อเนื่อง $x(n)$ สามารถหาได้จากสมการที่ 3-11

$$P = \lim_{N \rightarrow \infty} \frac{1}{2N+1} \sum_{n=-N}^N |x(n)|^2 \quad (3-11)$$

จากสมการที่ 3.5 กำหนดให้ n อยู่ในช่วง $-N$ ถึง N ดังสมการที่ 3-12

$$E_N = \sum_{n=-N}^N |x(n)|^2 \quad (3-12)$$

แทนค่าลงใน E สมการที่ 3-12 ลงในสมการที่ 3-6 จะได้ Power ดังสมการที่ 3-13

$$P = \lim_{N \rightarrow \infty} \frac{1}{2N+1} E_N \quad (3-13)$$

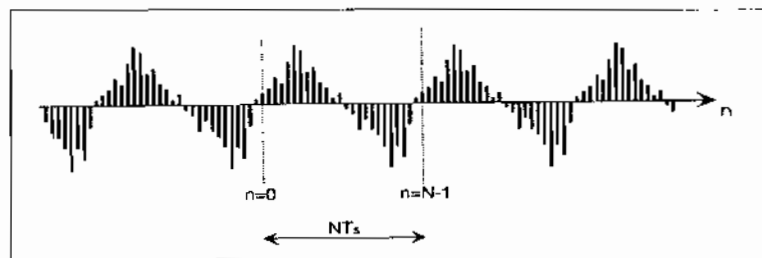
Periodic Signals and Aperiodic Signals

Periodic Signals Sequence เป็นสัญญาณที่มีความซ้ำ มีนิยามดังสมการที่ 3.14

$$x(n+N) = x(n) \quad (3-14)$$

เมื่อ N คือ Fundamental Period

และสำหรับไม่เป็นดังสมการที่ 3.14 จะเป็นลำดับแบบ Aperiodic ซึ่งภาพที่ 3-14 แสดง Periodic Signal Sequence

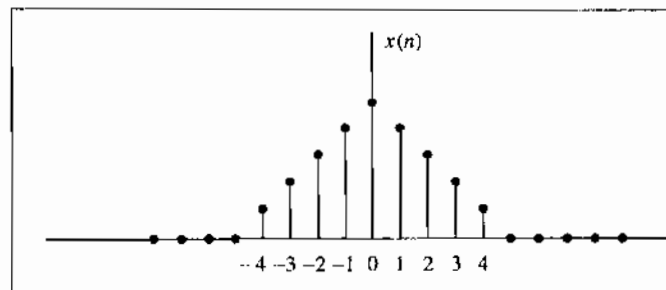


ภาพที่ 3-14 Periodic Signals Sequence

Symmetric (even) and Antisymmetric (odd) Signals

สำหรับสัญญาณที่สมมาตรกัน (Symmetric) มีนิยามดังสมการที่ 3.15 มีรูปสัญญาณดังภาพที่ 3-15

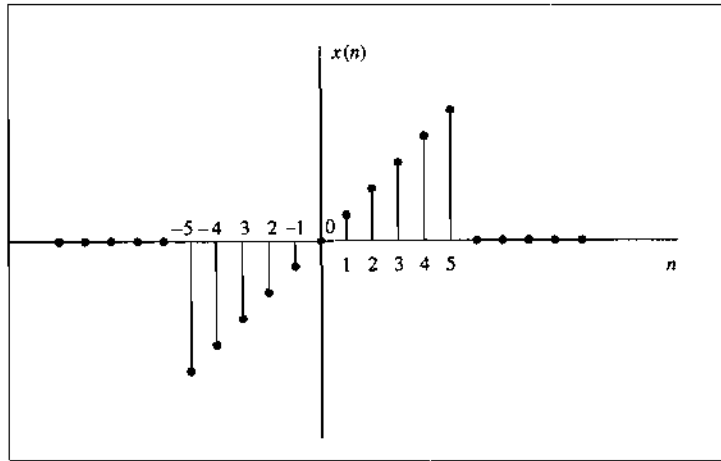
$$x(-n) = x(n) \quad (3-15)$$



ภาพที่ 3-15 Symmetric (Even) Sequence

สำหรับสัญญาณที่ไม่สมมาตรกัน (Antisymmetric) มีนิยามดังสมการที่ 3-16 และมีรูปสัญญาณดังภาพที่ 3-16

$$x(-n) = -x(n) \quad (3-16)$$



ภาพที่ 3-16 Antisymmetric (Odd) Sequence

3.2.2.2.6 การกระทำของสัญญาณแบบไม่ต่อเนื่อง (Simple Manipulations of Discrete-Time Signals)

การเลื่อนสัญญาณ

อาจเรียกว่าการหน่วงสัญญาณก็ได้เช่นเป็นสมการ ได้ดังสมการที่ 3.17

$$y(n) = x(n-k) \quad (3-17)$$

เมื่อ k เป็น จำนวนเต็ม (Integer)

การบวก, การคูณและการสเกลสัญญาณแบบไม่ต่อเนื่อง (Adding, Multiplication, and Scaling of Discrete Time Signal)

การบวกสัญญาณ 2 สัญญาณ หรือ k สัญญาณเข้าด้วยกัน ได้ดังสมการที่ 3-18 และสมการที่ 3-19

$$y(n) = x_1(n) + x_2(n) \quad -\infty < n < \infty \quad (3-18)$$

$$y(n) = x_1(n) + x_2(n) + \dots + x_k(n) \quad -\infty < n < \infty \quad (3-19)$$

การคูณสัญญาณ 2 สัญญาณ หรือ k สัญญาณเข้าด้วยกันดังสมการที่ 3-20 และสมการที่ 3-21

$$y(n) = x_1(n)x_2(n) \quad -\infty < n < \infty \quad (3-20)$$

$$y(n) = x_1(n)x_2(n)\dots x_k(n) \quad -\infty < n < \infty \quad (3-21)$$

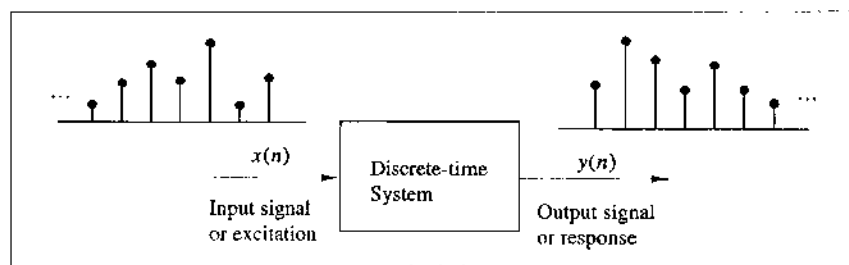
การสเกลสัญญาณเป็นการปรับขนาดสัญญาณกระทำได้การคูณสัญญาณเข้ากับค่าคงที่ดังสมการที่ 3.22

$$y(n) = Ax(n) \quad -\infty < n < \infty \quad (3-22)$$

เมื่อ A เป็นค่าคงที่

3.2.2.7 ระบบแบบไม่ต่อเนื่อง (Discrete Time System)

ระบบแบบไม่ต่อเนื่องมีโดยแกรมดังภาพที่ 3-17



ภาพที่ 3-17 โดยแกรมของระบบแบบไม่ต่อเนื่อง

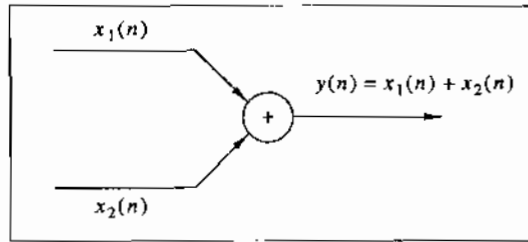
เมื่อ $x(n)$ เป็น อินพุต Signal หรือ Excitation ของระบบแบบไม่ต่อเนื่อง $y(n)$ เป็น Output Signal หรือ Response ของระบบแบบไม่ต่อเนื่อง จากภาพที่ 2.16 สามารถเขียนความสัมพันธ์ระหว่างอินพุตกับเอาต์พุตได้ดังสมการที่ 3.23

$$y(n) \equiv \tau[x(n)] \quad (3-23)$$

เมื่อ τ คือตัวกระทำ (Operator)

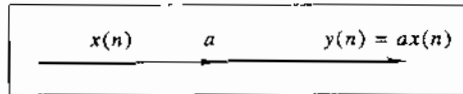
3.2.2.8 โดยแกรมที่ใช้แสดงในระบบไม่ต่อเนื่อง (Block Diagram Representation of Discrete-Time Systems)

ในระบบแบบไม่ต่อเนื่องสามารถแทนได้ด้วยโดยแกรมดังต่อไปนี้ ตัวบวก (Adder) ใช้สำหรับบวกสัญญาณเข้าคู่กันดังภาพที่ 3-18



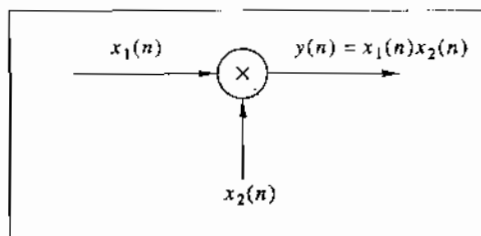
ภาพที่ 3-18 ไอดีอะแกรมการบวกในระบบแบบไม่ต่อเนื่อง

ตัวคูณคงที่ (Constant Multiplier) ใช้คูณค่าคงที่กับสัญญาณดังภาพที่ 3-19



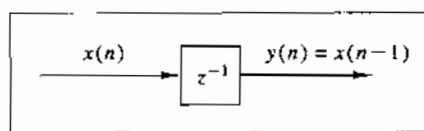
ภาพที่ 3-19 ไอดีอะแกรมตัวคูณคงที่ในระบบแบบไม่ต่อเนื่อง

ตัวคูณสัญญาณ (Signal Multiplier) ใช้สำหรับคูณสัญญาณเข้าด้วยกันดังภาพที่ 3-20



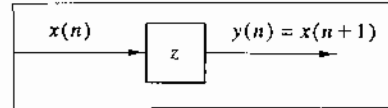
ภาพที่ 3-20 ไอดีอะแกรมตัวคูณสัญญาณในระบบแบบไม่ต่อเนื่อง

ตัวหน่วง (Delay Element) ใช้สำหรับหน่วงสัญญาณดังภาพที่ 3-21



ภาพที่ 3-21 ไอดีอะแกรมตัวหน่วงในระบบไม่ต่อเนื่อง

ตัวล้ำหน้า (Advance Element) ใช้สำหรับกำหนดค่าล่วงหน้าให้กับระบบดังภาพที่ 3-22



ภาพที่ 3-22 ไดอะแกรมตัวลำห้าในระบบไม่ต่อเนื่อง

3.2.2.2.9 ชนิดของระบบแบบไม่ต่อเนื่อง

ระบบแบบ Static

เป็นระบบที่ไม่มีหน่วงความจำมีสมการของระบบดังสมการที่ 3-24 และสมการที่ 3-25

$$y(n) = ax(n) \quad (3-24)$$

$$y(n) = nx(n) + bx^3(n) \quad (3-25)$$

ระบบแบบ Dynamic

เป็นระบบที่มีหน่วงความจำนั้นหมายถึงเป็นระบบที่สามารถบันทึกค่าอินพุตหรืออาต์พุตที่เวลาผ่านไปแล้วได้มีสมการของระบบดังสมการที่ 3-26 ถึง 3-28

$$y(n) = x(n) + 3x(n-1) \quad (3-26)$$

$$y(n) = \sum_{k=0}^n x(n-k) \quad (3-27)$$

$$y(n) = \sum_{k=0}^m x(n-k) \quad (3-28)$$

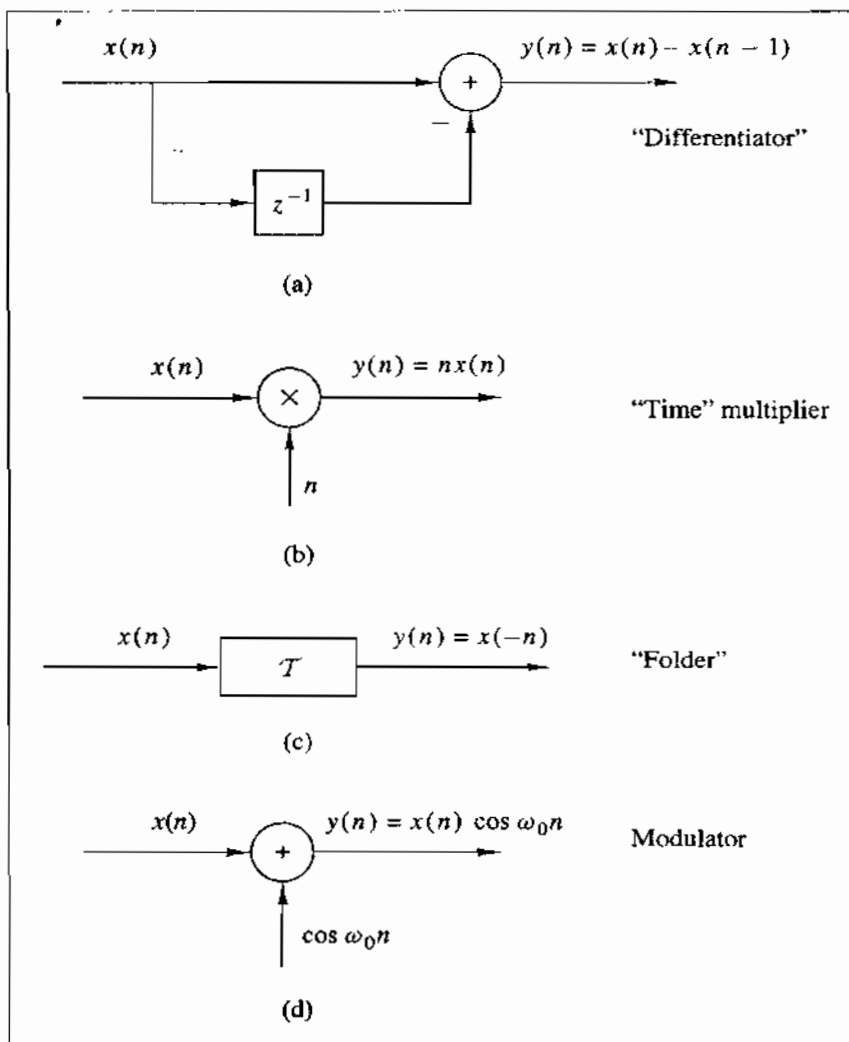
ระบบแบบแปรตามเวลา (Time-Invariant System)

กำหนดให้ τ เป็นระบบไม่ต่อเนื่อง $x(n)$ เป็นอินพุตของระบบ $y(n)$ เป็นอาต์พุตของระบบ ดังสมการที่ 3-29 ถ้ามีการหน่วงอินพุตเป็น $x(n-k)$ ถ้าอาต์พุตที่ได้ถูกหน่วงไปเป็น $y(n-k)$ เช่นเดียวกับ อินพุตดังสมการที่ 3-30 สามารถสรุปได้ว่าระบบไม่ต่อเนื่อง τ เป็นระบบไม่ต่อเนื่องที่แปรตามเวลา

$$x(n) \xrightarrow{\tau} y(n) \quad (3-29)$$

$$x(n-k) \xrightarrow{\tau} y(n-k) \quad (3-30)$$

และระบบที่ อินพุต ถูกหน่วงไป $x(n-k)$ แต่ได้ออตพุตของระบบไม่เท่ากับ $y(n-k)$ ระบบนี้เป็นระบบที่ไม่แปรตามเวลา (Time-Variant System หรือ Time-Varying System) ภาพที่ 3-23 แสดงตัวอย่างระบบไม่ต่อเนื่องที่แปรตามเวลาและไม่แปรตามเวลา



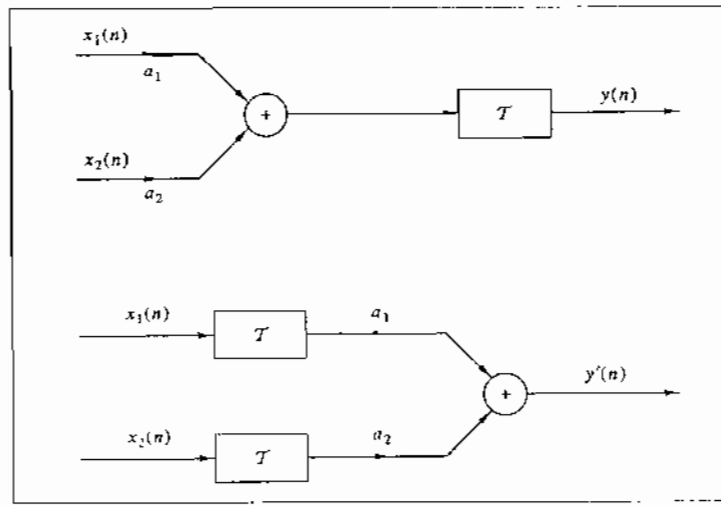
ภาพที่ 3-23 ตัวอย่างระบบไม่ต่อเนื่องที่แปรตามเวลาและไม่แปรตามเวลา

(a) ระบบแปรตามเวลา (b) – (d) ระบบที่ไม่แปรตามเวลา

ระบบแบบเชิงเส้นและไม่เชิงเส้น (Linear and Nonlinear Systems)

ระบบไม่ต่อเนื่องแบบเชิงเส้นจะต้องมีคุณสมบัติสอดคล้องกับหลักการของ Superposition ดังสมการที่ 3-31 หรืออธิบายได้ดังภาพที่ 3-24

$$\tau[a_1x_1(n) + a_2x_2(n)] = a_1\tau[x_1(n)] + a_2\tau[x_2(n)] \quad (3-31)$$



ภาพที่ 3-24 แสดงระบบ T เป็นระบบที่เชิงเส้น

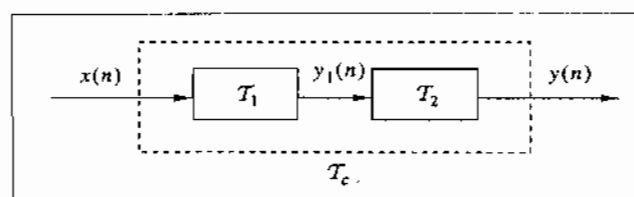
และระบบที่ไม่มีคุณสมบัติสอดคล้องกับหลักการของ Superposition จะเป็นระบบแบบไม่เชิงเส้น

ระบบแบบ Stable และระบบแบบ Unstable

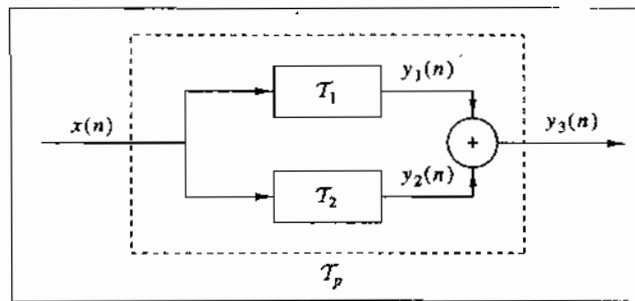
ระบบที่มีอ่าเดพดูขึ้นอยู่กับอินพุตจะเป็นระบบแบบ Stable ส่วนระบบที่มีอ่าเดพไม่ขึ้นกับอินพุตจะเป็นระบบแบบ Unstable

3.2.2.2.10 การเชื่อมต่อระบบไม่ต่อเนื่อง (Interconnection of Discrete-time systems)

กระทำได้ 2 ลักษณะคือ แบบอนุกรม (Cascade) ดังแสดงดังภาพที่ 3-25 และแบบขนาน (parallel) ดังแสดงดังภาพที่ 3-26



ภาพที่ 3-25 การเชื่อมต่อระบบไม่ต่อเนื่องแบบอนุกรม



ภาพที่ 3-26 การเข้ามต่อระบบไม่ต่อเนื่องแบบขานาน

ในการเข้ามต่อระบบดังภาพที่ 3-25 เท่านั้นเป็นสมการได้ดังสมการที่ 3-32 ถึง 3-34

$$y_1(n) = \tau_1[x(n)] \quad (3-32)$$

$$y(n) = \tau_2[y_1(n)] \quad (3-33)$$

แทนสมการที่ 3-32 ลงในสมการที่ 3-33 จะได้สมการ $y(n)$ ดังสมการที่ 3-34

$$y(n) = \tau_2\{\tau_1[x(n)]\} \quad (3-34)$$

กำหนดให้ $\tau_c = \tau_1\tau_2$ จะได้ $y(n)$ ดังสมการที่ 3-35

$$y(n) = \tau_c[x(n)] \quad (3-35)$$

และถ้ามีการสลับที่ระบบ τ_1 กับ τ_2 $y(n)$ จะมีค่าไปสู่บันไดลงไปดังนี้จึงสรุปได้ว่า

$$\tau_1\tau_2 \neq \tau_2\tau_1 \quad (3-36)$$

นอกจากนี้ระบบ τ_1 และระบบ τ_2 เป็นระบบที่แปรตามเวลาที่จะได้ $\tau_1\tau_2$ หรือ τ_c เป็นระบบที่แปรตามเวลาด้วยดังสมการที่ 3-37

$$\begin{aligned} x(n-k) &\xrightarrow{\tau_1} y_1(n-k) \\ y_1(n-k) &\xrightarrow{\tau_2} y(n-k) \\ x(n-k) &\xrightarrow{\tau_c=\tau_2\tau_1} y(n-k) \end{aligned} \quad (3-37)$$

ส่วนการเชื่อมต่อแบบบานานาเขียนเป็นสมการได้ดังสมการที่ 3-38

$$\begin{aligned}
 y_3(n) &= y_1(n) + y_2(n) \\
 &= \tau_1[x(n)] + \tau_2[x(n)] \\
 &= (\tau_1 + \tau_2)[x(n)] \\
 &= \tau_p[x(n)]
 \end{aligned} \tag{3-38}$$

เมื่อ $\tau_p = \tau_1 + \tau_2$

3.2.2.2.11 การวิเคราะห์ระบบไม่ต่อเนื่องแบบเชิงเส้นและเปรียบเท่า

(Analysis of Discrete-Time Linear Time-Invariant)

Resolution of a Discrete-Time Signal into Impulses

สัญญาณแบบไม่ต่อเนื่องโดยสามารถเขียนแทนในรูปของ Impulse ได้เช่นดังภาพที่ 3-27

(b) เขียนเป็นสมการได้ดังสมการที่ 3-39

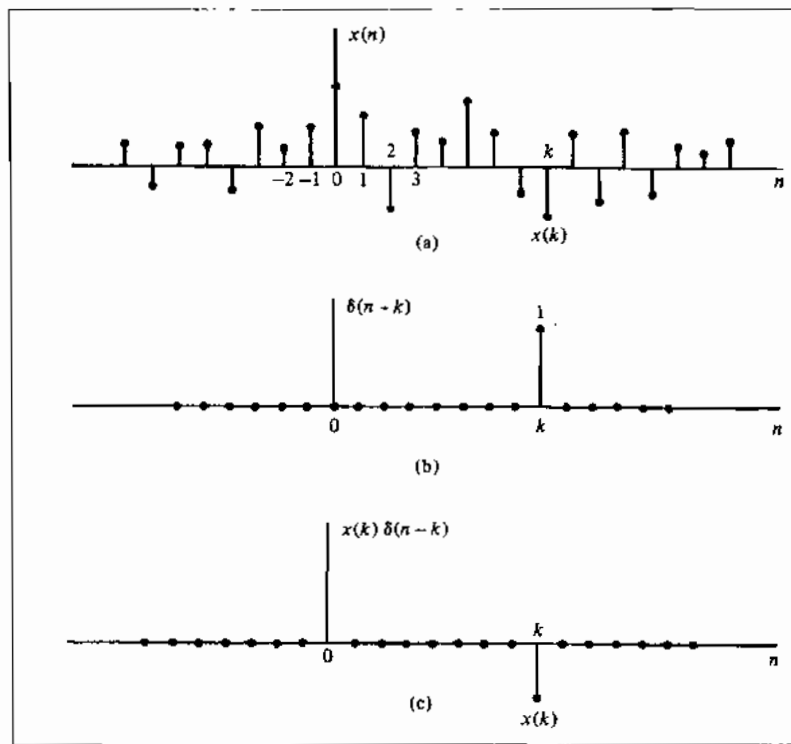
$$x(n) = \delta(n-k) \tag{3-39}$$

และภาพที่ 3-27 (c) เขียนได้ดังสมการที่ 3-40

$$x(n) = x(k)\delta(n-k) \tag{3-40}$$

ดังนั้นภาพที่ 3-27 (a) เปลี่ยนแทนได้ดังสมการที่ 3-41

$$x(n) = \sum_{k=-\infty}^n x(k)\delta(n-k) \tag{3-41}$$



ภาพที่ 3-27 การแทนสัญญาณแบบไม่ต่อเนื่องในรูป Impulse

3.2.2.2.12 Convolution Sum

เป็นการ積分ผลลัพธ์ระหว่างสัญญาณแบบไม่ต่อเนื่อง $x(n)$ กับผลตอบสนองทาง Impulse ของระบบไม่ต่อเนื่อง $h(n)$ เปรียบได้ดังสมการที่ 3-42

$$y(n) = \sum_{k=-\infty}^{\infty} h(k)x(n-k) \quad (3-42)$$

เมื่อ $h(k)$ คือ ผลตอบสนองทาง Impulse ของระบบไม่ต่อเนื่อง

$x(n)$ คือ สัญญาณแบบไม่ต่อเนื่อง

จะเห็นได้สมการสำหรับระบบแบบ Causal การทำ Convolution จะทำตามสมการที่ 3-43

$$y(n) = \sum_{k=0}^n h(k)x(n-k) \quad (3-43)$$

นอกจากนี้สมการ Convolution สามารถเขียนได้อีกแบบหนึ่งดังสมการที่ 3-44

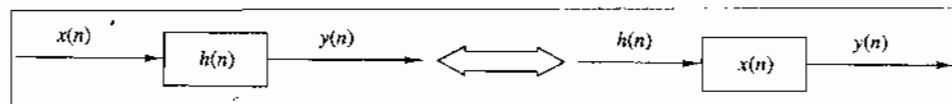
$$y(n) = h(n) * x(n) \quad (3-44)$$

คุณสมบัติของการ Convolution และการเข้ามต่อระบบ

- Commutative law

- $x(n) * h(n) = h(n) * x(n)$ (3-45)

พิยนเป็นไดอะแกรมได้ดังภาพที่ 3-28



ภาพที่ 3-28 คุณสมบัติการสับเปลี่ยน

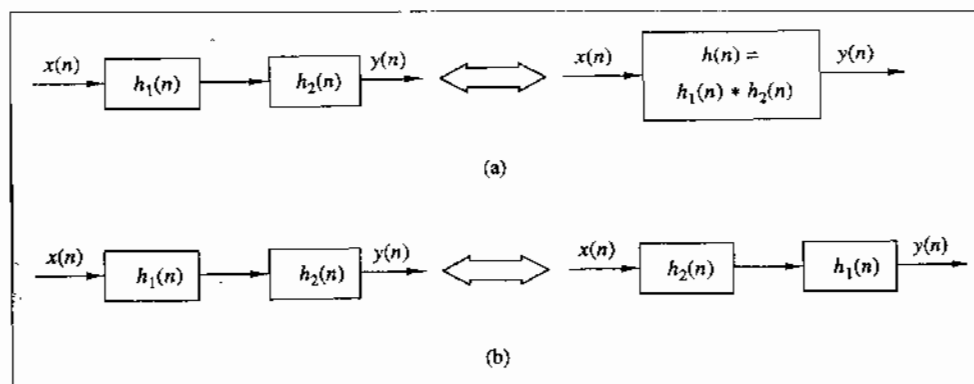
$$y(n) = x(n) * h(n) \quad (3-46)$$

$$y(n) = h(n) * x(n) \quad (3-47)$$

Associative law

- $[x(n) * h_1(n)] * h_2(n) = x(n) * [h_1(n) * h_2(n)]$ (3-48)

พิยนเป็นไดอะแกรมได้ดังภาพที่ 3-29

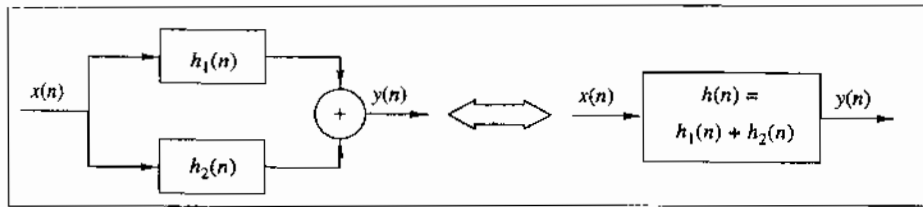


ภาพที่ 3-29 คุณสมบัติการจัดกลุ่ม

Distributive law

$$\bullet \quad x(n) * [h_1(n) + h_2(n)] = x(n) * h_1(n) + x(n) * h_2(n) \quad (3-49)$$

(เขียนเป็น ไดอะแกรม ได้ดังภาพที่ 3-30)



ภาพที่ 3-30 คุณสมบัติการ กระจาย

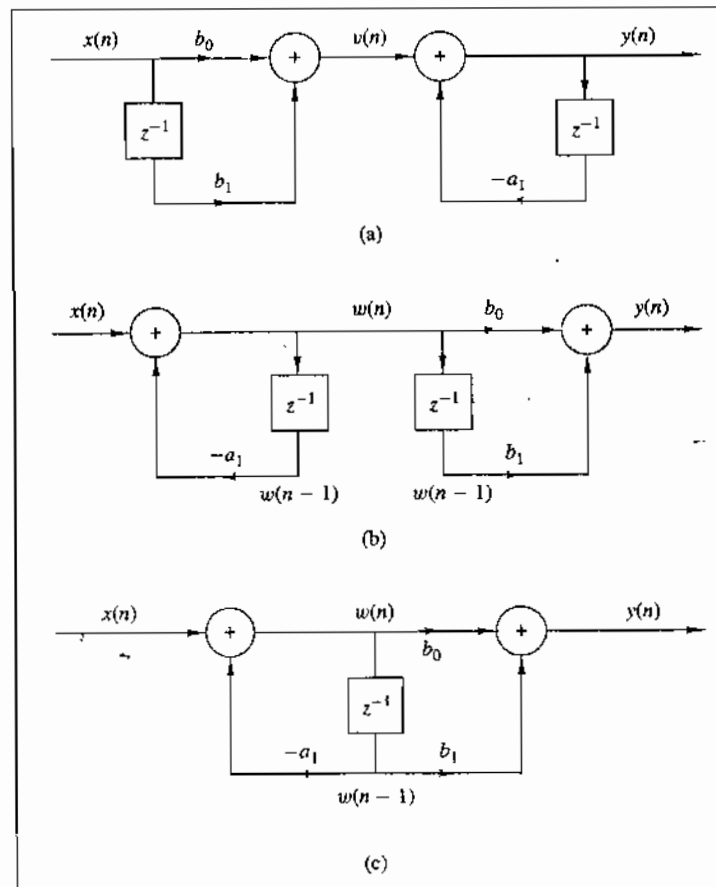
3.2.2.2.13 Implementation of Discrete Time Systems

โครงสร้างของระบบเชิงเส้นที่เปลี่ยนเวลา (Structures for the Realization of Linear Time-Invariant Systems)

ระบบเชิงเส้นที่แปรผันตามเวลาจะมีสมการดังสมการที่ 3-50 และนำໄປเขียนเป็นโครงสร้าง ได้ดังภาพที่ 3-31 (a)

$$\begin{aligned} y(n) &= -a_1 y(n-1) + b_0 x(n) + b_1 x(n-1) \\ v(n) &= b_0 x(n) + b_1 x(n-1) \\ y(n) &= -a_1 y(n-1) + v(n) \end{aligned} \quad (3-50)$$

จากภาพที่ 3-31 (a) พนว่าระบบ ได้แยกออกเป็น 2 ระบบโดย $v(n)$ เป็นจุดเชื่อมต่อ และจาก คุณสมบัติการจัดกลุ่มในหัวข้อ 2.6.2 ทำการสลับที่ระบบในภาพที่ 3-31 (a) ให้เป็นดังภาพที่ 3-31 (b) เมื่อสลับที่แล้วพบว่าระบบทั้ง 2 ระบบสามารถใช้ด้านหน่วยร่วมกันได้ ทำให้เขียนเป็นโครงสร้างใหม่ ได้ดังภาพที่ 3-33 (c) และเขียนเป็นสมการ ได้ดังสมการที่ 3-51



ภาพที่ 3-31 โครงสร้างของระบบเชิงเส้นแบบเวลา

$$w(n) = -a_1 w(n-1) + x(n)$$

$$y(n) = b_0 w(n) + b_1 w(n-1) \quad (3-51)$$

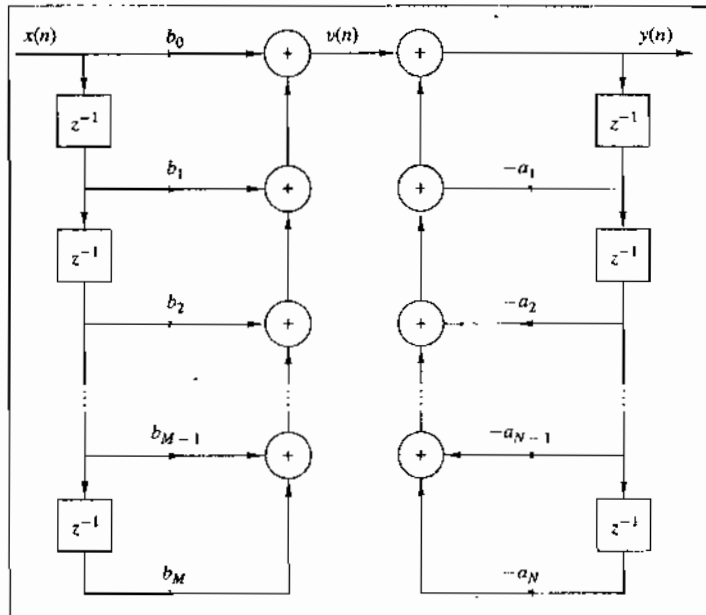
เรียกโครงสร้างที่แสดงดังภาพที่ 3-31 (a) ว่าเป็น โครงสร้างแบบตรง I (Direct form I) ส่วน ภาพ (c) นี้เรียกว่า โครงสร้างแบบตรง II (Direct form II) และอาจเรียกระบบเชิงเส้นที่แปรตามเวลา นี้ว่าระบบแบบ Recursive นอกจากนี้ระบบเชิงเส้นที่แปรตามเวลาสามารถเขียนในรูปสมการ ทั่วไปได้ดังสมการที่ 3-52

$$y(n) = -\sum_{k=1}^N a_k y(n-k) + \sum_{k=0}^M b_k x(n-k) \quad (3-52)$$

กำหนดให้ $v(n) = \sum_{k=0}^M b_k x(n-k)$ แทนค่าลงในสมการที่ 3-52 จะได้ดังสมการที่ 3-53 และนำไป

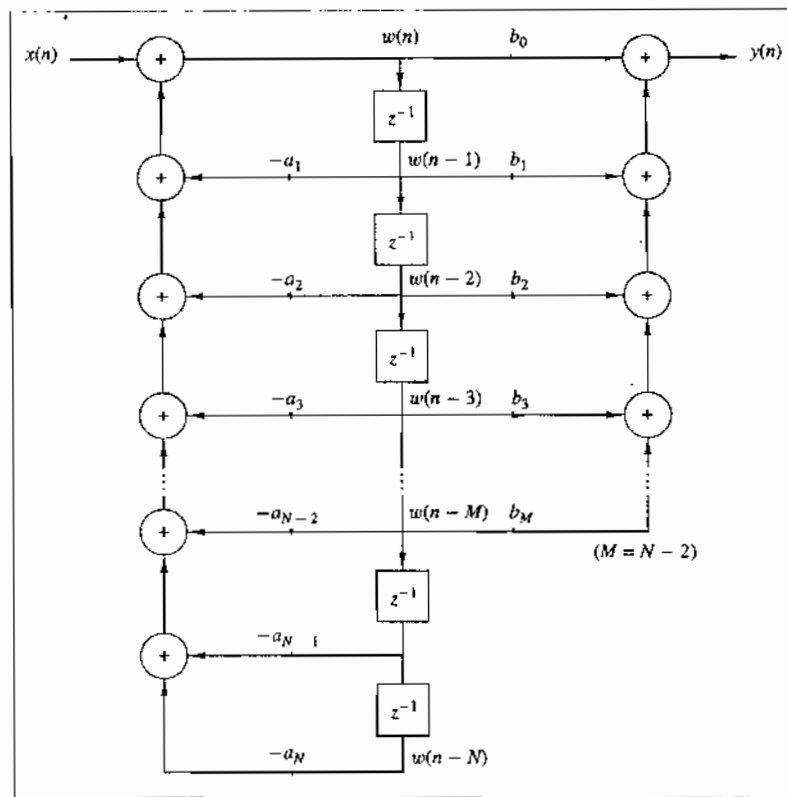
เปลี่ยนโครงสร้างได้ดังภาพที่ 3-32

$$y(n) = -\sum_{k=1}^N a_k y(n-k) + v(n) \quad (3-53)$$



ภาพที่ 3-32 โครงสร้างแบบตรง I ของระบบไม่ต่อเนื่องแบบ Recursive

และจากสมการที่ 3-50 และสมการที่ 3-51 สามารถแปลงโครงสร้างแบบตรง I ดังภาพที่ 3-32 เป็นโครงสร้างแบบตรง II ดังภาพที่ 3-33



ภาพที่ 3-33 โครงสร้างแบบตรง II ของระบบไม่ต่อเนื่องแบบ Recursive

3.2.2.14 นิยามของการแปลงแซด

การแปลงแซด (Z-Transform) ของสัญญาณที่ไม่ต่อเนื่องสามารถนิยามอยู่ในรูปของอนุกรนตอนนั้น (Power Series) ได้ดังสมการที่ 3-54 เรียกสมการที่ 3-54 นี้ว่า การแปลงแซดแบบตรง (Direct z-Transform)

$$X(z) = \sum_{n=-\infty}^{\infty} x(n)z^{-n} \quad (3-54)$$

เมื่อ z เป็น ตัวแปรเชิงซ้อน (Complex Variable)

$x(n)$ เป็น ลำดับสัญญาณ (Sequence Signal)

แต่สำหรับ Causal System การแปลงแซดของสัญญาณที่ไม่ต่อเนื่องสามารถเขียนได้ดังสมการที่ 3-55 เรียกสมการที่ 3-55 นี้ว่า One-Side-z-transform

$$X(z) = \sum_{n=0}^{\infty} x(n)z^{-n} \quad (3-55)$$

การแปลงแซดของสัญญาณแบบไม่ต่อเนื่องสามารถเขียนแทนได้อีกรูปแบบหนึ่งดังสมการที่ 3-56

3-56

$$X(z) = z\{x(n)\} \quad (3-56)$$

และจากสมการที่ 3-54 และ 3-55 จะเห็นได้ว่าผลการแปลงแซด ก็คืออนุกรมอนันต์ ดังนั้นค่า z ที่ทำให้ $X(z)$ หาค่าตอบได้เรียกว่า z นี้ว่า Region of Convergence (ROC) โดยค่า z นี้จะมีค่าเป็นจำนวนเชิงซ้อน Z-Transform ของฟังก์ชันสัญญาณแบบไม่ต่อเนื่องแสดงได้ดังตารางที่ 3-1

ตารางที่ 3-1 Z-Transform ของสัญญาณแบบไม่ต่อเนื่อง

TABLE 3.1 SOME COMMON z-TRANSFORM PAIRS

Sequence	Transform	ROC
1. $\delta[n]$	1	All z
2. $u[n]$	$\frac{1}{1 - z^{-1}}$	$ z > 1$
3. $-u[-n - 1]$	$\frac{1}{1 - z^{-1}}$	$ z < 1$
4. $\delta[n - m]$	z^{-m}	All z except 0 (if $m > 0$) or ∞ (if $m < 0$)
5. $a^n u[n]$	$\frac{1}{1 - az^{-1}}$	$ z > a $
6. $-a^n u[-n - 1]$	$\frac{1}{1 - az^{-1}}$	$ z < a $
7. $na^n u[n]$	$\frac{az^{-1}}{(1 - az^{-1})^2}$	$ z > a $
8. $-na^n u[-n - 1]$	$\frac{az^{-1}}{(1 - az^{-1})^2}$	$ z < a $
9. $[\cos \omega_0 n]u[n]$	$\frac{1 - [\cos \omega_0]z^{-1}}{1 - [2 \cos \omega_0]z^{-1} + z^{-2}}$	$ z > 1$
10. $[\sin \omega_0 n]u[n]$	$\frac{[\sin \omega_0]z^{-1}}{1 - [2 \cos \omega_0]z^{-1} + z^{-2}}$	$ z > 1$
11. $[r^n \cos \omega_0 n]u[n]$	$\frac{1 - [r \cos \omega_0]z^{-1}}{1 - [2r \cos \omega_0]z^{-1} + r^2 z^{-2}}$	$ z > r$
12. $[r^n \sin \omega_0 n]u[n]$	$\frac{[r \sin \omega_0]z^{-1}}{1 - [2r \cos \omega_0]z^{-1} + r^2 z^{-2}}$	$ z > r$
13. $\begin{cases} a^n, & 0 \leq n \leq N-1, \\ 0, & \text{otherwise} \end{cases}$	$\frac{1 - a^N z^{-N}}{1 - az^{-1}}$	$ z > 0$

คุณสมบัติของ Z-Transform

คุณสมบัติความเที่ยงเร้น (Linearity Property)

แสดงได้ดังสมการที่ 3-57

$$Z[ax_1(n) + bx_2(n)] = aX_1(z) + bX_2(z) \quad (3-57)$$

คุณสมบัติการล่าตอน (Shift Property)

กำหนดให้ $y(n) = x(n-m)$ $m \geq 0$ และ z-transform ของ $y(n) = Y(z)$ เป็นแทน

ได้ดังสมการที่ 3-58 และ 3-59

$$Y(z) = \sum_{n=-\infty}^{\infty} y(n)z^{-n} \quad (3-58)$$

$$Y(z) = \sum_{n=-\infty}^{\infty} x(n-m)z^{-n} \quad (3-59)$$

กำหนดให้ระบบที่กำลังพิจารณาเป็นระบบแบบ Causal ดังนั้นสมการที่ 3.74 สามารถเขียนได้ใหม่ดังสมการที่ 3-60 และ 3-61

$$Y(z) = \sum_{n=0}^{\infty} x(n-m)z^{-n} \quad (3-60)$$

$$Y(z) = x(-m) + x(1-m)z^{-1} + x(2-m)z^{-2} + \dots + x(0)z^{-m} + x(1)z^{-(m+1)} + \dots$$

$$Y(z) = x(0)z^{-m} + x(1)z^{-(m+1)} + x(2)z^{-(m+2)} + \dots + x(n)z^{-(m+n)} \quad (3-61)$$

จัดสมการที่ 3-61 ใหม่โดยดึงตัวร่วม z^{-m} ออกจะได้

$$Y(z) = z^{-m}[x(0) + x(1)z^{-1} + x(2)z^{-2} + \dots + x(n)z^{-n}] \quad (3-62)$$

$$Y(z) = z^{-m} \sum_{n=0}^{\infty} x(n)z^{-n}$$

$$Y(z) = z^{-m} X(z) \quad (3-63)$$

คุณสมบัติการ積分 (Convolution Property)

จากสมการ Convolution

$$y(n) = \sum_{k=-\infty}^{\infty} h(k)x(n-k)$$

$$y(n) = h(n) \otimes x(n)$$

ทำการแปลงแซด $x(n), h(n)$ ให้เป็น $X(z), H(z)$ จะได้การ Convolution ดังสมการที่ 3-64

$$Y(z) = H(z)X(z) \quad (3-64)$$

3.2.2.2.15 Rational Z-Transform

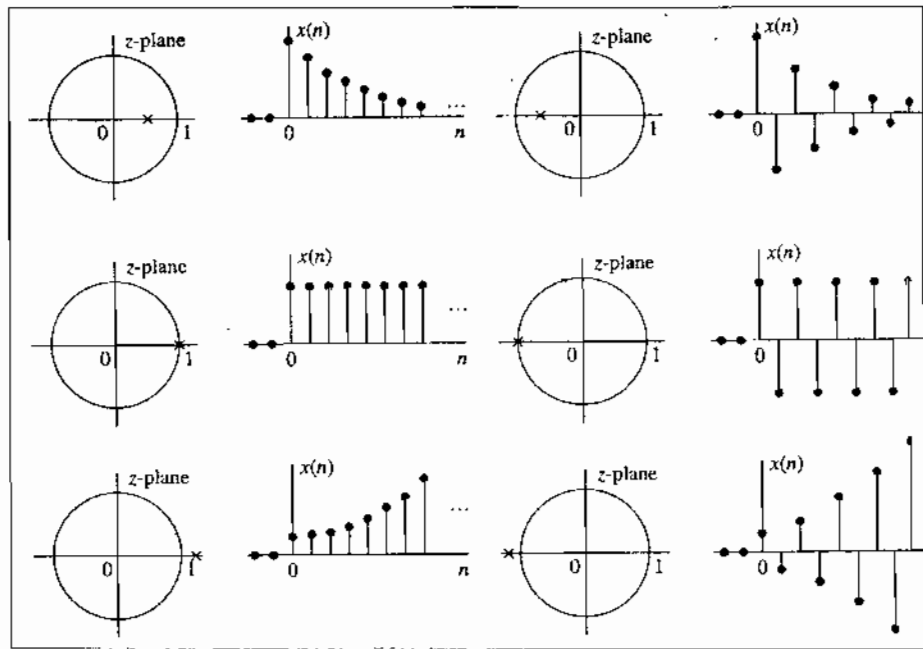
สัญญาณแบบไม่ต่อเนื่อง $x(n)$ หรือรูปแบบแบบไม่ต่อเนื่อง $x(n)$ สามารถเขียนให้อยู่ในรูป $X(z)$ หรือ $Y(z)$ ได้โดยการแปลงแซด ค่า $X(z)$ หรือ $Y(z)$ นี้มีรูปแบบเป็นเศษส่วน (Rational) สามารถบอกรายละเอียดคุณลักษณะของสัญญาณและระบบได้

Pole and Zero

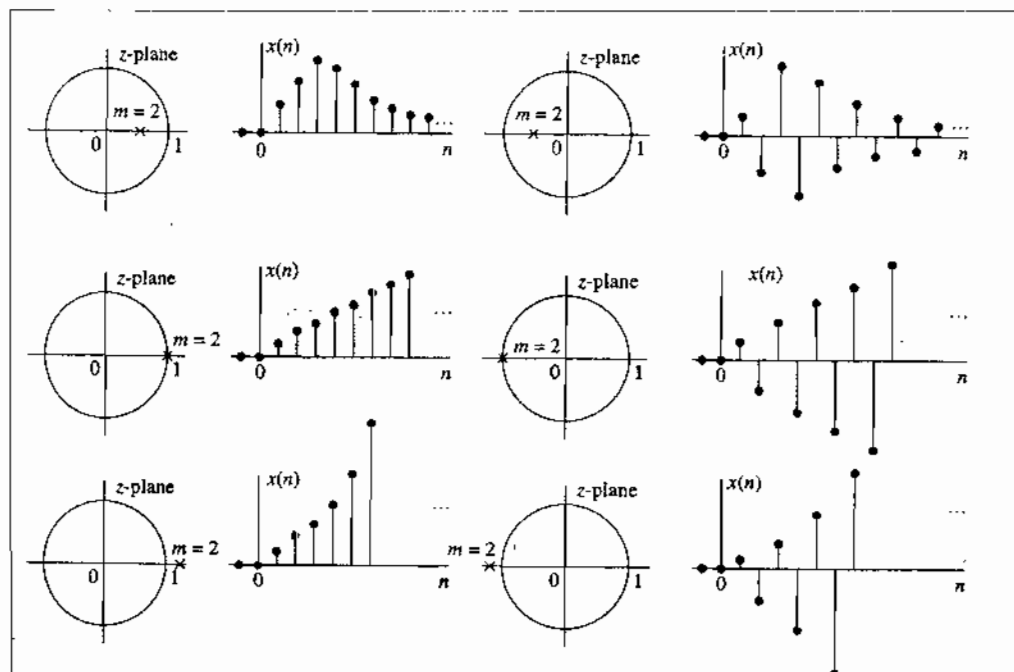
เป็นการนำค่า $X(z)$ หรือ $Y(z)$ ไปแก้สมการหาค่า Z และนำค่าตอบของ (Pole) ลงในรูปแบบ Z เพิงซ้อน (Complex Z-Plane) ค่า Z ที่เป็นค่าตอบของเศษเริ่กว่า ซึ่ง แทนด้วยสัญลักษณ์ O ค่า Z ที่เป็นค่าตอบของส่วนเริ่กว่า โพลแทนด้วยสัญลักษณ์ X

ลักษณะสัญญาณกับการวางแผนตำแหน่งของ โพล

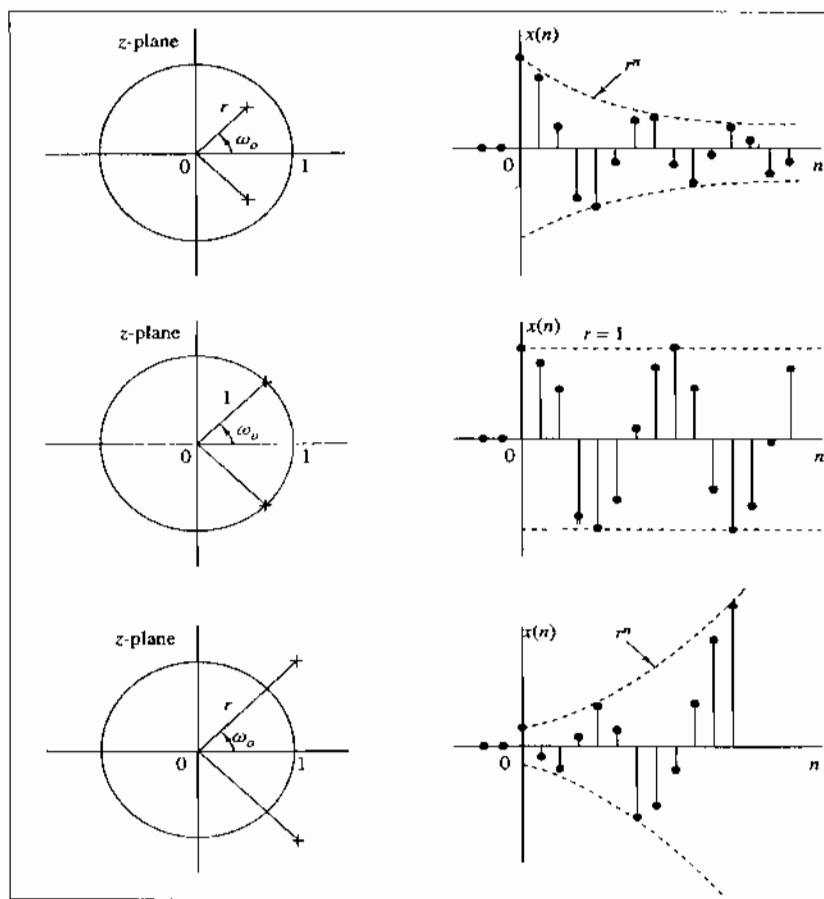
ตำแหน่งของโพลในรูปแบบ z สามารถบ่งบอกลักษณะของลำดับสัญญาณ ได้เช่นลักษณะของลำดับสัญญาณที่เกิดขึ้นสามารถคำนวณได้จากการทำ Inverse Z- Transform สามารถเขียนได้ดังภาพที่ 3-34



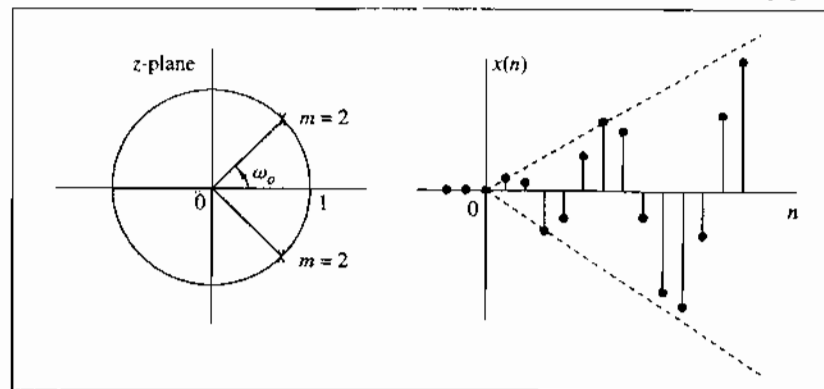
ภาพที่ 3-34 (a) ความสัมพันธ์ระหว่างตำแหน่งของโพลกับลำดับสัญญาณ



ภาพที่ 3-34 (b) ความสัมพันธ์ระหว่างตำแหน่งของโพลกับลำดับสัญญาณ



ภาพที่ 3-34 (c) ความสัมพันธ์ระหว่างตำแหน่งของโพลกับลำดับสัญญาณ



ภาพที่ 3-34 (d) ความสัมพันธ์ระหว่างตำแหน่งของโพลกับลำดับสัญญาณ

3.2.2.2.16 The System Function of a Linear Time-Invariant System

ในการหาผลตอบสนองทาง Output ของระบบที่แปรตามเวลาจากหัวเข็มที่ผ่านมา สามารถกระทำได้โดยใช้หลักการ Convolution ซึ่งการหาจะต้องรู้ค่าของ $x(n)$ และ $h(n)$ แต่จากคุณสมบัติของ Z-Transform ทำให้การหาผลตอบสนองทาง Output หายใจจากสมการที่ 3-65

$$Y(z) = H(z)X(z) \quad (3-65)$$

เมื่อ $Y(z)$ คือ Z-Transform ของ Output Sequence $y(n)$

$X(z)$ คือ Z-Transform ของ Input Sequence $x(n)$

$H(z)$ คือ Z-Transform ของ Unit sample Response $h(n)$

ดังนี้ถ้ารู้ค่า $x(n)$ และ $h(n)$ ก็สามารถหาค่า $X(z)$ และ $H(z)$ ได้โดยการแปลง z และเมื่อนำมาแทนกันลงสมการที่ 3-65 ก็จะได้ $Y(z)$ และสามารถหาค่า $y(n)$ ได้โดยการแปลง z 回去ยัง $Y(z)$ และในทางกลับกันถ้ารู้ค่า $x(n)$ และ $y(n)$ ก็สามารถหาค่า $H(z)$ ได้ดังสมการที่ 3-66

$$H(z) = \frac{Y(z)}{X(z)} \quad (3-66)$$

เพื่อความชัดเจนจะเห็นได้ว่าคุณสมบัติของระบบนั้นอธิบายได้ 2 ลักษณะคือ $h(n)$ และ $H(z)$ โดย $h(n)$ นั้นจะอธิบายถึงคุณสมบัติของระบบใน Time-Domain ส่วน $H(z)$ จะอธิบายถึงคุณสมบัติใน Z-Domain ซึ่งแท้ที่จริงแล้ว $H(z)$ และ $h(n)$ นั้นเหมือนกันเพียงแต่อยู่ที่หน่วยและ Domain และโดยทั่วไปจะเรียก $H(z)$ ในสมการที่ 3-66 ว่า ฟังก์ชันระบบ (System Function) หรือ ฟังก์ชันโอนถ่าย (Transfer Function)

สำหรับระบบที่เป็นแบบ Linear Constant-Coefficient Difference Equation ดังสมการที่ 3-67 สามารถใช้คุณสมบัติของ Z-Transform เขียนเป็นฟังก์ชันโอนถ่าย $H(z)$ ได้ดังสมการที่ 3-67

$$y(n) = -\sum_{k=1}^N a_k y(n-k) + \sum_{k=0}^M b_k x(n-k) \quad (3-67)$$

$$Y(z) = -\sum_{k=1}^N a_k Y(z) z^{-k} + \sum_{k=0}^M b_k X(z) z^{-k}$$

$$\begin{aligned}
 Y(z) & \left(1 + \sum_{k=1}^N a_k z^{-k} \right) = X(z) \left(\sum_{k=0}^M b_k z^{-k} \right) \\
 \frac{Y(z)}{X(z)} & = \frac{\sum_{k=0}^M b_k z^{-k}}{1 + \sum_{k=1}^N a_k z^{-k}} \\
 H(z) & = \frac{\sum_{k=0}^M b_k z^{-k}}{1 + \sum_{k=1}^N a_k z^{-k}}
 \end{aligned} \tag{3-68}$$

และระบบที่เป็นแบบ Non-Recursive ดังสมการที่ 3.85 สามารถเขียนเป็นฟังก์ชันโอนถ้าจะได้ดังสมการที่ 3-70

$$y(n) = \sum_{k=0}^M h(k)x(n-k) \tag{3-69}$$

$$\begin{aligned}
 Y(z) & = \sum_{k=0}^M h(k)X(z)z^{-k} \\
 Y(z) & = X(z) \left(\sum_{k=0}^M h(k)z^{-k} \right) \\
 H(z) & = \frac{Y(z)}{X(z)} = \sum_{k=0}^M h(k)z^{-k}
 \end{aligned} \tag{3-70}$$

3.2.2.2.17 การแปลง Z ผกผัน (Inversion of Z-Transform)

เป็นการแปลง $X(z)$ กลับเป็น $x(n)$ ทำได้ 3 วิธีดังต่อไปนี้

- วิธีอนุกรมอนันต์ (Power Series Method)
- วิธีแยกเศษส่วนย่อย (Partial-Fraction Expansion Method)
- Residue Method

การแปลง Z ผกผันด้วยวิธีอนุกรมอนันต์

กำหนดให้ $X(z)$ เป็น Z-Transform ของ Causal Sequence ดังสมการที่ 3-71 ซึ่งสมการนี้สามารถจัดให้เป็นอนุกรมอนันต์ในรูป z หรือ z^{-1} โดยใช้การหารยาว (Long division)

$$X(z) = \frac{a_0 + a_1 z^{-1} + a_2 z^{-2} + \dots + a_N z^{-N}}{b_0 + b_1 z^{-1} + b_2 z^{-2} + \dots + b_M z^{-M}} \tag{3-71}$$

เมื่อทำการหารยาวสมการที่ 3-71 จะได้ค่า $X(z)$ ดังสมการที่ 3-72

$$X(z) = x(0) + x(1)z^{-1} + x(2)z^{-2} + x(3)z^{-3} + \dots \quad (3-72)$$

3.2.2.2.18 การแปลง z ผกผันด้วยวิธีแยกเศษส่วนย่ออย่างเดียว

ทำโดยจัดสมการ $X(z)$ ให้อยู่ในรูปเศษส่วนย่อของจากนั้นนำสมการที่จัดรูปได้แปลงให้เป็น $x(n)$ โดยใช้ตาราง z -transform พิจารณา $X(z)$ ดังสมการที่ 3-71 การจัดรูปสมการจะเป็นไปตามด้านหน้าของโพลในรูปแบบ z ซึ่งแบ่งออกได้ดังต่อไปนี้

กรณีโพลมีค่าแทนน์ไม่ซ้ำกัน สมการ $X(z)$ สมการที่ 3-68 สามารถจัดรูปได้ดังสมการที่ 3-73

$$X(z) = B_0 + \frac{C_1}{1 - p_1 z^{-1}} + \frac{C_2}{1 - p_2 z^{-1}} + \dots + \frac{C_M}{1 - p_M z^{-1}} \quad (3-73)$$

$$X(z) = B_0 + \frac{C_1 z}{z - p_1} + \frac{C_2 z}{z - p_2} + \dots + \frac{C_M z}{z - p_M}$$

$$X(z) = B_0 + \sum_{k=1}^M \frac{C_k z}{z - p_k} \quad (3-74)$$

กรณีโพลอยู่มากกว่าหนึ่งตัวอยู่ค่าแทนน์ซ้ำกัน สมการ $X(z)$ สมการที่ 3-71 สามารถจัดรูปได้ดังสมการที่ 3-75

$$X(z) = \sum_{i=1}^m \frac{D_i}{(z - p_k)^i} \quad (3-75)$$

และค่า D_i หาได้จากสมการที่ 3-76

$$D_i = \frac{1}{(m-i)!} \frac{d^{m-i}}{dz^{m-i}} [(z - p_k)^m X(z)]_{z=p_k} \quad (3-76)$$

แต่ถ้าระบบหรือลำดับสัญญาณมีโพลมากกว่าหนึ่งตัวและค่าแทนน์ของโพลอยู่ในค่าแทนน์ที่ซ้ำกันและไม่ซ้ำกันตัวอย่างเช่นระบบมีโพลทั้งหมด 3 ตัว มีโพล 2 ตัวอยู่ค่าแทนน์เดียวกันส่วนอีก 1 ตัวอยู่คนละค่าแทนน์การจัดสมการในรูปเศษส่วนย่ออย่างที่จะใช้สมการที่ 3-74 และ 3-75 รวมกัน

3.2.2.2.19 การแปลง Z ผลผันโดยวิธี Residue

การแปลง z ผลผันด้วยวิธีนี้ค่า $x(n)$ จะถูกแทนด้วยการอินทีเกรตกรอบ (Contour Integral) ดังสมการที่ 3-77

$$x(n) = \frac{1}{2\pi j} \oint_C z^{n-1} X(z) dz \quad (3-77)$$

เมื่อ C คือเส้นทางการอินทีเกรตกรอบโพลของ $X(z)$ ที่อยู่ในรูปเศษส่วนและ多项式ในเมียล (Rational and polynomials) การอินทีเกรตกรอบดังสมการที่ 3-77 คำตอบจะถูกแทนอยู่ในรูปตัวแปรเชิงช้อนด้วยทฤษฎีของ Cauchy's Residue ดังนั้นอาจกล่าวได้ว่า $x(n)$ ที่คือผลรวมของการห้า Residue เฉพาะโพลในบริเวณ C ของฟังก์ชัน $z^{n-1}X(z)$ เป็นไปได้ดังสมการที่ 3-78

$$\text{Res}[F(z), p_k] = \frac{1}{(m-1)!} \frac{d^{m-1}}{dz^{m-1}} [(z - p_k) F(z)]_{z=p_k} \quad (3-78)$$

เมื่อ $F(z) = z^{n-1} X(z)$

ผลตอบสนองความถี่ (Frequency Response)

พิจารณาฟังก์ชันถ่ายโอน $H(z)$ ดังสมการที่ 3-79

$$H(z) = \frac{b_0 + b_1 z^{-1} + b_2 z^{-2} + \dots}{1 + a_1 z^{-1} + a_2 z^{-2} + \dots} \quad (3-79)$$

ในการหาผลตอบสนองทางความถี่ของระบบแบบไม่ต่อเนื่องนั้นจะแทน $z = e^{j\omega}$ ลงใน $H(z)$ ดังสมการที่ 3-80

$$H(\omega) = \frac{b_0 + b_1 e^{-j\omega} + b_2 e^{-2j\omega} + \dots}{1 + a_1 e^{-j\omega} + a_2 e^{-2j\omega} + \dots}$$

$$H(\omega) = H_R(\omega) + H_I(\omega) \quad (3-80)$$

จะเห็นได้ว่าสมการที่ 3-80 จะประกอบด้วยค่าที่เป็นจำนวนจริงและค่าที่เป็นจำนวนเชิงซ้อนซึ่งในการหาผลตอบสนองทางความถี่จะแบ่งการคำนวณออกเป็น 2 ส่วนจะคือ

ผลตอบสนองทางขนาด (Magnitude Response)

คำนวณได้โดยการหาค่าสัมบูรณ์ของสมการที่ 3-80 เพียงได้ดังสมการที่ 3-81

$$|H(\omega)| = \sqrt{H_R^2(\omega) + H_I^2(\omega)} \quad (3-81)$$

ผลตอบสนองทางเฟส (Phase Response)

คำนวณได้จากสมการที่ 3-82 ซึ่งผลตอบสนองทางเฟสจะถูกแทนด้วย $\Theta(\omega)$ หรือ $\angle H(\omega)$

$$\Theta(\omega) = \angle H(\omega) = \tan^{-1} \frac{H_I(\omega)}{H_R(\omega)} \quad (3-82)$$

3.2.2.2.20 การหาผลตอบสนองความถี่โดย Geometric

ในการหาผลตอบสนองความถี่จะมีความยุ่งยากมากขึ้นตามการเพิ่มจำนวนของชีโวและโพลัดังสมการที่ 3-83

$$H(z) = K \frac{(z - z_1)(z - z_2) \dots (z - z_M)}{(z - p_1)(z - p_2) \dots (z - p_N)}$$

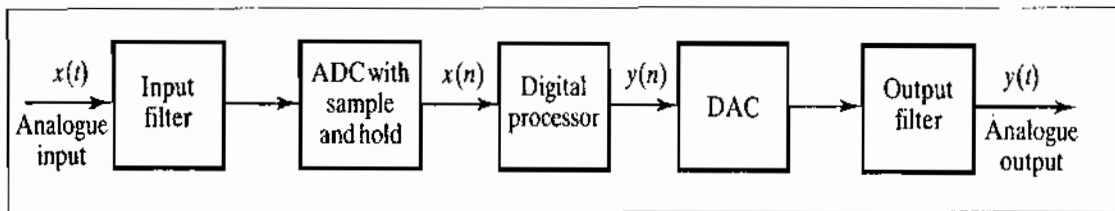
$$H(z) = K \frac{\prod_{i=1}^M (z - z_i)}{\prod_{i=1}^N (z - p_i)} \quad (3-83)$$

แทนที่ $z = e^{j\omega}$ ลงในสมการที่ 3-83

$$H(\omega) = K \frac{\prod_{i=1}^M (e^{j\omega} - z_i)}{\prod_{i=1}^N (e^{j\omega} - p_i)} \quad (3-84)$$

3.3 ทฤษฎีตัวกรองดิจิตอล

ตัวกรองดิจิตอล (Digital Filter) เป็นตัวกรองรูปแบบหนึ่งที่ถูกออกแบบและสร้างขึ้นโดยวิเคราะห์ดิจิตอลมีไกด์อะแกรมการทำงานดังภาพที่ 3-37 จากภาพสัญญาณอนาล็อก $x(t)$ เป็นสัญญาณอินพุกของตัวกรอง สัญญาณนี้จะถูกส่งผ่านวงจรแปลงสัญญาณอนาล็อกให้เป็นสัญญาณดิจิตอล $x(n)$ และสัญญาณดิจิตอลนี้จะถูกส่งเข้าไปคำนวณในหน่วยประมวลผล ผลที่ได้จากการคำนวณยังคงเป็นสัญญาณดิจิตอล $y(n)$ จากนั้นจะถูกส่งผ่านมาบังวงจรแปลงสัญญาณดิจิตอลให้เป็นสัญญาณอนาล็อก “ได้สัญญาณเอาท์พุตของฟิลเตอร์เป็นสัญญาณอนาล็อก $y(t)$



ภาพที่ 3-35 ไกด์อะแกรมการทำงานของตัวกรองดิจิตอลพื้นฐาน

3.3.1 ตัวกรองดิจิตอล

ตัวกรองดิจิตอลแบ่งออกได้ 2 ชนิดคือ

ตัวกรองดิจิตอลแบบเฟิร์อาร์ (Finite Impulse Response Filter: FIR)

ตัวกรองดิจิตอลแบบไฮอาร์ (Infinite Impulse Response Filter: IIR)

องค์ประกอบของตัวกรองดิจิตอล

ตัวกรองดิจิตอลทั้งสองชนิดจะประกอบด้วยองค์ประกอบพื้นฐาน (Basic Elements)

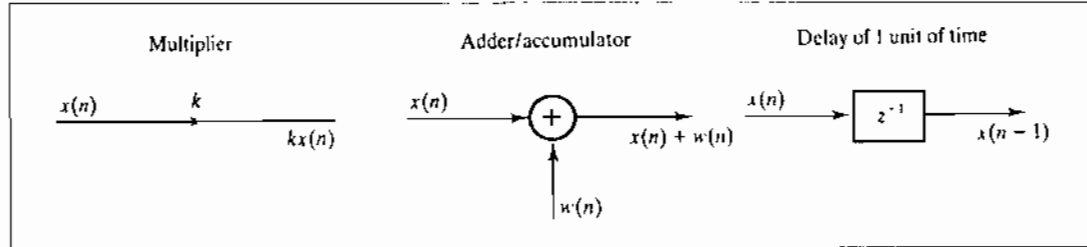
ดังต่อไปนี้

ตัวบวก (Adder)

ตัวคูณ (Multiplier)

ตัวหน่วง (Delay)

สัญลักษณ์ขององค์ประกอบพื้นฐานทั้ง 3 ตัวสามารถแสดงได้ดังภาพที่ 3-36



ภาพที่ 3-36 องค์ประกอบพื้นฐานทั้ง 3 ตัวที่ใช้เป็นส่วนประกอบของตัวกรองดิจิตอล

3.3.1.1 ตัวกรองดิจิตอลแบบไอ-ไออาร์

ฟังก์ชันถ่ายโอน (Transfer function) ของตัวกรองแบบไอ-ไออาร์ สามารถเขียนเป็นสมการได้ดังต่อไปนี้

$$H(z) = \frac{\sum_{k=0}^N b_k z^{-k}}{1 + \sum_{k=1}^M a_k z^{-k}} \quad (3-85)$$

จากสมการที่ 3-85 สามารถนำไปเขียนใหม่ได้ดังสมการที่ 3-86

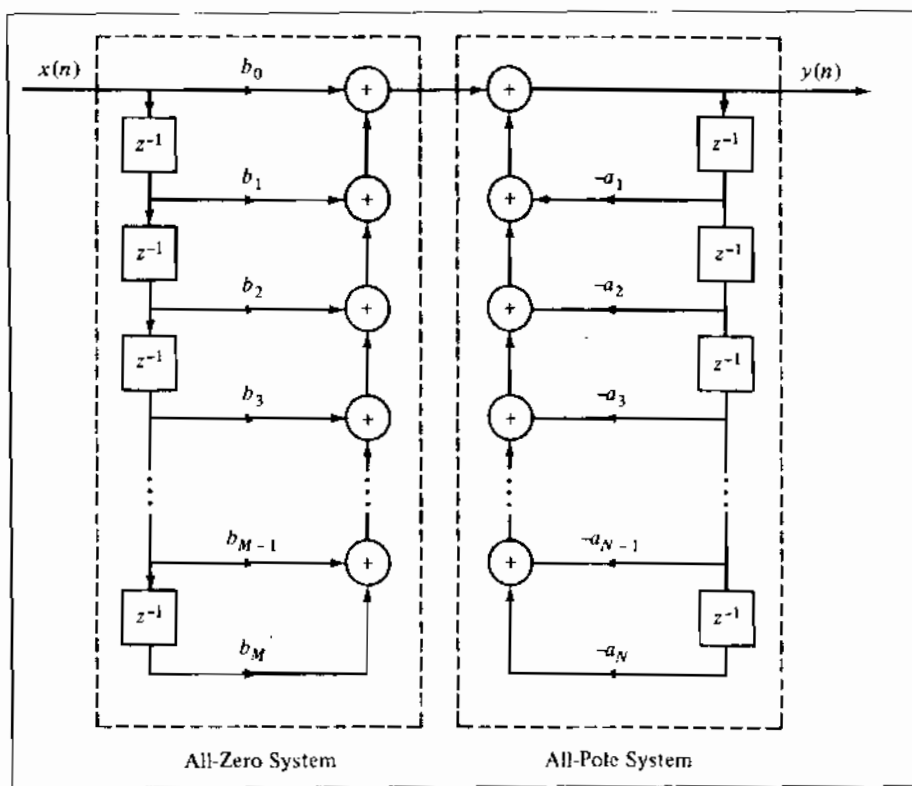
$$H(z) = \frac{b_0 + b_1 z^{-1} + \dots + b_N z^{-N}}{1 + a_1 z^{-1} + \dots + a_M z^{-M}} \quad (3-86)$$

จากสมการที่ 3-86 นำไปจัดเทอมต่าง ๆ ใหม่และเขียนอยู่ในรูปสมการผลต่าง (Difference Equation) ได้ดังสมการที่ 3-87

$$\begin{aligned} Y(z) &= \sum_{K=0}^N b_K X(z) z^{-K} - \sum_{K=1}^M a_K Y(z) z^{-K} \\ Y(z) &= b_0 X(z) + b_1 X(z) z^{-1} + \dots + b_N X(z) z^{-N} - a_1 Y(z) z^{-1} - \dots - a_M Y(z) z^{-M} \end{aligned}$$

$$Y(n) = \sum_{k=0}^N b_k X(n-k) - \sum_{k=1}^M a_k Y(n-k) \quad (3-87)$$

จากสมการที่ 3-87 สามารถนำมาเขียนเป็นโครงสร้างได้ดังภาพที่ 3-39 ซึ่งโครงสร้างในภาพที่ 3-37 เป็นโครงสร้างแบบตรง I (Direct form I)



ภาพที่ 3-37 โครงสร้างของตัวกรองไอโอดาร์แบบตรง I

ถ้านำ $\frac{w(z)}{w(z)}$ คูณตลอดในสมการที่ 3-86 จะได้

$$H(z) = \frac{w(z)}{w(z)} \times \frac{b_0 + b_1 z^{-1} + \dots + b_N z^{-N}}{1 + a_1 z^{-1} + \dots + a_M z^{-M}}$$

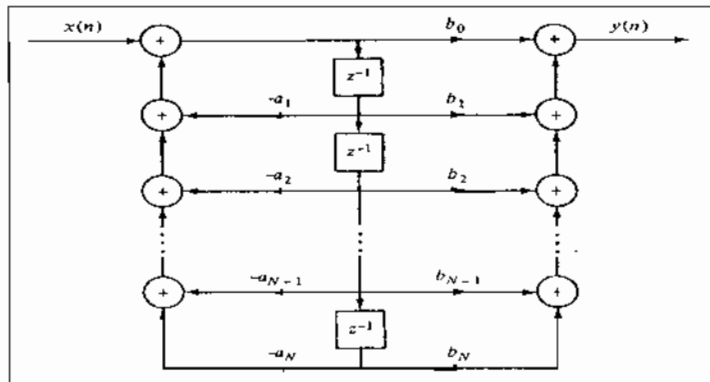
$$H(z) = \frac{Y(z)}{X(z)} = \frac{w(z)}{w(z)} \times \frac{b_0 + b_1 z^{-1} + \dots + b_N z^{-N}}{1 + a_1 z^{-1} + \dots + a_M z^{-M}}$$

$$X(z) = w(z) + a_1 w(z)z^{-1} + \dots + a_M w(z)z^{-M}$$

$$w(z) = X(z) - a_1 w(z)z^{-1} - \dots - a_M w(z)z^{-M} \quad (3-88)$$

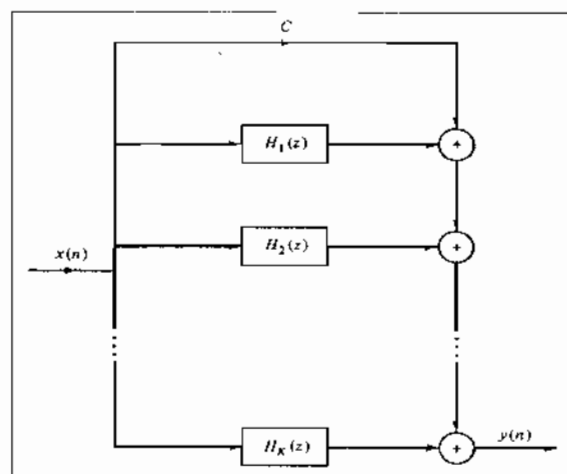
$$Y(z) = b_0 w(z) + b_1 w(z)z^{-1} + \dots + b_N w(z)z^{-N} \quad (3-89)$$

จากสมการที่ 3-88 และสมการที่ 3-89 สามารถนำໄไปเปลี่ยนเป็นโครงสร้างได้ดังภาพที่ 3-38 โครงสร้างในภาพที่ 3-38 นี้เรียกว่าแบบตรง II (Direct form II)



ภาพที่ 3-38 โครงสร้างตัวกรองไอ-ไออาร์แบบตรง II

แต่เนื่องจากตัวกรองดิจิตอลที่มีโครงสร้างแบบตรง I เมื่อมีจำนวนลำดับเพิ่มขึ้นจะมีค่าบ่าวน์ไดนามิก (Dynamic range) ของสัมประสิทธิ์มากขึ้นกล่าวคือ ค่าสัมประสิทธิ์ในเทอม a จะมีค่ามาก และสัมประสิทธิ์ในเทอม b จะมีค่าน้อยทำให้เป็นปัญหาอย่างมากโดยเฉพาะอย่างยิ่งถ้าใช้ตัวประมวลผลแบบจุดศูนย์นิยมคงที่ (Fixed point) ดังนั้นในการทดลองจึงได้มีการปรับโครงสร้างของตัวกรองดิจิตอลใหม่โดยจัดให้มีโครงสร้างเป็นแบบขนาดดังภาพที่ 3-39

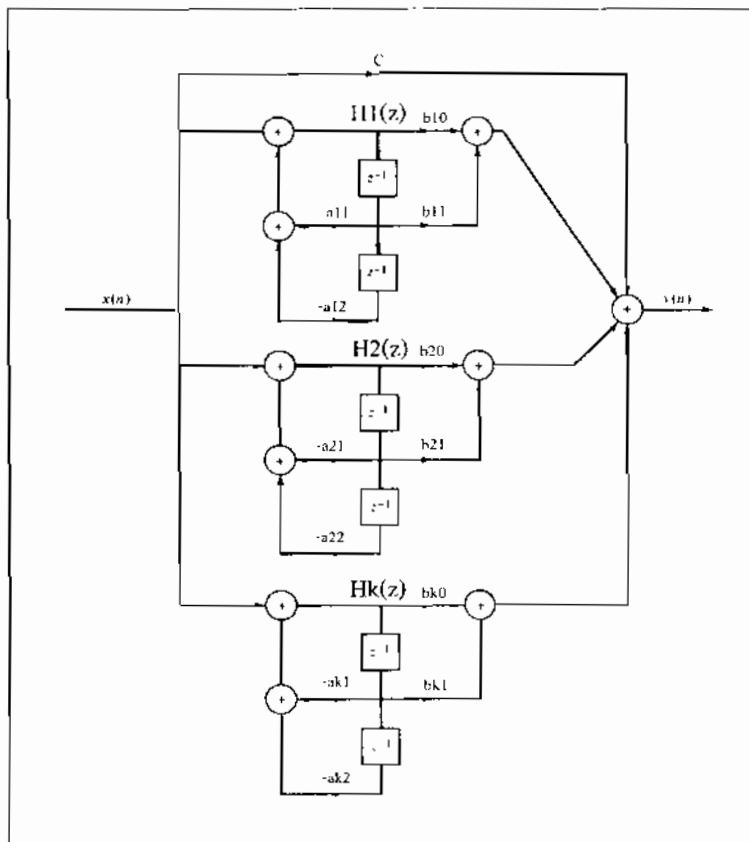


ภาพที่ 3-39 โครงสร้างตัวกรองดิจิตอลแบบไอ-ไออาร์ที่มีโครงสร้างในแบบขนาด

ในภาพที่ 3-39 จะเห็นได้ว่าตัวกรองดิจิตอลแบบไอยோอาร์ ที่มีโครงสร้างเป็นแบบขนานนี้จะประกอบด้วย $H_1(z), H_2(z), \dots, H_k(z)$ และภายใน $H(z)$ แต่ละตัวนี้จะมีโครงสร้างดังภาพที่ 3-40 ในการจัดโครงสร้างของตัวกรองดิจิตอลแบบไอยோอาร์ ให้มีโครงสร้างเป็นแบบขนานนี้จะให้ผลดีกือ

1. ย่านไดนามิกของสัมประสิทธิ์มีค่า้น้อยทำให้ไม่เป็นปัจุหามือใช้กับตัวประมวลผลแบบจุดพนิยมคงที่

2. เป็นอัลกอริทึมที่เหมาะสมที่จะใช้กับระบบประมวลผลสัญญาณดิจิตอลแบบขนานอีกด้วย



ภาพที่ 3-40 โครงสร้างย่อของตัวกรองดิจิตอลแบบขนาน

3.3.1.1.1 การออกแบบตัวกรองดิจิตอลแบบไอยோอาร์

สามารถทำได้ 4 วิธี

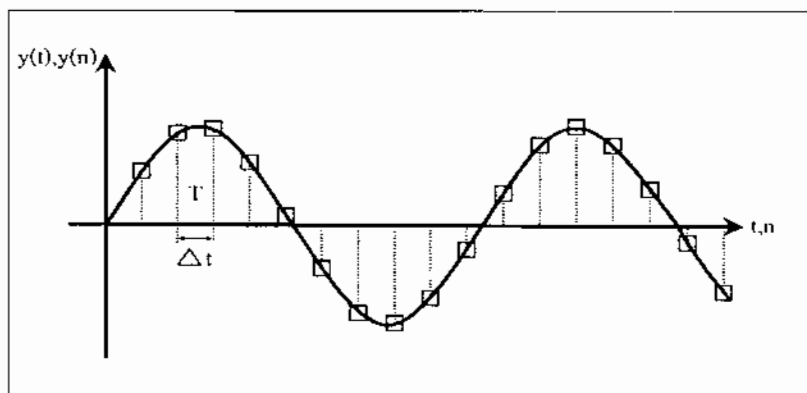
1. แบบวางโพล-ซีโร (Pole-Zero Placement)
2. แบบประมาณค่าเบี่ยงเบน (Approximation of Derivatives)
3. แบบอินพูลส์อินวารันซ์ (Impulse Invariance)

4. แบบการแปลงเชิงเส้นคู่ (Bilinear Transform)

ในที่นี้จะนำสนับเพียง 2 วิธี คือวิธีที่ 2 และวิธีที่ 4 เท่านั้น

การออกแบบตัวกรองดิจิตอลแบบไปไอการ์ตัวย่อซึ่งประมาณค่าเบี่ยงเบน

เป็นวิธีการหนึ่งที่ใช้แปลงเอกสารโคลเมนไปสู่แซดโคลเมน พิจารณาภาพที่ 3-4!



ภาพที่ 3-41 ความสัมพันธ์ระหว่างสัญญาณที่เป็นช่วง (Discrete Signal) กับสัญญาณที่ต่อเนื่อง จากภาพที่ 3-41 จะพบว่า

$$\frac{dy(t)}{dt} = \frac{\Delta y(t)}{\Delta t} \quad (3-90)$$

กำหนดให้ระยะห่างระหว่าง n กับ $n+1$ เท่ากับ T และเท่ากับ Δt ดังนั้น ณ. เวลา t ใด ๆ จะได้ $t = nT$

$$\frac{dy(t)}{dt} = \frac{y(nT) - y(nT - T)}{T} \quad (3-91)$$

T คือ อัตราสุ่น (Sampling Rate) หรืออัตราเจียนให้อูฐ์ในรูปความถี่สุ่น, $f_s = \frac{1}{T}$ ที่ได้ซึ่งค่า T นี้จะมีค่าเท่ากันทุกช่วง

$$\frac{dy(t)}{dt} = \frac{y(n) - y(n-1)}{T} \quad (3-92)$$

กำหนดให้ $\frac{dy(t)}{dt}$ เป็นเอาท์พุทของระบบอนalogที่มีฟังก์ชันถ่ายโอน $H(s) = S$ โดยมีอินพุตเป็น $y(t)$

$$y(t) \rightarrow [H(s) = S] \rightarrow \frac{dy(t)}{dt}$$

ภาพที่ 3-42 ระบบอนาลอกที่มีฟังก์ชันถ่ายโอนเป็น $H(s)$

และจากสมการที่ 3.108 กำหนดให้ $\frac{y(n) - y(n-1)}{T}$ เป็นเอาท์พุตของระบบไม่ต่อเนื่อง (Discrete) โดยมีอินพุตเป็น $y(n)$ และมีฟังก์ชันถ่ายโอนเป็น $H(z)$ จะได้

$$y(n) \rightarrow [H(z) = ?] \rightarrow \frac{y(n) - y(n-1)}{T}$$

ภาพที่ 3-43 ระบบไม่ต่อเนื่องที่มีฟังก์ชันถ่ายโอนเท่ากับ $H(z)$

จากภาพที่ 3-43 พนวณเอาท์พุตของระบบไม่ต่อเนื่อง คือ

$$\begin{aligned} y(z) \cdot H(z) &= \frac{y(z) - y(z)z^{-1}}{T} \\ y(z) \cdot H(z) &= \frac{(1 - z^{-1})y(z)}{T} \\ H(z) &= \frac{(1 - z^{-1})}{T} \end{aligned} \quad (3-93)$$

และจากภาพที่ 3-42 เอาท์พุตของระบบอนาลอกจะมีค่าเท่ากับ

$$\frac{dy(t)}{dt} = H(s) \cdot y(t) \quad (3-94)$$

ณ จุดใดๆบนกราฟในภาพที่ 3-43 $y(n)$ จะมีค่าเท่ากับ $y(t)$ จะได้

$$\begin{aligned} \frac{dy(t)}{dt} &= \frac{y(n) - y(n-1)}{T} \\ H(s) \cdot y(t) &= H(z) \cdot y(n) \\ H(s) &= H(z) \end{aligned} \quad (3-95)$$

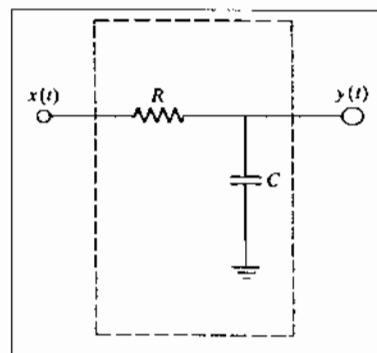
$$H(s) = S$$

$$H(z) = \frac{(1-z^{-1})}{T}$$

$$S = \frac{(1-z^{-1})}{T} \quad (3-96)$$

$$Z = \frac{1}{1-ST} \quad (3-97)$$

พิจารณาของรังสีภาพที่ 3-44



ภาพที่ 3-44 วงจรกรองความถี่ต่ำผ่าน (RC Low pass filter)

จากภาพที่ 3-44 วงจรจะมีฟังก์ชันถ่ายโอนดังสมการ

$$H(s) = \frac{1}{S + \frac{1}{RC}} \quad (3-98)$$

$$\text{กำหนดให้ } a = \frac{1}{RC} \text{ จะได้}$$

$$H(s) = \frac{a}{S + a} \quad (3-99)$$

จากสมการที่ 3-96 จะได้ $H(z)$ มีค่าดังสมการที่ 3-100

$$H(z) = \frac{aT}{1 + at - z^{-1}} \quad (3-100)$$

$$\begin{aligned}
 Vo(z) + aTVo(z) - Vo(z)z^{-1} &= aTVi(z) \\
 Vo(z) + aTVo(z) &= aTVi(z) + Vo(z)z^{-1} \\
 Vo(z)(1 + aT) &= aTVi(z) + Vo(z)z^{-1} \\
 Vo(z) = \frac{aTVi(z)}{(1 + aT)} + \frac{Vo(z)z^{-1}}{(1 + aT)} & \quad (3-101)
 \end{aligned}$$

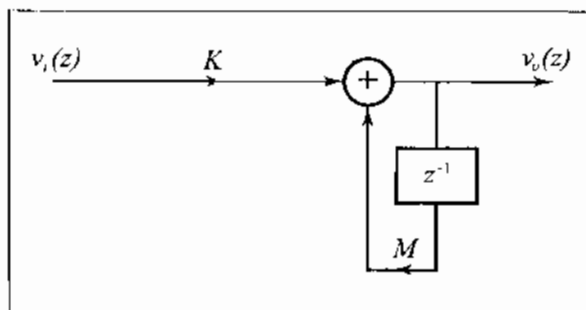
กำหนดให้

$$K = \frac{aT}{(1 + aT)}, M = \frac{1}{(1 + aT)}$$

$$Vo(n) = KV_i(n) + MV_o(n-1) \quad (3-102)$$

$$Vo(z) = KV_i(z) + MV_o(z)z^{-1} \quad (3-103)$$

แล้วจากสมการที่ 3-103 นำไปเขียนเป็นโครงสร้างได้ดังภาพที่ 3-45



ภาพที่ 3-45 โครงสร้างตัวกรองคิจิตอลแบบความถี่ต่อผ่านลำดับ 1

3.3.1.1.2 การออกแบบตัวกรองคิจิตอลแบบ “ไอ” ไออาร์ ด้วยวิธีการแปลงเชิงเส้นคู่
 การแปลงฟังก์ชันในอสโตร์ม ไปสู่แซดโคเมนด้วยวิธีเชิงเส้นคู่สามารถกระทำได้โดยใช้กฎ
 ของแท็บปิซซอยด์ตออล (Trapezoidal) พิจารณาตัวกรองแบบอนาลอก ที่มีฟังก์ชันค่าย้อน $H(s)$
 ดังสมการที่ 3-104

$$H(s) = \frac{b}{s+a} \quad (3-104)$$

จากฟังก์ชันถ่ายโอนตามสมการที่ 3-104 นี้สามารถจัดให้อยู่ในรูปสมการเชิงอนุพันธ์ได้ดังสมการที่ 3-105

$$\frac{dy(t)}{dt} + ay(t) = bx(t) \quad (3-105)$$

แทนอนุพันธ์ในสมการที่ 3-105 และประมวลค่าด้วยเท็บปิซอยด์คอลได้ดังสมการที่ 3-106

$$y(t) = \int_{t_0}^t y'(\tau) d\tau + y(t_0) \quad (3-106)$$

เมื่อ $y(t)$ แทนอนุพันธ์ของ $y(t)$ การประมวลค่าของ การอินทิกรัล ในสมการที่ 3-105 ด้วยกฎของ เท็บปิซอยด์คอลที่ $t = nT$ และ $t_0 = nT - T$ จะได้

$$y(nT) = \frac{T}{2} \times [y'(nT) + y'(nT - T)] + y(nT - T) \quad (3-107)$$

ดังนั้นถ้าแทน $t = nT$ ในสมการเชิงอนุพันธ์ที่ 3.121 จะได้

$$y'(nT) = -ay(nT) + bx(nT) \quad (3-108)$$

นำสมการที่ 3-106 แทนลงในสมการที่ 3-107 และแทน $y(n) = y(nT), x(n) = x(nT)$ จะได้

$$(1 + \frac{aT}{2})y(n) - (1 - \frac{aT}{2})y(n-1) = \frac{bT}{2}[x(n) + x(n-1)] \quad (3-109)$$

ใช้การแปลงแซด (Z-Transform) เปลี่ยนสมการผลต่าง (Difference Equation) ในสมการที่ 3-109 จะได้

$$(1 + \frac{aT}{2})Y(z) - (1 - \frac{aT}{2})z^{-1}Y(z) = \frac{bT}{2}(1 + z^{-1})X(z)$$

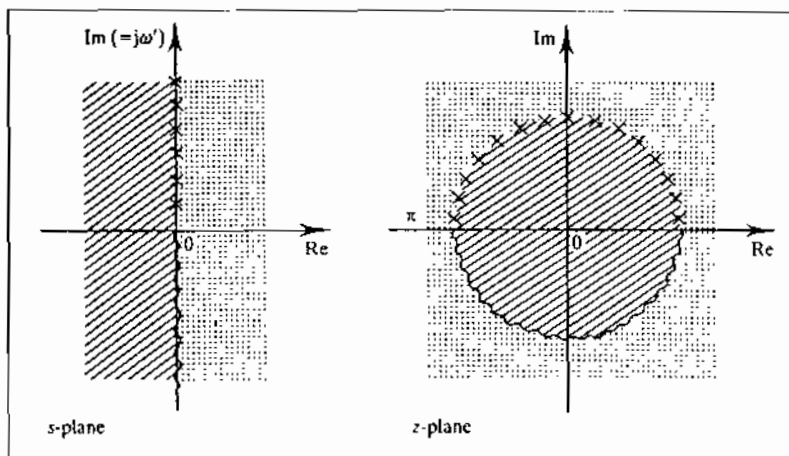
$$H(z) = \frac{Y(z)}{X(z)} = \frac{(bT/2)(1 + z^{-1})}{1 + (aT/2) - (1 - aT/2)z^{-1}}$$

$$H(z) = \frac{b}{\frac{2}{T} \times \frac{(1-z^{-1})}{(1+z^{-1})} + a} \quad (3-110)$$

เทียบสมการประสิทซ์สมการที่ 3-104 กับสมการที่ 3-110 จะได้

$$S = \frac{2(1-z^{-1})}{T(1+z^{-1})} \quad (3-111)$$

ในการแมมพากระนาบເອສໄປຢູ່ຮະນາບແຜດຕ້າຍວິທີແປລັງໃຊ້ເສັ້ນຄູ່ ຈະພບວ່າຄໍາທີ່ອູ່ທາງຂວາບອງຮະນາງເອສຈະໄປຢູ່ນອກງວດມໍນົງໜ່າຍນຮະນາບແຜດ ຄໍາທີ່ອູ່ກາງຂ້າຍຂອງຮະນາງເອສຈະໄປອູ່ກາຍໃນວົງກລມໍນົງໜ່າຍແລະຄໍາທີ່ອູ່ນແກນຈິນຕກພ ຈະໄປຢູ່ນເສັ້ນຮອບວັງຂອງວົງກລມໍນົງໜ່າຍນຮະນາບແຜດ ດັ່ງແສດງດັ່ງກາພທີ່ 3-46



ກາພທີ່ 3-46 ຄວາມສັນພັນຮ່ວມວ່າງຄໍາທີ່ອູ່ນຮະນາງເອສກັນຄໍາທີ່ອູ່ນຮະນາບແຜດ

ແລະຈາກສົມກາຣ

$$Z = r e^{i\omega T} \quad (3-112)$$

$$Z = r e^{i\omega T}$$

$$S = \sigma + j\Omega \quad (3-113)$$

$$S = \frac{2}{T} \times \frac{(1-z^{-1})}{(1+z^{-1})}$$

$$S = \frac{2}{T} \times \frac{(z-1)}{(z+1)} \quad (3-114)$$

$$S = \frac{2}{T} \times \frac{(re^{jwT} - 1)}{(re^{jwT} + 1)} \quad (3-115)$$

$$S = \frac{2}{T} \times \left(\frac{r^2 - 1}{1 + r^2 + 2r \cos wT} + j \frac{2r \sin wT}{1 + r^2 + 2r \cos wT} \right) \quad (3-116)$$

เมื่อเทียบสมการที่ 3-113 กับสมการที่ 3-116 จะได้

$$\sigma = \frac{2}{T} \times \frac{r^2 - 1}{1 + r^2 + 2r \cos wT} \quad (3-117)$$

$$\Omega = \frac{2}{T} \times \frac{2r \sin wT}{1 + r^2 + 2r \cos wT} \quad (3-118)$$

จากสมการที่ 3-117 และสมการที่ 3-118 จะพบว่าถ้า $r < 1, \sigma < 0$ และถ้า $r > 1, \sigma > 0$ นั่นก็หมายความว่าค่าที่อยู่ทางซ้ายของระนาบเชิงซ้อนจะไปอยู่ภายในวงกลมหนึ่งหน่วยในระนาบเชิง และค่าที่อยู่ทางขวาของระนาบเชิงซ้อนจะอยู่นอกวงกลมหนึ่งหน่วยในระนาบเชิง และถ้า $r = 1, \sigma = 0$ ค่าที่อยู่บนแกนจินตภาพบนระนาบเชิงซ้อนจะไปอยู่บนเส้นรอบวงของวงกลมรัศมีหนึ่งหน่วยบนระนาบเชิง และเมื่อ $r = 1$ สมการที่ (3-118) จะได้ Ω มีค่าดังสมการที่ 3-119 และ 3-120

$$\Omega = \frac{2}{T} \times \frac{\sin wT}{1 + \cos wT} \quad (3-119)$$

$$\Omega = \frac{2}{T} \tan \frac{wT}{2} \quad (3-120)$$

สรุปขั้นตอนการออกแบบตัวกรองคิจิตอลแบบไอ-ไออาร์ด้วยวิธีแปลงเชิงเส้นแบบคู่

1.ออกแบบตัวกรองความถี่แบบอนาลอกโดยการหาฟังก์ชันถ่ายโอน $H(s)$

2.หาความถี่คักท-ออกฟหรือความถี่ขอนแยกผ่านของตัวกรองความถี่แบบคิจิตอล

$$3.\text{หาค่า } \Omega = \frac{2}{T} \times \tan \frac{\omega T}{2}$$

$$4.\text{ทำสเกลความถี่ (Frequency Scaling) } H(s) \text{ โดยแทนค่า } S = \frac{S}{\Omega}$$

5.หาค่า $H(z)$ โดยแทนค่า S ตามสมการที่ 3-112

3.3.1.2 การกรองความถี่แบบ Butterworth

สมการของกรองความถี่ต่ำผ่าน มีรูปแบบของสมการดังนี้

$$|H(j\omega)|^2 = 1 + \left| \frac{N(j\omega)}{D(j\omega)} \right|^2 \quad (3-121)$$

โดย $H(s)$ คือ ค่า Fuction การสูญเสียที่ต้องการหา และ $K(s) = N(s) / D(s)$ คือ Rational Function ของ s โดยmen

ทั้งนี้ Fuction ของ $K(s)$ ต้องถูกเลือกให้มีขนาดเล็ก ๆ ในช่วงแอนด์ความถี่ที่ต้องการผ่าน เพื่อที่จะทำให้ขนาดของ $H(j\omega)$ มีค่าใกล้เคียง 1 ส่วนในช่วงความถี่ที่ไม่ต้องการขนาดของ $K(s)$ จะต้องมีค่ามาก ๆ เพื่อให้เกิดค่าการสูญเสียในช่วงความถี่ที่ไม่ต้องการ ในทางปฏิบัตินั้น $K(s)$ อาจหาได้ในรูปแบบของโพลิโนเมียล ดังนี้

$$K(s) = P_N(S) = a_0 + a_1 s + a_2 s^2 + \dots + a_n s^n \quad (3-122)$$

เมื่อสัมประสิทธิ์ของลำดับที่ n ของ $P_N(S)$ จะถูกเลือกให้สอดคล้องกับค่า function สูญเสีย $H(s)$ เพื่อให้ได้ความถี่ตามที่ต้องการ

ในการพิจารณากรองความถี่ต่ำแบบ Butterworth จะมีรูปแบบสมการดังนี้

$$K(s) = P_N(S) = \varepsilon \left(\frac{s}{\omega_p} \right)^n \quad (3-123)$$

โดยที่ ε เป็นค่าคงที่, n เป็นลำดับของโพลิโนเมียล และ ω_p คือขอบค่าความถี่ที่ต้องการให้ผ่าน โดยสอดคล้องกับ function การสูญเสียดังนี้

$$|H(j\omega)| = \left| \frac{V_{in}(j\omega)}{V_o(j\omega)} \right| = \sqrt{1 + \varepsilon^2 \left(\frac{\omega}{\omega_p} \right)^{2n}} \quad (3-124)$$

จากสมการเมื่อพิจารณาในช่วง DC ตามสมการที่ 3-124 แล้ว ค่าการสูญเสียจะใกล้เคียงกับ 1 โดยค่าความชันของ function ช่วง DC จะได้มาจากการขยายอนุกรมของโพลิโนมีขั้ลจาก สมการที่ 3-124 เมื่อให้ค่า ω มีค่าเข้าใกล้ศูนย์

$$\varepsilon^2 \left(\frac{\omega}{\omega_p} \right)^{2n} \ll 1$$

ดังนั้นจะได้

$$\left[1 + \varepsilon^2 \left(\frac{\omega}{\omega_p} \right)^{2n} \right]^{1/2} = 1 + \frac{1}{2} \omega^2 \left(\frac{\omega}{\omega_p} \right)^{2n} - \frac{1}{8} \varepsilon^4 \left(\frac{\omega}{\omega_p} \right)^{4n} + \frac{1}{16} \varepsilon^6 \left(\frac{\omega}{\omega_p} \right)^{6n} + \dots \quad (3-125)$$

ซึ่งจะแสดงให้เห็นว่าอนุพันธ์ลำดับแรกที่ $2n-1$ เป็นศูนย์ที่ $\omega = 0$, ดังนั้น $K(s)$ ถูกเลือกให้เป็นลำดับสุดท้ายที่ n ของโพลิโนมีขั้ล ซึ่งจะเป็นจำนวนสูงสุดของอนุพันธ์ที่จะสามารถทำให้เป็นศูนย์ได้ ดังนั้นจะได้ความชันที่มีลักษณะเรบเรียบใกล้เคียงกับระดับไฟ DC ผลที่ได้จึงทำให้การกรองความถี่แบบ Butterworth ได้รู้ว่าเป็นวงจรกรองความถี่เรียบที่สุด

จากสมการที่ 3-124 สามารถหาค่าการสูญเสียในหน่วยของ dB ได้ดังสมการดังนี้

$$A(\omega_p) = 10 \log_{10} \left[1 + \varepsilon^2 \left(\frac{\omega}{\omega_p} \right)^{2n} \right] dB \quad (3-126)$$

ในการปฏิบัติขอบช่วงความถี่ผ่าน กำหนดให้ค่า $\omega = \omega_p$ ซึ่งจะทำให้ได้ค่าการสูญเสียเป็น

$$A(\omega_p) = 10 \log_{10} (1 + \varepsilon^2) \quad (3-127)$$

ในการออกแบบวงจรกรองความถี่จะต้องทำให้ได้ค่าการสูญเสีย A_{max} ที่สูงสุด ดังนั้นค่า ε จะต้องมีความสัมพันธ์กับค่าของช่วงการสูญเสีย A_{max} ที่ต้องการ โดยจะได้ค่า

$$\varepsilon = \sqrt{10^{0.1 A_{max}} - 1} \quad (3-128)$$

ในช่วงความถี่สูง ๆ ที่ $\omega \gg \omega_p$ ค่าการสูญเสียจะมีค่าเข้าใกล้ตามสมการ

$$20 \log_{10} \varepsilon \left(\frac{\omega}{\omega_p} \right)^n \quad (3-129)$$

โดยค่าการสูญเสียจะมีค่าเพิ่มขึ้นตามลำดับค่าของ n ตามสมการที่ 3-128 เป็นผลให้ค่าการสูญเสียในช่วงแต่ละความถี่ที่ไม่ต้องกันเพิ่มขึ้นชั้นกัน

ตัวอย่าง การคำนวณของวงจรกรองความถี่ต่ำค่า แบบ Butterworth ซึ่งมีลักษณะดังนี้

$$A_{\max} = 0.5 \text{ dB} , A_{\min} = 12 , \Omega_p = 100 , \Omega_s = 400$$

จากสมการที่ 3.124 $\varepsilon = \sqrt{10^{0.1A_{\max}} - 1}$ แทนค่า A_{\max} ลงในสมการจะได้

$$\varepsilon = \sqrt{(10)^{(0.1)(0.5)} - 1} = 0.35$$

ค่าของ n หาได้จากการสูญเสียที่ ω_s

$$A_{\min} = 10 \log_{10} \left[1 + \varepsilon^2 \left(\frac{\omega_s}{\omega_p} \right)^{2n} \right] \quad (3-130)$$

$$\text{จาก } 10^{0.1A_{\min}} = 1 + \varepsilon^2 \left(\frac{\omega_s}{\omega_p} \right)^{2n}$$

จะได้

$$n = \frac{\log_{10} \left(\frac{10^{0.1A_{\min}} - 1}{\varepsilon^2} \right)}{\log_{10} \left(\frac{\omega_s}{\omega_p} \right)^2} \quad (3-131)$$

จะได้ค่า $n = 1.73$ และการกรองความถี่ลำดับที่ 2 ซึ่งมีค่า Normalized Function เท่ากับ

$$s^2 + 1.414s + 1 \quad \text{จากนั้นแทนค่า } n \text{ และ } \omega_p \text{ ลงในสมการ } s\left(\frac{\varepsilon^{1/n}}{\omega p}\right)$$

จะได้ค่า $= .0059s$ และได้ค่า Function Denormalized ของวงจรกรองความถี่ต่อไปนี้เท่ากับ

$$H(s) = \frac{s^2 + 239.6s + 28727.4}{28727.4} \quad (3-132)$$

3.3.1.3 การกรองความถี่แบบ Elliptic

การกรองความถี่แบบ Elliptic เป็นวิธีกรองความถี่ที่ใช้กันมากในการออกแบบวงจรกรองความถี่ การกรองความถี่แบบ Elliptic จะมีลักษณะของ Pole การลดตอนในช่วงเด่นความถี่ Stop Band ดังนั้นวิธีการกรองความถี่แบบนี้จึงมีข้อจำกัดของ Pole และ Zero ในทางปฏิบัติการกรองความถี่แบบ Elliptic ตำแหน่งของ Pole ต้องถูกเลือกให้มีข้อกำหนดของการเกิด Ripple ในช่วง Stop Band (ω_p) ตำแหน่งของ Pole ที่ใกล้กันขอบความถี่ช่วง Stop Band มากที่สุด จะมีความซับของกราฟเพิ่มมากขึ้น ในช่วงที่ย่านความถี่ผ่าน ส่วนตำแหน่งของ Pole ในช่วงอื่น ๆ จะต้องรักษาระดับการลดตอนของช่วง Stop Band ในระดับที่ต้องการ หากการที่ การกรองความถี่แบบ Elliptic มี Pole จำกัด จึงทำให้สามารถมีระดับความเรียบของเส้นกราฟได้มากกว่าการกรองความถี่แบบ Butterworth ดังนั้นลำดับของวงจรกรองแบบ Elliptic จึงมีลำดับของการกรองน้อยกว่าแบบ Butterworth อีกด้วย

ตัวอย่างการคำนวณ Function ของวงจรกรองความถี่ต่อไปนี้แบบ Elliptic จากค่าที่ได้กำหนดมาให้ดังนี้

$$A_{\max} = 0.5 \text{ dB}, A_{\min} = 20 \text{ dB}, \omega_p = 200, \omega_s = 600$$

หาอัตราส่วนของความถี่ในช่วง Stop band กับ Pass Band ตามสมการที่ 3-133

$$\Omega_s = \frac{\omega_s}{\omega_p} \quad (3-133)$$

ซึ่ง ω_s คือ ความถี่ของของย่าน Stop Band

ω_p คือ ความถี่ของของย่าน Pass Band

$$\text{แทนค่าลงในสมการ} \quad \Omega_s = \frac{600}{200} = 3$$

จากตาราง การกรองความถี่แบบ Elliptic ลำดับที่ 2 มีการลดตอนสัญญาณขนาด 21.5 dB ที่ $\Omega_s = 3$

ดังนั้นจะได้ค่า Function การสูญเสียในสภาวะปกติดังนี้

$$H_N(s) = \frac{s^2 + 1.35715s + 155532}{0.083974(s^2 + 17.48528)} \quad (3-134)$$

เมื่อแทนค่า s ด้วย $\frac{s}{200}$ จะได้ Function ของวงจรกรองความถี่แบบ Elliptic ดังนี้

$$H(s) = \frac{s^2 + 271.4s + 62212.8}{0.083974(s^2 + 699411)} \quad (3-135)$$

3.3.1.4 การกรองความถี่แบบ Band Pass Filter

การกรองความถี่แบบ Band Pass Filter เป็นการจัดย่านความถี่ที่ไม่ต้องการ ออกจากสัญญาณที่กำลังตรวจวัด โดยมีคุณลักษณะของ Function อันดับ 2 ของการกรองแบบความถี่

$$\frac{V_O}{V_{IN}} = \frac{s^2 + d}{s^2 + as + d} = \frac{s^2 + \omega_z^2}{s^2 + \frac{\omega_p}{Q_p} + \omega_p^2} \quad (3-136)$$

เมื่อ $\omega_z = \omega_p$ แล้ว Function นี้จะเกิด Complex Pole บนซิกร์ชัยของระบบและเกิด Complex Zero บนแกนจินตภาพ ($j\omega$) และ Pole ของความถี่จะเท่ากับ Zero ของความถี่ด้วย การสูญเสียบริเวณแอนด์ความถี่ต่ำและสูงกว่าเบนความถี่ที่ออกแบบ จะมีค่าใกล้เคียง 1 ในขณะที่การสูญเสียในแอนด์ความถี่ Zero ที่ $s = j\omega$, จะมีค่าเป็นอนันต์

บทที่ 4

ขั้นตอนดำเนินการ

เนื่องจากการคลื่นสัญญาณไฟฟ้าหัวใจของร่างกายมีขนาดเล็กประมาณ 0.5 ถึง 1 mV ซึ่งเป็นสัญญาณที่มีขนาดเล็กมาก ใน การตรวจวัดสัญญาณที่มีขนาดเล็กจำเป็นจะต้องใช้วงจรขยายสัญญาณที่มีอัตราการขยายสูง ๆ โดยจะต้องไม่ทำให้เกิดความผิดเพี้ยนของสัญญาณ และเนื่องจากการตรวจวัดคลื่นสัญญาณไฟฟ้าหัวใจ ที่เป็นสัญญาณขนาดเล็กจะเกิดการรบกวนจากสนามไฟฟ้า, สนามแม่เหล็ก และจากสนามแม่เหล็กไฟฟ้าต่าง ๆ รอบ ๆ ตัวเรา ซึ่งจะเป็นอุปสรรคต่อการตรวจวัดสัญญาณ ทั้งยังอาจเกิดสัญญาณรบกวนจากอุปกรณ์ของเครื่องวัดเอง เช่น สัญญาณรบกวนจากอิเลคโทรด, จากสาย Lead หรือแม้แต่เกิดจากตัวผู้รับการตรวจวัดเอง เช่น สัญญาณรบกวนจากกล้ามเนื้อ ซึ่งจะเป็นสาเหตุทำให้การวิเคราะห์สัญญาณเกิดความผิดพลาดได้ ดังนั้นหลังจากได้รวมปัญหาและอุปสรรคของการตรวจวัดคลื่นสัญญาณไฟฟ้าหัวใจแล้ว จึงได้ดำเนินการในขั้นตอนต่อไปดังนี้

4.1 ขั้นตอนการออกแบบวงจรขยายสัญญาณ

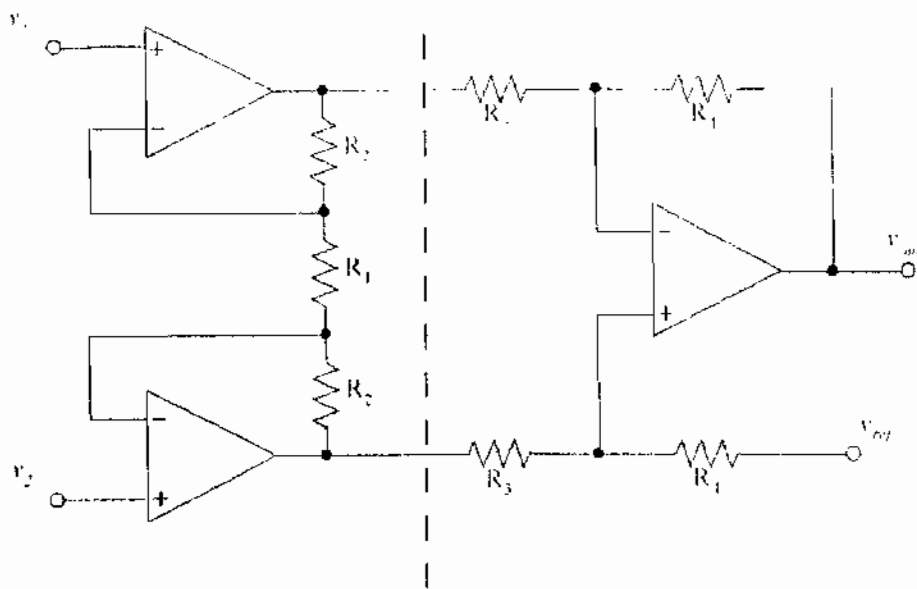
4.1.1 คุณลักษณะทั่วไปในการออกแบบวงจรขยายสัญญาณ

วงจรขยายคลื่นสัญญาณไฟฟ้าหัวใจจะต้องพิจารณาถึงคุณสมบัติของวงจรขยายสัญญาณขนาดเล็ก ที่มีอัตราการขยายสัญญาณสูง ๆ และจะต้องสามารถป้องกันสัญญาณรบกวนต่าง ๆ ได้เป็นอย่างดี ทั้งนี้ผู้วิจัยได้เลือกวงจรขยายสัญญาณแบบ Instrumentation Amplifier เนื่องจากตรวจวัดคลื่นสัญญาณไฟฟ้าหัวใจจากร่างกาย โดยวงจรขยายสัญญาณแบบ Instrumentation Amplifier จะมีคุณลักษณะเฉพาะของวงจรดังนี้

4.1.1.1 ความต้านทานของ Input มีค่าสูงมาก และจะไม่เปลี่ยนแปลงไปตามอัตราขยายของวงจร

4.1.1.2 แรงดัน V_o ทางด้าน Output จะไม่ขึ้นกับแรงดันที่เข้า Input แต่จะเป็นผลที่ขึ้นกับค่าแรงดันที่แตกต่างกันของเข้า Input

4.1.2 ลักษณะทั่วไปของวงจร Instrumentation Amplifier



ภาพ 4-1 แสดงลักษณะของวงจร Instrumentation Amplifier

พิจารณาลักษณะทั่วไปของวงจร Instrumentation Amplifier จะประกอบด้วยวงจรภายใน 2 ส่วน ส่วนที่ 1 ทางด้าน input ของวงจรคือวงจร Differential Amplifier โดยแรงดันดูกดีอนมาซึ่งขั้ว Input ทั้ง 2 ข้าง V_1 และ V_2 ซึ่งวงจร Differential Amplifier จะทำหน้าที่ขยายสัญญาณที่มีความแตกต่างกันระหว่างขั้ว Input ทั้ง 2 ข้าง เท่านั้น และส่วนที่ 2 ด้าน Output คือ วงจรขยายแรงดันแบบกลับขั้ว ซึ่งจะมีอัตราขยายขึ้นกับค่าความต้านทานของ R_3 และ R_4 ในวงจร

4.1.3 คุณลักษณะและความสำคัญของ CMRR

คุณลักษณะของ CMRR (Common - Mode Rejection Ratio) คือคุณสมบัติของ Op-Amp ที่มาจากการ Input ที่เป็นแบบ Differential Amplifier โดยหากสัญญาณที่เข้ามาที่ขั้ว Input ทั้ง 2 มีเฟสที่ตรงกันแล้ว และมีขนาดเท่ากันแล้ว สัญญาณนี้จะถูกหักทิ้งไป เนื่องจากภาค Input ที่เป็นแบบ Differential Amplifier จะขยายเฉพาะสัญญาณที่ขั้ว Input ทั้ง 2 มีความแตกต่างกันเท่านั้น โดย $CMRR = A_D / A_{CM}$

$$A_D = \text{อัตราขยายสัญญาณแบบ Differential}$$

$$A_{CM} = \text{อัตราขยายสัญญาณแบบ Common- Mode}$$

ซึ่งค่า CMRR สูงๆ จะช่วยลดสัญญาณรบกวนค่อนข้างมาก ได้ดีกว่าค่า CMRR ต่ำๆ

4.1.4 การพิจารณาเลือก IC Instrumentation Amplifier

ในการพิจารณาเลือก IC ชนิด Instrumentation Amplifier เพื่อทำหน้าที่ขยายสัญญาณคลื่นสัญญาณไฟฟ้าหัวใจนั้น ผู้วิจัยได้พิจารณาเลือก IC Instrumentation Amplifier ยี่ห้อ Analog Device เบอร์ AD 620 ซึ่งเป็น IC ขนาด 8 ขา ทั้งนี้โดยพิจารณาจากคุณสมบัติที่สำคัญดังนี้คือ

4.1.4.1 CMRR มากกว่า 100 dB

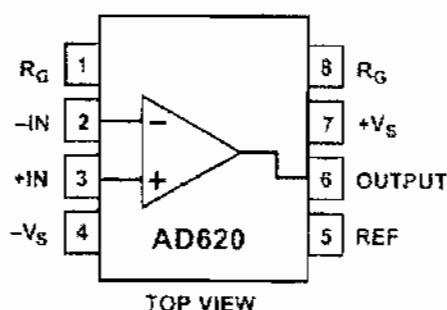
4.1.4.2 Input Current bias สูงสุด 1 nA

4.1.4.3 Input Offset Voltage สูงสุด 0.6 uV/C

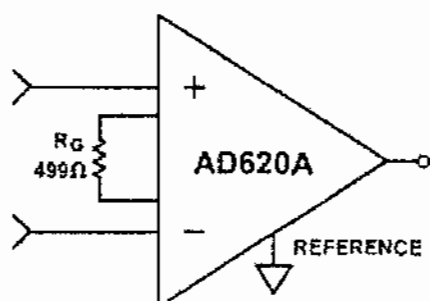
4.1.4.4 Noise 0.28 uV_{p-p} (0.1 Hz ถึง 10 Hz)

4.1.4.5 Supply Current สูงสุด 1.3 mA

4.1.4.6 Power Supply ใช้ได้ตั้งแต่ +/- 2.3 v ถึง +/- 18 v



ภาพที่ 4-2 แสดงการจัดวงจรตามที่แน่นใจต่าง ๆ ของ IC เบอร์ AD 620



AD620A MONOLITHIC
INSTRUMENTATION
AMPLIFIER, G = 100

ภาพที่ 4-3 แสดงการต่อใช้งาน ของ IC เบอร์ AD 620

4.1.5 การพิจารณาเลือก IC ขยายสัญญาณ

ในการพิจารณาเลือก IC สำหรับขยายสัญญาณที่ต่อมากองจร ณstrumentation Amplifier นั้น ผู้วิจัยเลือกใช้ IC เบอร์ op-07 ซึ่งเป็น IC Op-Amp แบบ Ultra Low Offset Voltage ทั้งนี้โดยพิจารณาคุณสมบัติที่สำคัญดังนี้คือ

4.1.5.1 CMRR 123 dB

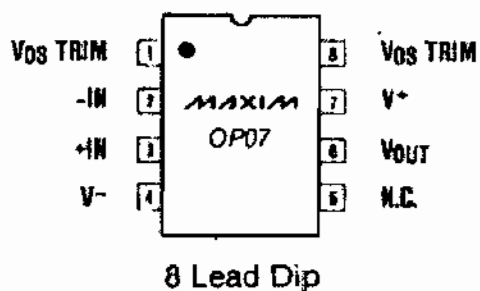
4.1.5.2 Input Bias Current 1 nA

4.1.5.4 Input Offset Voltage 30 μ V

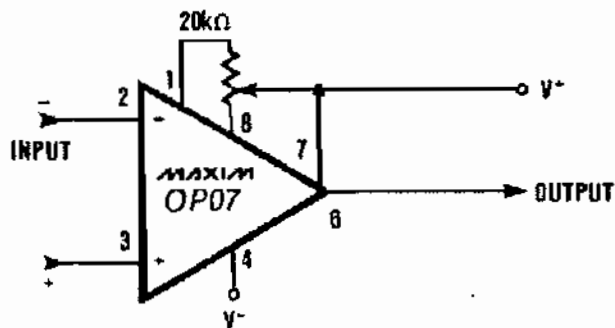
4.1.5.5 Input Offset Current 0.4 nA

4.1.5.6 Power Consumption 75 mW

4.1.4.7 Power Supply ใช้ได้ตั้งแต่ +/- 3 v ถึง +/- 18 v



ภาพที่ 4-4 แสดงลักษณะการขัดขา IC เบอร์ OP-07



ภาพที่ 4-5 แสดงผังการต่อใช้งาน IC เมอร์ OP-07

4.2 วงจรขยายสัญญาณคลื่นไฟฟ้าหัวใจ

4.2.1 การคำนวณอัตราการขยายของ Instrumentation Amplifier

การขยายสัญญาณคลื่นไฟฟ้าหัวใจในภาคแรก โดยการใช้ IC Monolithic Instrumentation Amplifier ชิ้นห้อ Analog Device เมอร์ AD 620 ซึ่งเป็น Op – Amp แบบ Chip เดี่ยว และมีคุณสมบัติพื้นฐานแบบ Instrumentation Amplifier ที่ใช้ Op – Amp จำนวน 3 ตัวประกอบกัน ในการกำหนดอัตราการขยายของรสมารคคำนวนได้จากความต้านทานเพียงตัวเดียว ที่ต่อระหว่างขา 1 และขา 8 ของ IC โดยสามารถคำนวณอัตราการขยายของ IC ได้จากสูตร $G = (49.9 K / R_G) + 1$

คลื่นสัญญาณไฟฟ้าหัวใจจากร่างกาย จะถูกตรวจสอบโดยผ่านทางแผ่นอีเลคโทรดมาขยายสัญญาณในวงจรขยาย ซึ่งในออกแบบวงจรทางผู้วิจัยได้ของ ออกแบบให้มีอัตราการขยายประมาณ 200 เท่า และสามารถคำนวณหาค่าความต้านทาน R_G ที่จะต่อเข้ากับขา 1 และขา 8 ของ IC ได้ดังนี้

$$\begin{aligned} R_G &= 49.9 K / (G-1) \\ &= 49.9 K / (200-1) \\ &= 250.75 \Omega \end{aligned}$$

เนื่องจากความต้านทานขนาด 250.75Ω ไม่มีจังหวะความต้านทานขนาด 250Ω แทน

4.2.2 การคำนวณอัตราขยายของวงจร Differential Amplifier

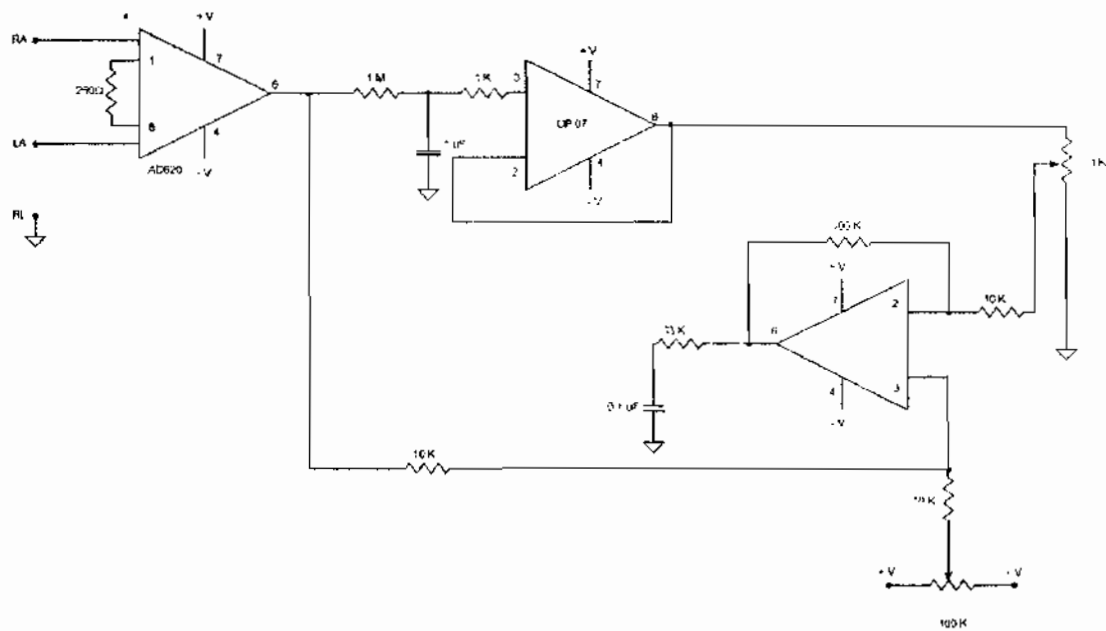
หลังจากที่ IC Instrumentation Amplifier ได้ตรวจรับและขยายคลื่นสัญญาณไฟฟ้าหัวใจในขั้นต้นแล้ว จะต้องนำสัญญาณนี้มาขยายเพิ่มเติม เนื่องจากสัญญาณไฟฟ้าหัวใจที่ออกจาก Instrumentation Amplifier ยังมีขนาดเล็ก และยังไม่สามารถนำสัญญาณนี้ไปทำการประมวลผลได้ จึงต้องนำสัญญาณนี้มาขยายเพิ่ม ในวงจรขยายแรงดันแบบกลับขั้วโดยใช้ Op-Amp ชนิด

Ultra low Offset Voltage เมอร์ OP-07 การออกแบบวงจรขยายสัญญาณโดยใช้ Op-Amp เมอร์ OP-07 ชุดที่ 1 ต่อเป็นวงจร Voltage Follower ที่มีอัตราขยายแรงดันเท่ากับ 1

การออกแบบวงจรขยายแย้ง Differential โดยใช้ Op-Amp เมอร์ OP-07 ชุดที่ 2 กำหนดให้อัตราการขยายปัจมณ 10 เท่า โดยกำหนดให้ $R_{in} = 10 \text{ K}\Omega$ ดังนั้นจึงคำนวณหาค่า R_f จะได้

$$R_f = (10) * 10 \text{ K}\Omega$$

$$= 100 \text{ K}\Omega$$



ภาพที่ 4-6 แสดงส่วนประกอบของจรรยาจวัดคุณลักษณะไฟฟ้าหัวใจ

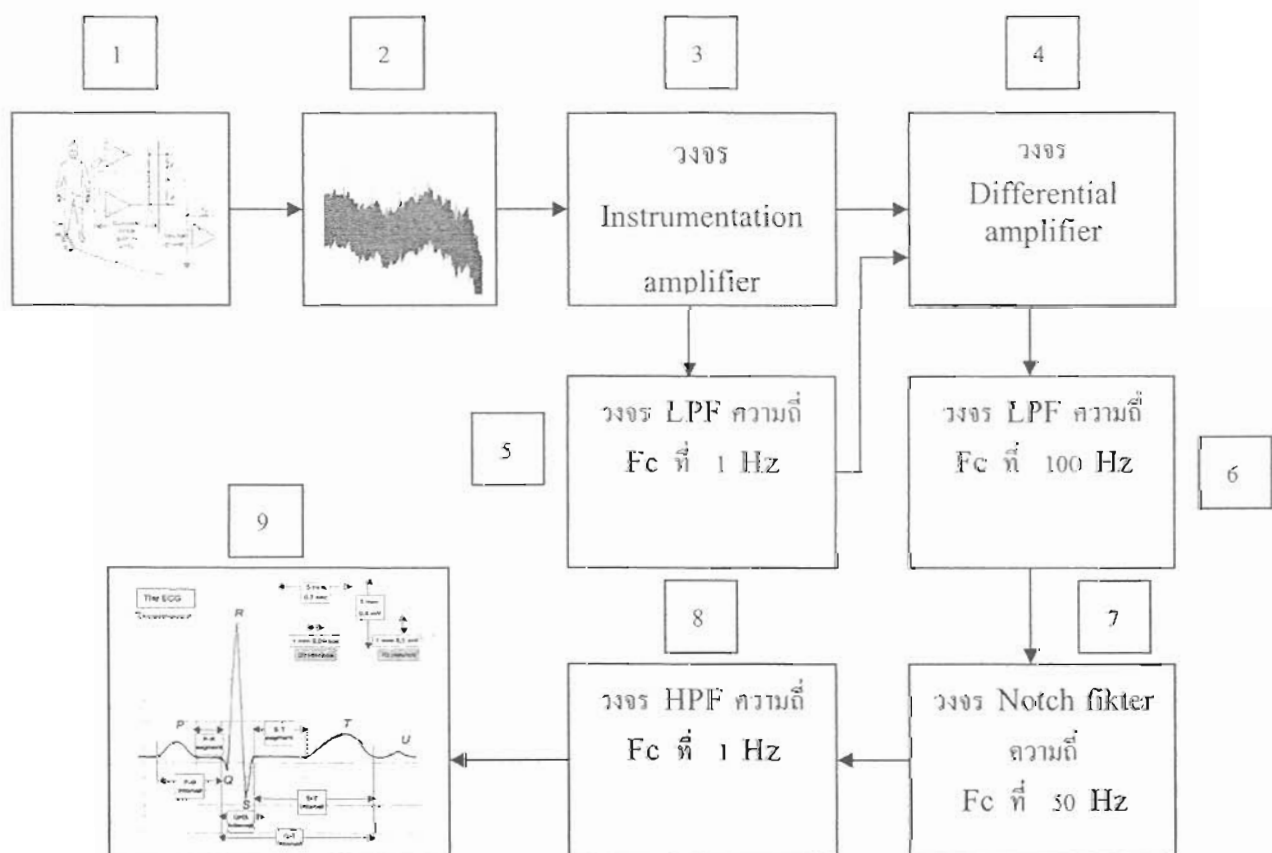
4.2.3 การทำงานของภาคตรวจคัดลิ่นสัญญาณไฟฟ้าหัวใจ

การทำงานของวงจร โดย IC Instrumentation Amplifier เมอร์ AD 620 ทำหน้าที่ตรวจจับคลื่นสัญญาณไฟฟ้าหัวใจ จาก Bipolar Lead เข้ามาทางขา 2 และขา 3 ของ IC โดยความต้านทานขนาด 250Ω เป็นตัวกำหนดค่าต่อการขยายสัญญาณของ IC ซึ่งในวงจรกำหนดให้ IC Instrumentation Amplifier มีอัตราการขยายสัญญาณที่ 200 เท่า จากนั้นสัญญาณที่ออกจาก Instrumentation Amplifier จะถูกส่งเข้าไปในวงจรตามแรงดัน จาก IC Op- Amp เมอร์ OP-07 ซึ่งจะขยายสัญญาณกลับไฟฟ้าหัวใจที่ผ่านการกรองความถี่ต่ำผ่าน ที่มีจุด Cut Off ที่ความถี่ 1 Hz จากนั้นสัญญาณ Output จาก Op- Amp ตัวที่ 1 จะป้อนเข้ากับขา Inverting ของ Op- Amp ตัวที่ 2 โดยมี VR ขนาด $1 K\Omega$ เป็นตัวปรับแรงดันก่อนจะป้อนเข้าขา

Inverting ของ Op- Amp ส่วนสัญญาณคลื่นไฟฟ้าหัวใจที่ป้อนเข้า Noninverting ของ Op- Amp จาก Out Put ของ IC จะถูกปรับให้อยู่บนระดับไฟ DC ที่หมายรวมจาก VR ขนาด $100 \text{ k}\Omega$ จากนั้น Op- Amp ตัวที่ 2 จะขยายสัญญาณที่เกิดจากการแตกต่างของหัว Inverting และหัว Noninverting โดยมีอัตราการขยายประมาณ 11 เท่า หลังจากนั้นจะผ่านวงจรกรองความถี่สูง ซึ่งจะมีจุด cut-off ความถี่ที่ 106.5 Hz ต่อผ่านไปยัง คัวกรองความถี่เชิงเลขต่อไป

4.3 ผังวงจรการวัดและลด photon สัญญาณรบกวนในคลื่นสัญญาณไฟฟ้าหัวใจ

การเตรียมงานเพื่อให้ในการวัดและลด photon สัญญาณรบกวนในคลื่นสัญญาณไฟฟ้าหัวใจนี้ ผู้วิจัยได้เลือกทดสอบการทำงานของวงจรโดยใช้ ECG Simulator ยี่ห้อ DALE TECHNOLOGY รุ่น EHS 12 ผลิตโดย FLUKE BIOMEDICAL ทำการทดสอบโดยป้อนสัญญาณ ECG ใน Lead 1, 2 และ Lead 3 เพื่อทดสอบรูปทรงและความพื้นของสัญญาณ และใช้ต่อวัดสัญญาณคลื่นสัญญาณไฟฟ้าหัวใจจากอาสาสมัคร โดยมีผังการทำงานของวงจรตรวจวัดคลื่นสัญญาณไฟฟ้าหัวใจและวงจรกรองความถี่ที่เกิดจากการคลื่นไฟฟ้าร่างกาย ตาม Block Diagram ดังต่อไปนี้



ภาพที่ 4-7 แสดง Block Diagram ของวงจรตรวจวัดสัญญาณคลื่นไฟฟ้าหัวใจ

Block ที่ 1 คือการติดสาย Electrode แบบสัญญาณและสาย Lead บนร่างกายของอาสาสมัคร

Block ที่ 2 คือ คลื่นสัญญาณไฟฟ้าหัวใจจากร่างกายที่วัดจาก Electrode แปบปีนมากับสัญญาณรบกวนในรูปแบบค้างๆ

Block ที่ 3 คือวงจร Instrumentation Amplifier ซึ่งทำหน้าที่ขยายสัญญาณคลื่นไฟฟ้าหัวใจที่วัดได้ จากสาย Electrode ซึ่งวงจรในส่วนนี้จะขยายเพิ่มสัญญาณคลื่นไฟฟ้าหัวใจและสัญญาณรบกวนที่แปบปีนเข้ามา

Block ที่ 4 คือวงจรขยายสัญญาณแบบ Differential ซึ่งจะขยายสัญญาณความแตกต่างของคลื่น สัญญาณไฟฟ้าที่มาจากการ Instrumentation Amplifier กับ วงจร Low Pass Filter ที่ยอมให้ความถี่ที่น้อยกว่า 1 Hz ผ่านได้

Block ที่ 5 คือ วงจร Low Pass Filter ที่ยอมให้ความถี่ที่น้อยกว่า 1 Hz ผ่านได้

Block ที่ 6 คือ วงจร Low Pass Filter ที่ยอมให้ความถี่ที่น้อยกว่า 100 Hz ผ่านได้

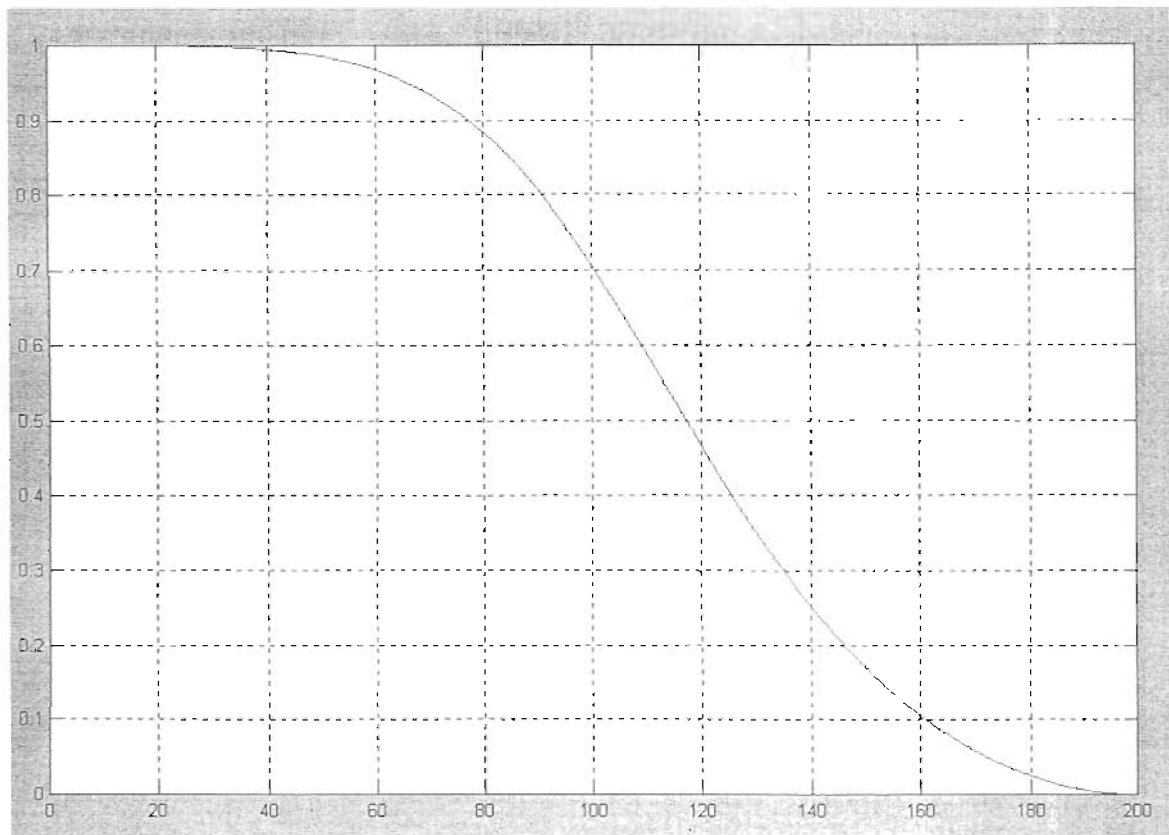
Block ที่ 7 คือ วงจร Notch Filter ที่ตัดความถี่ขนาด 50 Hz

Block ที่ 8 คือ วงจร High Pass Filter ที่ยอมให้ความถี่ที่สูงกว่า 1 Hz ผ่านได้

4.4 การออกแบบวงจรกรองความถี่ด้วยโปรแกรม MATLAB

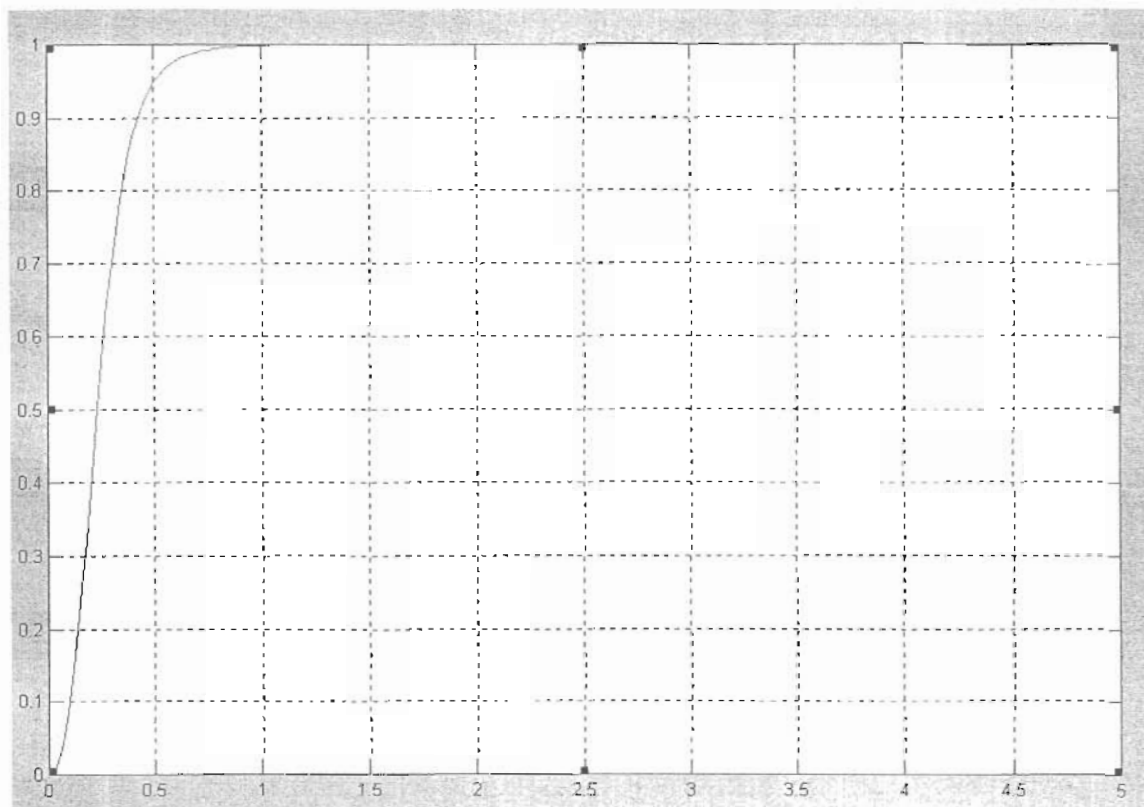
การออกแบบวงจรกรองความถี่ชนิดต่างๆ ซึ่งใช้ในการกรองและลดตอนสัญญาณรบกวนค้างๆ ที่แปบปีนมากับสัญญาณคลื่นไฟฟ้าหัวใจ ด้วยโปรแกรม MATLAB ประกอบด้วยการวิธีกรองความถี่แบบค้างๆ ดังต่อไปนี้

4.4.1 การกรองความถี่แบบ Butterworth ลำดับที่ 2 , fc ที่ 100 Hz มีผลการทดสอบของโปรแกรมตามรูปที่ 4-8



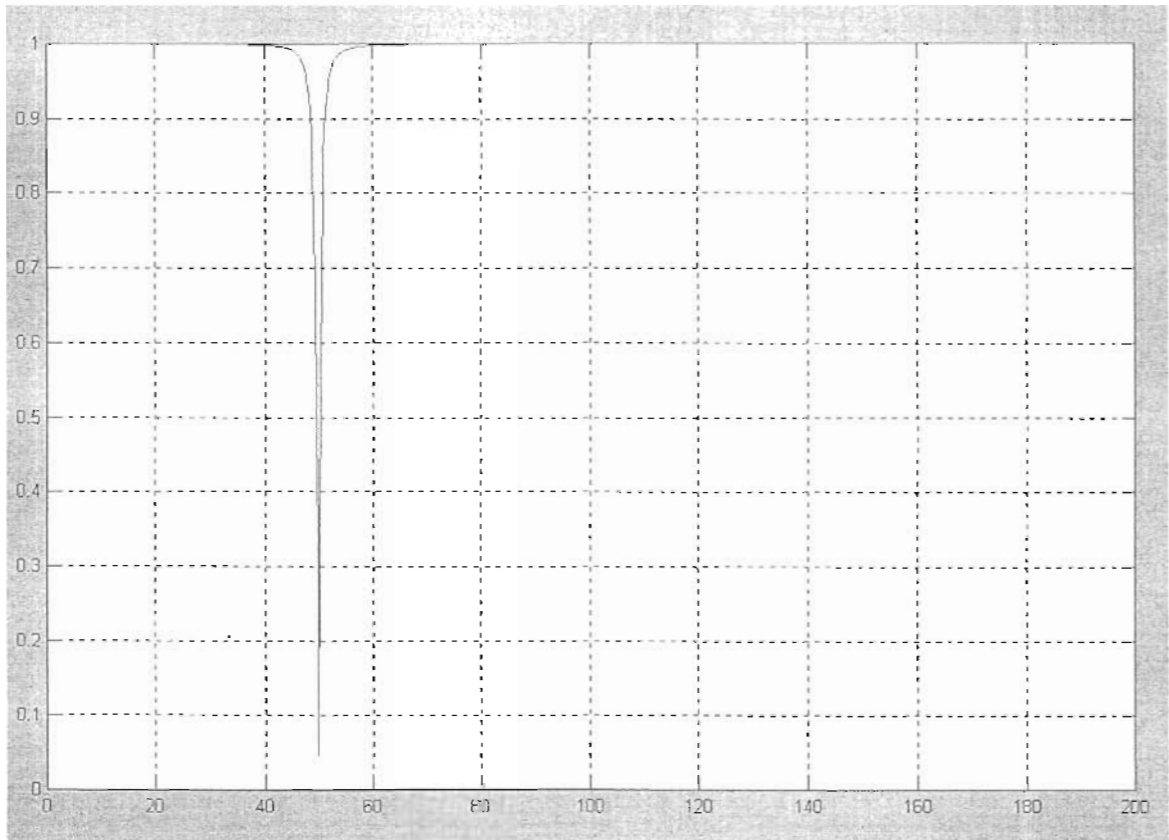
รูปที่ 4-8 แสดงผลการทดสอบการกรองความถี่ค่าผ่านจากโปรแกรม MATLAB

4.4.2 การกรองความถี่สูงผ่านแบบ elliptic ลำดับที่ 2 , fc ที่ 1 Hz มีผลการทดสอบของโปรแกรมตามรูปที่ 4-9



รูปที่ 4-9 แสดงผลการทดสอบการกรองความถี่สูงผ่านจากโปรแกรม MATLAB

4.4.3 การกรองความถี่แบบ Notch , $f_c = 50 \text{ Hz}$ มีผลการทดสอบของโปรแกรมตามรูปที่ 4-10



รูปที่ 4-10 แสดงผลการทดสอบการกรองความถี่แบบ Notch จากโปรแกรม MATLAB

บทที่ 5

การทดลองและผลการทดสอบ

ในการทดลองตรวจวัดสัญญาณคลื่นไฟฟ้าหัวใจ ซึ่งทางผู้วิจัยได้ทำการทดสอบการทำงานของวงจรโดยใช้เครื่องเลือบแบบสัญญาณคลื่นไฟฟ้าหัวใจ ยี่ห้อ DALE TECHNOLOGY รุ่น EHS 12 เพื่อเปรียบเทียบรูปคลื่นมาตรฐานใน Lead ที่ I, II และ III ซึ่งผลการทดลองรูปสัญญาณคลื่นไฟฟ้าหัวใจที่ตรวจวัดได้ จากระดับที่สร้างขึ้นมา มีรูปคลื่นตรงตามมาตรฐาน ตามรูปที่ 5-1 และหลังจากนั้นเป็นการทดสอบการวัดสัญญาณคลื่นไฟฟ้าหัวใจในสภาวะที่เกิดสัญญาณรบกวนและเปรียบเทียบ ผลการลดทอนของสัญญาณรบกวนจากการกรองความถี่แบบต่าง ๆ

5.1 การกรองสัญญาณรบกวนในสัญญาณคลื่นไฟฟ้าหัวใจ

5.1.1 การกรองความถี่แบบต่ำผ่านแบบ Butterworth ลำดับที่ 2 โดยมีความถี่ cut off ในช่วง ต่ำ ๆ คือ

5.1.1.1 ความถี่ Cut Off ที่ 0.35 Hz

5.1.1.2 ความถี่ Cut Off ที่ 0.40 Hz

5.1.2 การกรองความถี่สูงผ่านแบบ Elliptic ลำดับที่ 2 โดยมีความถี่ Cut Off ในช่วง ต่ำ ๆ คือ

5.1.2.1 ความถี่ Cut Off ที่ 0.4 Hz

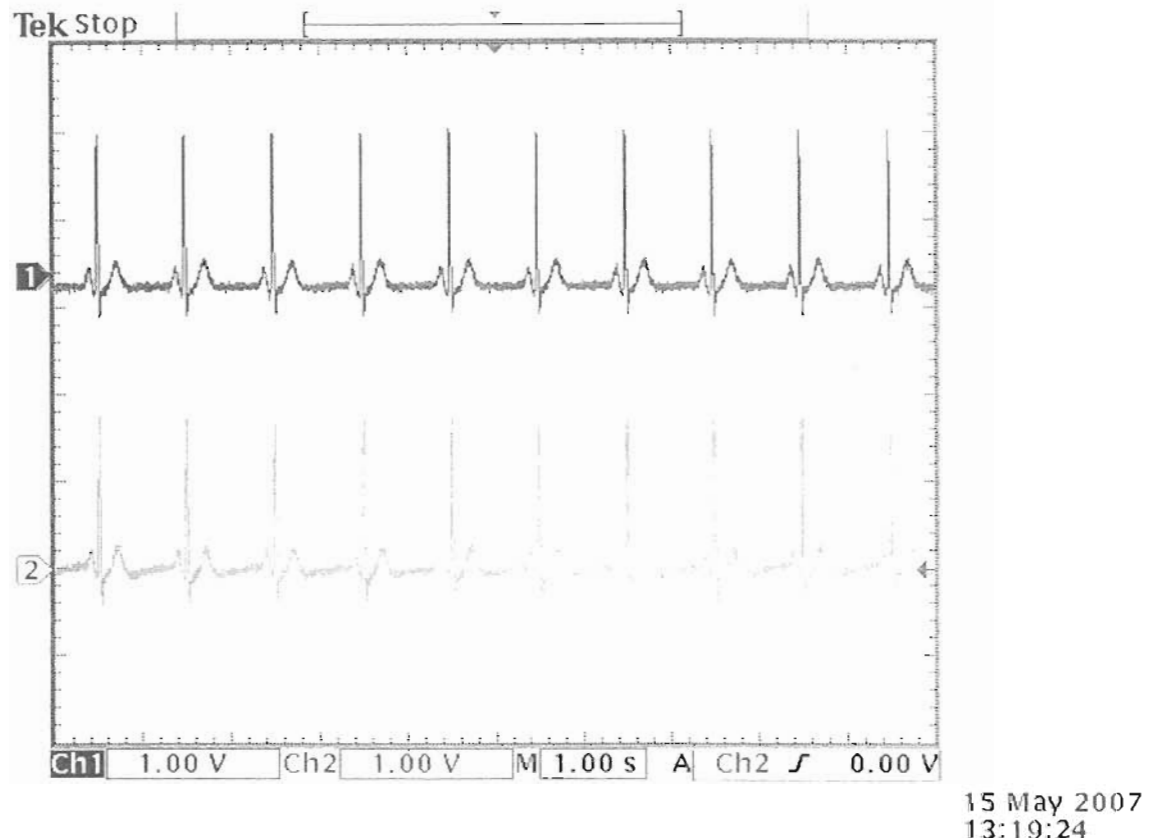
5.1.2.2 ความถี่ Cut Off ที่ 0.6 Hz

5.1.2.3 ความถี่ Cut Off ที่ 0.8 Hz

5.1.2.4 ความถี่ Cut Off ที่ 1 Hz

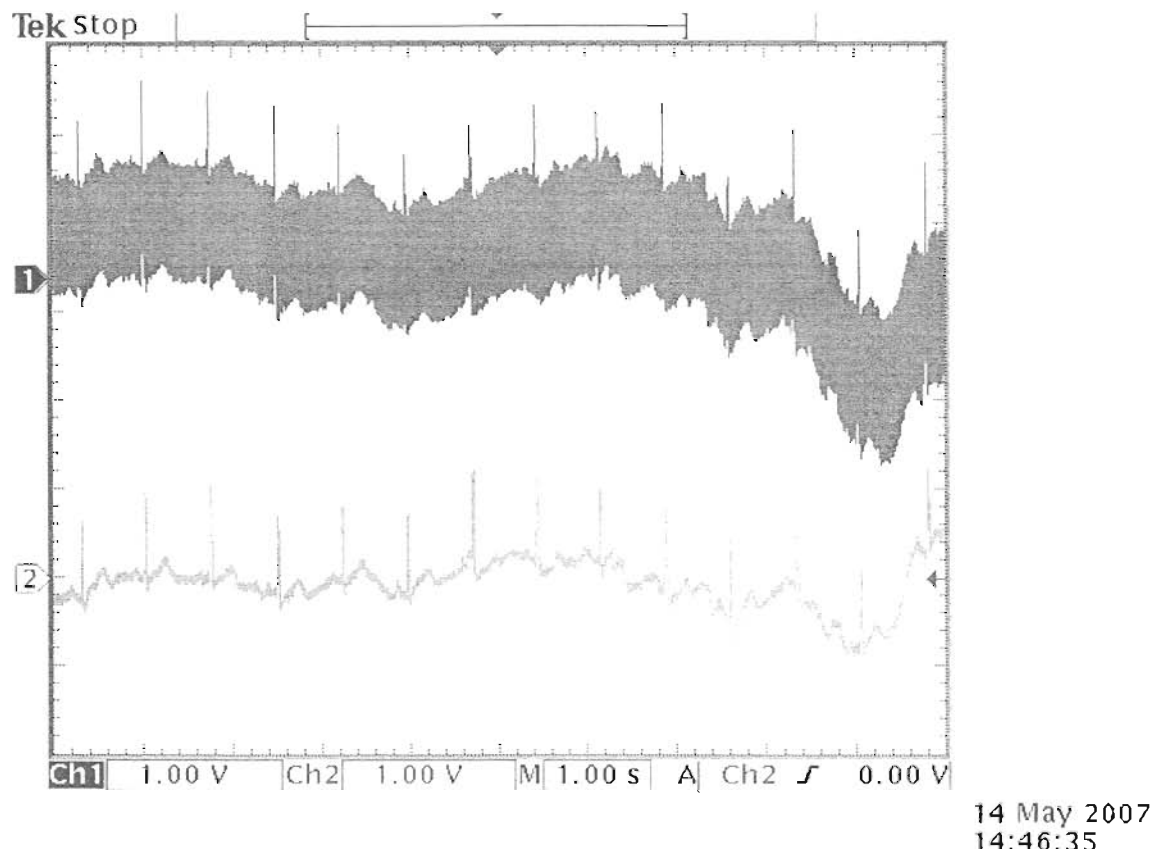
5.2 ผลการทดสอบการลดทอนสัญญาณรบกวนในสัญญาณคลื่นไฟฟ้าหัวใจ

5.2.1 การทดสอบสัญญาณมาตรฐานจากเครื่องเลียนแบบสัญญาณคลื่นไฟฟ้าหัวใจ



ภาพที่ 5-1 แสดงถึงขณะคลื่นสัญญาณไฟฟ้าหัวใจที่วัดจาก E.C.G Simulator

5.2.2 การทดสอบลักษณะการเกิดสัญญาณรบกวนในสัญญาณคลื่นไฟฟ้าหัวใจ



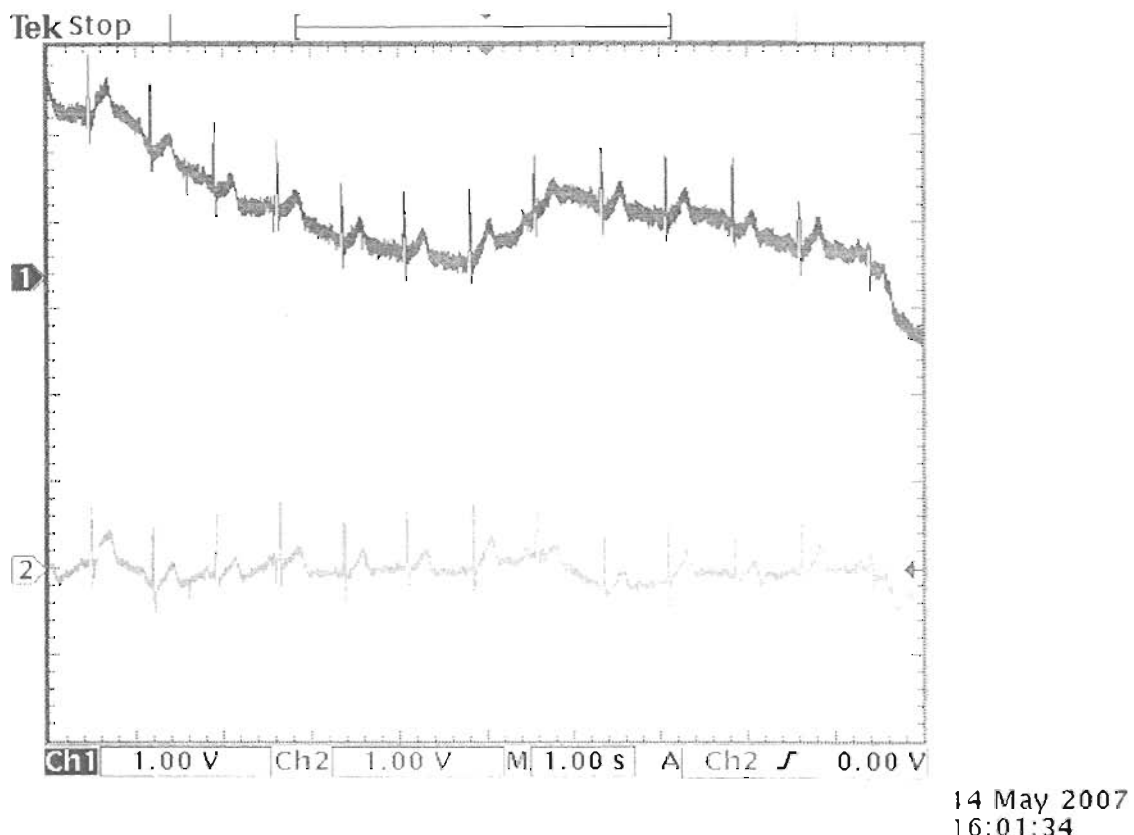
รูปที่ 5-2 แสดงลักษณะสัญญาณรบกวนในขณะตรวจวัดคลื่นสัญญาณไฟฟ้าหัวใจ

Channel 1 เป็นสัญญาณคลื่นไฟฟ้าหัวใจของอาสาสมัครที่มีสัญญาณรบกวนปะปันมากว่าที่วัดจากตัวอาสาสมัคร

Channel 2 เป็นสัญญาณคลื่นไฟฟ้าหัวใจที่ผ่านวงจร LPF ความถี่ 100 Hz และ 1 Hz

5.2.3 ผลการทดสอบการลดทอนสัญญาณรบกวนด้วยกรองความถี่แบบ Butterworth

, $f_c = 0.35 \text{ Hz}$

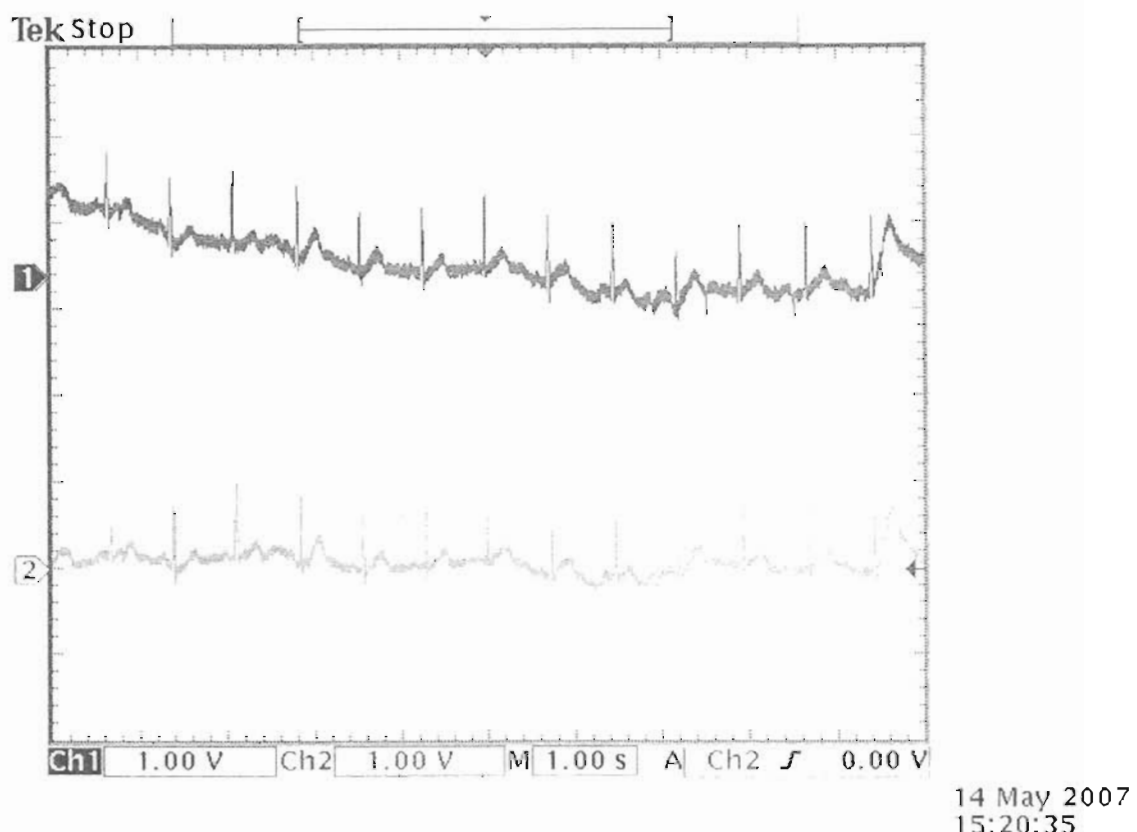


รูปที่ 5-3 แสดงลักษณะการใช้งานกรองความถี่แบบ Butterworth , $f_c = 0.35 \text{ Hz}$

Channel 1 เป็นสัญญาณคลื่นไฟฟ้าหัวใจของอาสาสมัครที่มีสัญญาณรบกวนที่เกิดจากการเคลื่อนไหวร่างกายประจำมาด้วยที่วัดจากตัวอาสาสมัคร

Channel 2 เป็นสัญญาณคลื่นไฟฟ้าหัวใจที่ผ่านวงจร HPF แบบ Butterworth ลำดับ 2 ความถี่ f_c ที่ 0.35 Hz , กรองความถี่แบบ North ที่ความถี่ 50 Hz และกรองความถี่ต่ำผ่านแบบ Butterworth ลำดับที่ 2 , f_c ที่ 100 Hz

5.2.4 ผลการทดสอบการลดทอนสัญญาณรบกวนด้วยกรองความถี่แบบ Butterworth , $f_c = 0.4 \text{ Hz}$



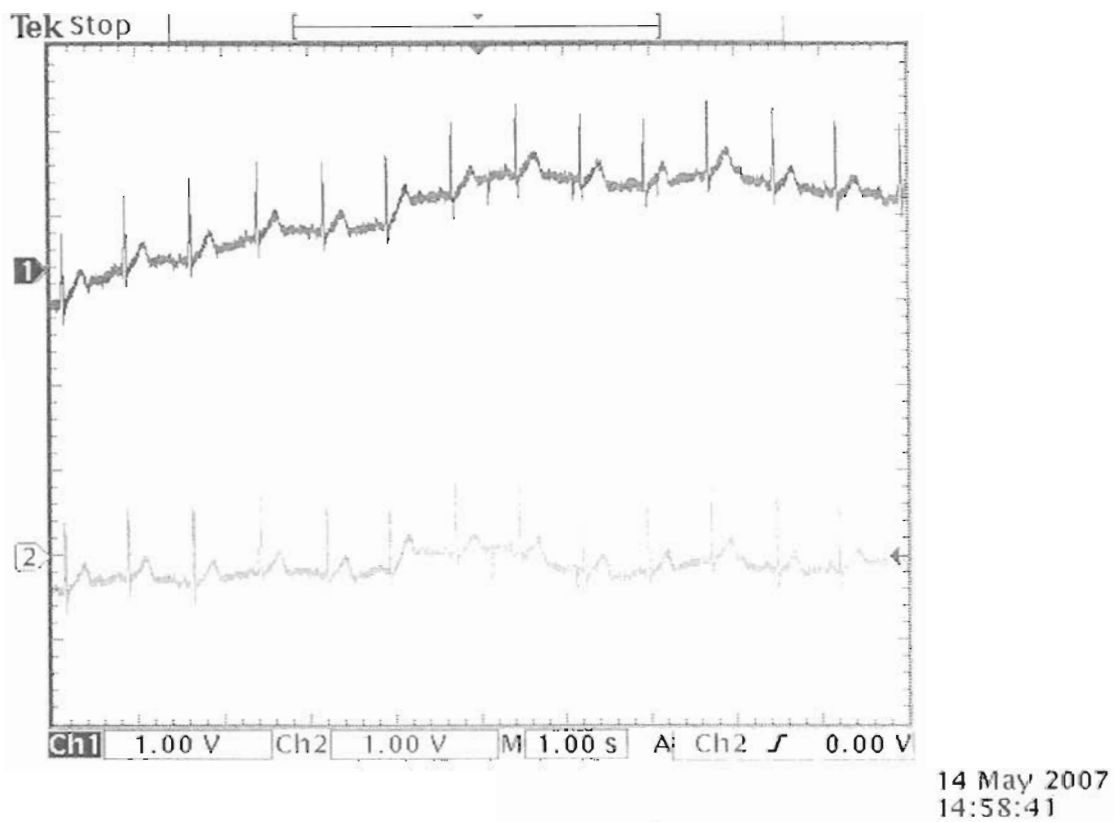
รูปที่ 5-4 แสดงลักษณะการใช้งานกรองความถี่แบบ Butterworth , $f_c = 0.40 \text{ Hz}$

Channel 1 เป็นสัญญาณคลื่นไฟฟ้าหัวใจของอาสาสมัครที่มีสัญญาณรบกวนที่เกิดจาก การเคลื่อนไหวร่างกายประจำนาค้างที่วัดจากตัวอาสาสมัคร

Channel 2 เป็นสัญญาณคลื่นไฟฟ้าหัวใจที่ผ่านวงจร HPF แบบ Butterworth ลำดับ 2 ความถี่ f_c ที่ 0.4 Hz , กรองความถี่แบบ North ที่ความถี่ 50 Hz และกรองความถี่ผ่านแบบ Butterworth ลำดับที่ 2 , f_c ที่ 100 Hz

5.2.5 ผลการทดสอบการลดทอนสัญญาณรบกวนด้วยกรองความถี่แบบ Elliptic

$f_c = 0.4 \text{ Hz}$

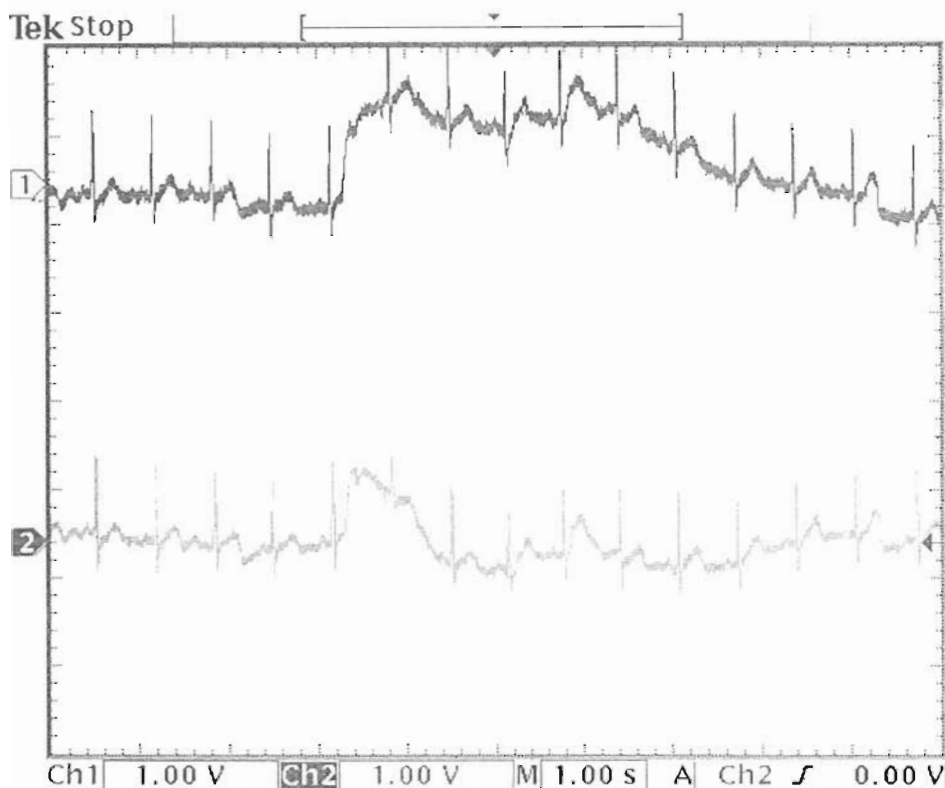


รูปที่ 5-5 แสดงลักษณะการใช้วงจรกรองความถี่แบบ Elliptic , $f_c = 0.40 \text{ Hz}$

Channel 1 เป็นสัญญาณคลื่นไฟฟ้าหัวใจของอาสาสมัครที่มีสัญญาณรบกวนที่เกิดจากการเคลื่อนไหวร่างกายประจำนาคีวที่วัดจากตัวอาสาสมัคร

Channel 2 เป็นสัญญาณคลื่นไฟฟ้าหัวใจที่ผ่านวงจร Filter แบบ Elliptic ลำดับ 2 ความถี่ f_c ที่ 0.4 Hz , กรองความถี่แบบ North ที่ความถี่ 50 Hz และ กรองความถี่ค่าผ่านแบบ Butterworth ลำดับที่ 2 , f_c ที่ 100 Hz

5.2.6 ผลการทดสอบการลดทอนสัญญาณรบกวนด้วยกรองความถี่แบบ Elliptic
 $f_c = 0.6 \text{ Hz}$



14 May 2007
14:36:38

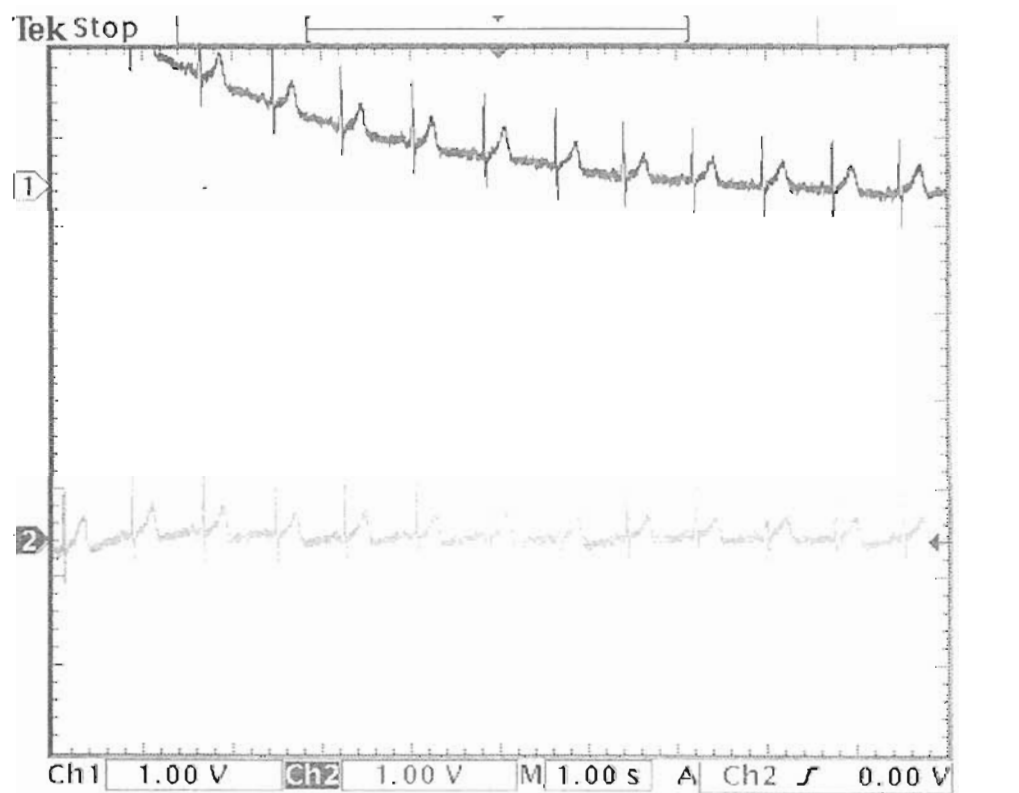
รูปที่ 5-6 แสดงลักษณะการใช้งานกรองความถี่แบบ Elliptic , $f_c = 0.60 \text{ Hz}$

Channel 1 เป็นสัญญาณคลื่นไฟฟ้าหัวใจของอาสาสมัครที่มีสัญญาณรบกวนที่เกิดจากการเคลื่อนไหวร่างกายประจำนาค้างที่วัดจากตัวอาสาสมัคร

Channel 2 เป็นสัญญาณคลื่นไฟฟ้าหัวใจที่ผ่านวงจร Filter แบบ Elliptic ลำดับ 2 ความถี่ f_c ที่ 0.6 Hz , กรองความถี่แบบ North ที่ความถี่ 50 Hz และกรองความถี่ต่ำผ่านแบบ Butterworth ลำดับที่ 2, f_c ที่ 100 Hz

5.2.7 ผลการทดสอบการลดทอนสัญญาณรบกวนด้วยการกรองความถี่แบบ Elliptic $f_c = 0.8$

Hz



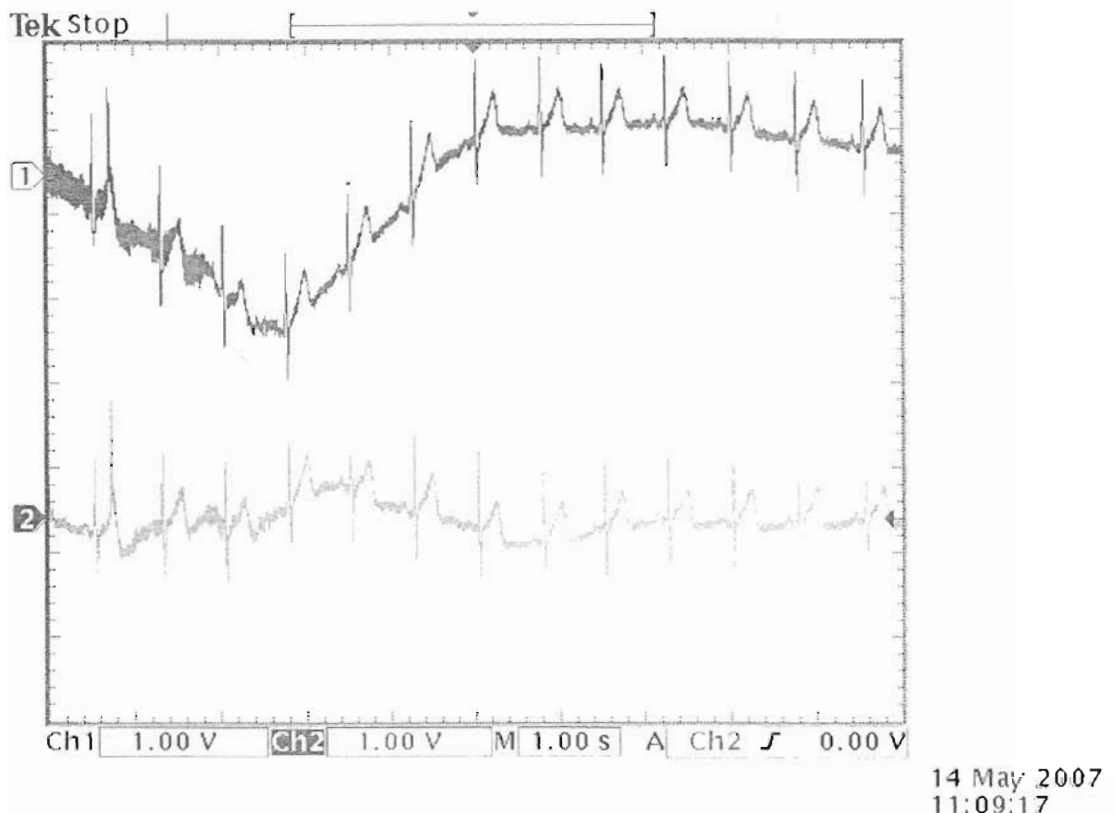
14 May 2007
13:58:12

รูปที่ 5-7 แสดงลักษณะการใช้วงจรกรองความถี่แบบ Elliptic , $f_c = 0.80$ Hz

Channel 1 เป็นสัญญาณคลื่นไฟฟ้าหัวใจของอาสาสมัครที่มีสัญญาณรบกวนที่เกิดจากการเคลื่อนไหวร่างกายประจำวันมาด้วยที่วัดจากตัวอาสาสมัคร

Channel 2 เป็นสัญญาณคลื่นไฟฟ้าหัวใจที่ผ่านวงจร filter แบบ Elliptic ลำดับ 2 ความถี่ f_c ที่ 0.8 Hz ,กรองความถี่แบบ North ที่ความถี่ 50 Hz และกรองความถี่ต่ำผ่านแบบ Butterworth ลำดับที่ 2 , f_c ที่ 100 Hz

5.2.8 ผลการทดสอบการลดทอนสัญญาณรบกวนด้วยการกรองความถี่แบบ Elliptic
 $f_c = 0.8 \text{ Hz}$



รูปที่ 5-8 แสดงลักษณะการใช้วงจรกรองความถี่แบบ Elliptic , $f_c = 1.0 \text{ Hz}$

Channel 1 เป็นสัญญาณคลื่นไฟฟ้าหัวใจของอาสาสมัครที่มีสัญญาณรบกวนที่เกิดจากการเคลื่อนไหวร่างกายประจำนาเดียวที่วัดจากตัวอาสาสมัคร

Channel 2 เป็นสัญญาณคลื่นไฟฟ้าหัวใจที่ผ่านวงจร Filter แบบ Elliptic ลำดับ 2 ความถี่ f ที่ 1.0 Hz ,กรองความถี่แบบ North ที่ความถี่ 50 Hz และกรองความถี่ต่ำผ่านแบบ Butterworth ลำดับที่ 2 , f_c ที่ 100 Hz

บทที่ 6

บทสรุปและข้อเสนอแนะ

6.1 บทสรุป

การลดตอนสัญญาณรบกวนที่เกิดจากการเคลื่อนไหว ในขณะตรวจวัดสัญญาณคลื่นไฟฟ้าหัวใจนั้น จากการทดลองของผู้วิจัยได้พบว่า สัญญาณรบกวนที่เกิดขึ้นไม่ได้มีขนาดและความถี่ที่แน่นอน ซึ่งบางครั้งก็จะมีความถี่ที่เกิดจากไฟฟ้ากระแสสลับ 50 Hz ปะปนมาด้วย ซึ่งจากการออกแบบและสร้างวงจรตรวจวัดคลื่นสัญญาณไฟฟ้าหัวใจ ซึ่งผู้วิจัยได้ออกแบบให้มีความถี่ Cut-Off ที่ 106.5 Hz เมื่อยังไม่ได้ผ่านวงจรกรองความถี่เชิงเลข แล้ว ก็จะทำให้ปรากฏสัญญาณรบกวนที่ความถี่ต่าง ๆ ทั้งมาจากสัญญาณที่เกิดจากการเคลื่อนไหว และสัญญาณรบกวนจากแหล่งอื่น ปะปนมาบ้าง เนื่องมาจากการกรองความถี่ประเภทอุปกรณ์ Passive ไม่สามารถกรองสัญญาณรบกวนที่ความถี่ต่าง ๆ ได้ทั้งหมด

สัญญาณที่ได้จากการตรวจวัดคลื่นสัญญาณไฟฟ้าหัวใจ จะต้องผ่านวงจรกรองความถี่เชิงเลขเพื่อกรองสัญญาณรบกวนที่เกิดจากการเคลื่อนไหว ที่ได้ออกแบบการกรองความถี่ไว้ที่ 1 Hz 50 Hz และ 100 Hz ซึ่งสามารถกรองสัญญาณรบกวนที่เกิดจากการเคลื่อนไหว ได้ผลเป็นที่น่าพอใจ

6.2 ข้อเสนอแนะ

6.2.1 ในส่วนของการออกแบบและสร้าง วงจรตรวจวัดคลื่นสัญญาณไฟฟ้าหัวใจ ซึ่งจะต้องออกแบบให้สัญญาณรบกวนต่าง ๆ หันที่มานาฬานไฟฟ้า, นาฬามแม่เหล็ก และจากนาฬามแม่เหล็กไฟฟ้า หรือสัญญาณจากการเคลื่อนไหวที่เกิดจากผู้รับการตรวจวัดให้น้อยที่สุด ซึ่งจะรที่ทางผู้วิจัยได้ออกแบบและสร้างมาเนี้ ได้ออกแบบโดยใช้อุปกรณ์ IC Instrumentation Amplifier ที่มีคุณลักษณะเฉพาะในการป้องกันสัญญาณรบกวนต่าง ๆ ให้น้อยที่สุด และใช้อุปกรณ์ประเภท Passive ที่มีค่าเบอร์เซนต์คิดพลาคน้อย ๆ และไม่ไวกับการเปลี่ยนแปลงของอุณหภูมิ ทั้งยังต้องพิจารณาเรื่องการ ชีลด์ สาย Lead และสายไฟต่าง ๆ ในวงจรด้วย ซึ่งทำให้สามารถวัดคลื่นสัญญาณไฟฟ้าหัวใจได้เป็นผลที่น่าพอใจ

6.2.2 ในการออกแบบบรรจุภัณฑ์ในกล่องสัญญาณไฟฟ้าหัวใจ ควรจะต้องคำนึงถึงลักษณะความผิดปกติของหัวใจบางประเภทด้วย เมื่อongจากวงจรกรองความถี่ อาจกรองความถี่ของกล่องไฟฟ้าหัวใจที่ผิดปกตินั้นออกไป ทำให้การวิเคราะห์สภาพและการทำงานของหัวใจผิดพลาดไป

เอกสารอ้างอิง

1. คณาจารย์ ภาควิชาสรีรวิทยา. สุรีวิทยา. คณะวิทยาศาสตร์ มหาวิทยาลัยมหิดล , 2542 .
2. ชุมพูนุช อ่องจริต. คลื่นไฟฟ้าหัวใจทางคลินิก. พิมพ์ครั้งที่ 6. กรุงเทพมหานคร : สำนักพิมพ์ ชุมพลกรรณ์มหาวิทยาลัย , 2543 .
3. ผ่องศรี วิริยะนันทศักดิ์. การวิเคราะห์คุณลักษณะของสัญญาณไฟฟ้าหัวใจโดยใช้แปลงเวลาฟลีต และโครงข่ายประสาทเทียม. วิทยานิพนธ์วิศวกรรมศาสตรมหาบัณฑิต บัณฑิตวิทยาลัย มหาวิทยาลัยขอนแก่น , 2545 .
4. วิศรุต พลสิทธิ์ . การวิเคราะห์คลื่นไฟฟ้าหัวใจแบบเวลาจริงโดยการแปลงเวลาฟลีตแพ็กเก็ต. วิทยานิพนธ์วิทยาศาสตรมหาบัณฑิต สาขาอุปกรณ์การแพทย์ ภาควิชาฟิสิกส์ อุตสาหกรรมและอุปกรณ์การแพทย์ บัณฑิตวิทยาลัย สถาบันเทคโนโลยีพระจอมเกล้า พระนครเหนือ , 2547 .
5. วิโรจน์ อัศวรังษี , ชัชวาล เต็มฤทธิวงศ์ และ กรชุด ใช้สกิด. การใช้อุปกรณ์และอินเนอร์ ไอซ์. กรุงเทพฯ : บริษัท ชีเอ็ดยูคัชั่น จำกัด (มหาชน) , 2536 .
6. ยงยุทธ สถาสกุล . ECG ทางคลินิก . โครงการค่ารา-คิริราช คณะแพทยศาสตร์ศิริราช พยาบาล มหาวิทยาลัยมหิดล , 2536 .
7. Afonso V.X. Tompkins W.J., Nguyen T.Q., and Luo S. “ ECG beat detection using filter banks, ” IEEE Trans. Biomed. Eng. Vol 46 1999 : pp.192-202 .
8. Barry N. Feinberg . APPLIED CLINICAL ENGINEERING . Englewood Cliffs New Jersey , 1986 .
9. Bishop C.M and Hilton G . “Neural Network for Pattern Recognition.” New York : Clarendon Press , 1995 .
10. Gobind Daryanani . PRINCIPLES OF ACTIVE NETWORK SYNTHESIS AND DESIGN . John Wiley & Son INC , 1976 .
11. John G Webster. MEDICAL INSTRUMENTATION Application and Design THIRD EDITION . John Wiley & Son INC , 1998 .
12. Li C, Zheng C, and Tai C. “ Detection of ECG Characteristic Points Using Wavelet Transform” . IEEE Biomed. Eng .(1995) : 42, 21-8 .

13. Mallat S. "Zero- crossing of a Wavelet Transform" . IEEE Trans. Infurm.Theory . (1991): 1019- 33 .
14. Mallat S. and Hwang W.L . Singularity. " Detection and Processing with Wavelets" . IEEE Trans. Vol 37 (1992) :617-643 .

ประวัติผู้วิจัย

ชื่อ : นายไพบูลย์ ล้อยิราภุก
 ชื่อวิทยานิพนธ์ : การลดทอนสัญญาณรบกวนในคลื่นสัญญาณไฟฟ้าห้าใจที่เกิดจากการเคลื่อนไหวของร่างกาย
 สาขาวิชา : อุปกรณ์การแพทย์

ประวัติ

ประวัติส่วนตัว เกิดเมื่อวันที่ 22 พฤษภาคม 2512 ที่จังหวัดนราธิวาส
 ประวัติการศึกษา จบการศึกษาปริญญาตรี สาขาเทคโนโลยีไฟฟ้าอุตสาหกรรม
 คณะวิศวกรรมศาสตร์ สถาบันเทคโนโลยีพระจอมเกล้าพระนครเหนือ ปี 2541 และได้ศึกษาต่อที่สาขานักศึกษาอุปกรณ์การแพทย์ คณะวิทยาศาสตร์ประยุกต์ สถาบันเทคโนโลยีพระจอมเกล้าพระนครเหนือ เมื่อ พ.ศ 2545
 สถานที่ติดต่อ 24/118 ถนนเพชรบุรี บังกะปี กรุงเทพ 10240